

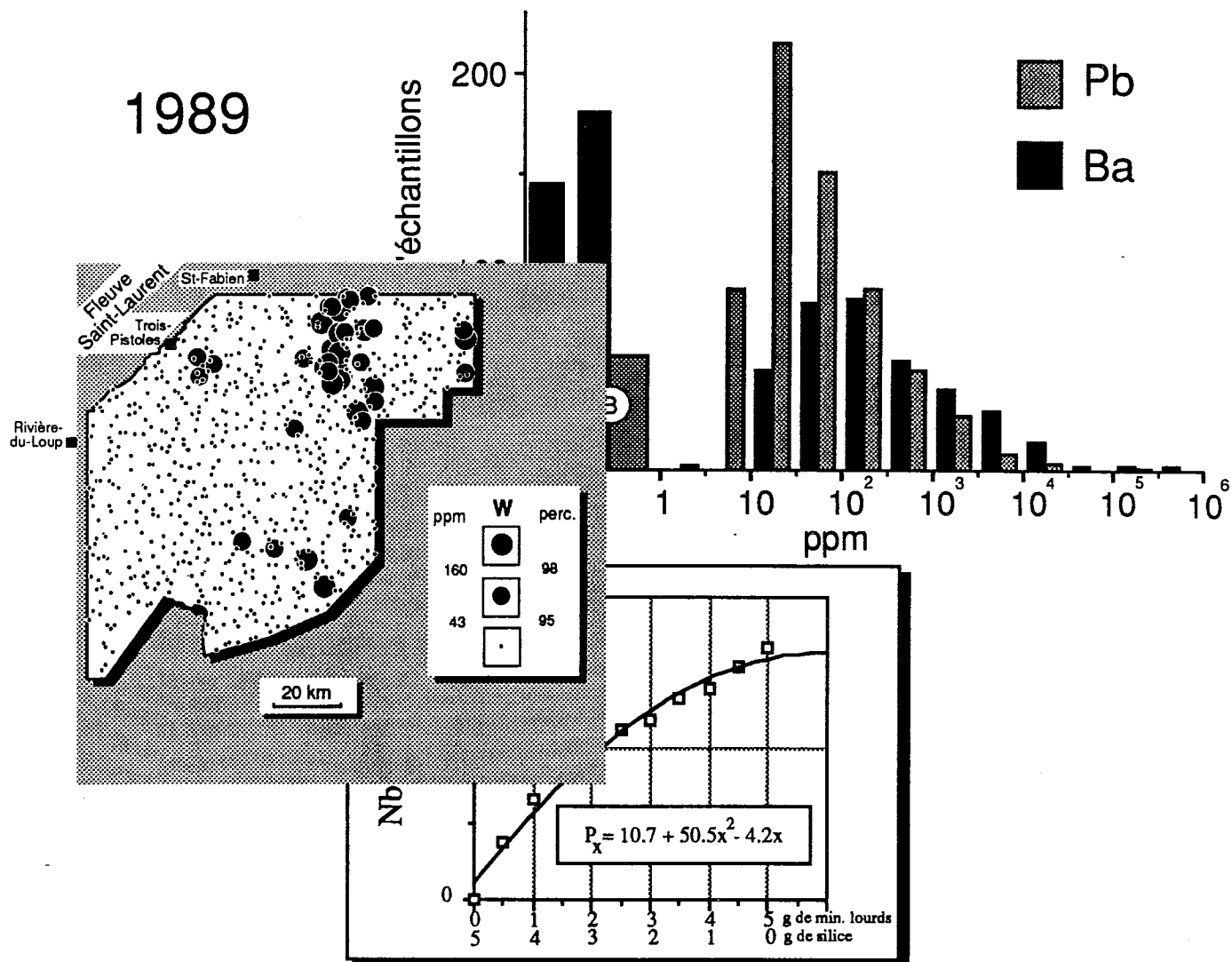
# Commission géologique du Canada



## Dossier Public 2036

Résultats et interprétation d'un levé géochimique des minéraux lourds, région du Bas Saint-Laurent, Québec

(SNRC 21N/6, 7, 9, 10, 11, 14, 15, 16; 22C/1, 2, 3)



Yvon T. Maurice

## SOMMAIRE

Ce dossier public contient l'ensemble des résultats et une interprétation d'un levé géochimique des minéraux lourds effectué en 1987 par la Commission géologique du Canada dans la région du Bas Saint-Laurent. Le territoire échantillonné est d'environ 8400 km<sup>2</sup> et couvre en partie les comtés de Kamouraska, Témiscouata, Rivière-du-Loup et Rimouski. Une version préliminaire de ce rapport, contenant les résultats les plus intéressants pour l'exploration minière, a déjà été mise en circulation en mai 1989, afin de permettre aux sociétés minières et aux prospecteurs de profiter pleinement de la saison estivale pour procéder à l'exploration tactique des anomalies.

Parmi les anomalies que nous considérons particulièrement intéressantes comme cibles d'exploration, on remarque plusieurs concentrations élevées de baryum, plomb, zinc et cuivre dans la partie nord du territoire échantillonné, non loin de Saint-Fabien, où il existe des gisements sub-économiques de ces métaux. Près des villages de l'Esprit-Saint et de La Trinité-des-Monts, les résultats analytiques montrent la présence d'une zone fortement anomale en plomb, en antimoine et en tungstène (avec un peu d'argent, d'étain, de cuivre et de mercure), longue de 20 à 30 km et orientée NE-SO, parallèlement à la structure géologique régionale. Il se pourrait fort bien que ces anomalies reflètent des minéralisations inconnues de type épithermal.

Quelques anomalies d'or sont signalées dont une, localisée au sud-est du Lac Témiscouata, semble être assez intéressante. Elle est située en aval glaciaire d'un indice d'or connu et non loin d'une anomalie polymétallique intense. Cependant, la région du Bas Saint-Laurent est beaucoup moins aurifère que l'Estrie-Beauce où plusieurs levés semblables à celui-ci ont été effectués depuis 1984.

La répartition de plusieurs éléments, tels le titane, le chrome et les terres rares, à l'échelle régionale, fournit des renseignements sur les écoulements glaciaires du Pléistocène et sur l'effet qu'ils ont eu sur la répartition des minéraux sur le territoire échantillonné. Ces données indiquent entre autre, que la moitié sud de la région a été parcourue en direction sud-est par un glacier en provenance des Laurentides, qui a provoqué l'érosion et le déplacement des minéraux lourds locaux, et la mise en place d'un till contenant une proportion élevée de matériaux originaires du Grenville. La moitié nord, de son côté, est caractérisée par une pénurie de dépôts glaciaires et les minéraux lourds locaux semblent avoir subi beaucoup moins de transport glaciaire et de dilution qu'au sud.

Ce projet a été mis en œuvre dans le cadre du Plan de développement de l'est du Québec(1983-1989).

## SUMMARY

*This Open File contains all the results as well as an interpretation of a heavy mineral geochemical survey, conducted in 1987 by the Geological Survey of Canada in the Lower St. Lawrence region of Quebec. The area sampled is approximately 8400 km<sup>2</sup> and covers parts of Kamouraska, Témiscouata, Rivière-du-Loup and Rimouski counties. A preliminary version of this report, which contained the most interesting results from a mineral exploration standpoint, was released in May 1989 to allow exploration companies and prospectors to take full advantage of the field season to follow-up the anomalies.*

*Among the anomalies that we consider to be especially interesting from an exploration point of view, the most notable are a series of samples with high concentrations of barium, lead, zinc and copper in the northern part of the survey area, near Saint-Fabien, where sub-economic deposits of these metals are known to occur. Near the villages of L'Esprit-Saint and La Trinité-des-Monts, the analytical results define a strongly anomalous zone containing lead, antimony and tungsten (with lesser silver, copper, tin and mercury). This zone is 20 to 30 km long and has a northeast-southwest orientation, parallel to the regional geological structure. It is quite possible that these anomalies reflect undiscovered epithermal mineralization.*

*A few gold anomalies were outlined, one of which, located southeast of Lake Témiscouata, seems quite interesting. It is located down-ice from a known gold showing and not far from a strong polymetallic anomaly. However, the Lower St. Lawrence region is considerably less auriferous than Quebec's Eastern Townships where several surveys similar to the present one have been conducted since 1984.*

*The regional distribution of several elements, including titanium, chromium and the rare-earths, provides information on the Pleistocene glaciations and their effects on mineral dispersal in the survey area. These data show that the southern half of the region was overridden by southeastward flowing laurentide ice, which caused extensive erosion and displacement of local heavy minerals, and deposited a till sheet composed of a significant proportion of Grenville-derived debris. The northern half, on the other hand, is characterized by a lack of glacial deposits and the locally-derived heavy minerals appear to have been subjected to much less glacial transport and dilution than in the south.*

*This project is a contribution to the Eastern Quebec Development Plan (1983-1989).*

## TABLE DES MATIERES

### Sommaire / Summary

|     |   |    |
|-----|---|----|
| 1   | Introduction  | 1  |
| 2   | Méthodes d'échantillonnage et d'analyse   | 1  |
| 3   | Résultats analytiques et statistiques   | 4  |
| 4   | Interprétation des résultats  | 5  |
| 4.1 | Influence de la géologie glaciaire sur l'abondance des minéraux lourds et la répartition des métaux à l'échelle régionale | 5  |
| 4.2 | Association Ba, Sr, Zn p, Pb, Cu, Ag  | 8  |
| 4.3 | Association Pb, Sb, Ag, Cu, Sn, W, Hg   | 9  |
| 4.4 | Répartition de l'or   | 10 |
| 5   | Remerciements   | 10 |
| 6   | Références  | 10 |

## APPENDICES

- Appendice A - Répartition des numéros d'échantillons par coupure SNRC au 1/50 000  
Appendice B - Fiches de laboratoire  
Appendice C - Tableau des résultats analytiques  
Appendice D - Tableau statistique  
Appendice E - Histogrammes des valeurs analytiques  
Appendice F - Tableau des corrélations  
Appendice G - English Translation of pages 1 to 10

## ANNEXES

### Cartes de distribution d'éléments à l'échelle 1/250 000

- |              |           |            |                    |
|--------------|-----------|------------|--------------------|
| 1. Antimoine | 4. Baryum | 7. Étain   | 10. Plomb          |
| 2. Argent    | 5. Chrome | 8. Mercure | 11. Tungstène      |
| 3. Arsenic   | 6. Cuivre | 9. Or      | 12. Zinc (partiel) |
13. Carte de localisation des échantillons (1/250 000)

## 1) INTRODUCTION

Ce rapport présente les résultats et une interprétation succincte d'un levé géochimique des minéraux lourds effectué en 1987 dans la région du Bas Saint-Laurent. Le territoire échantillonné couvre une superficie d'environ 8400 km<sup>2</sup> qui s'étend sur les comtés de Kamouraska, Témiscouata, Rivière-du-Loup et Rimouski. Il comprend les parties québécoises des coupures SNRC (1/50 000) 21N/6, 7, 9, 10, 11, 14, 15, 16, et 22C/1, 2, 3 (figure 1).

La méthodologie employée pour ce levé est semblable à celle utilisée depuis 1984 en Estrie-Beauce. En Estrie-Beauce, plus de 16 000 km<sup>2</sup> ont été couverts par des levés géochimiques des minéraux lourds et les résultats ont été publiés dans trois dossiers publics de la Commission géologique du Canada: nos 1145, 1332 et 1918. D'autres rapports sur ces travaux ont été publiés et les principaux sont inscrits dans la liste de références (voir Maurice et Mercier, 1985a, Maurice, 1986a, 1987, 1988a et b, 1989).

## 2) MÉTHODES D'ÉCHANTILLONNAGE ET D'ANALYSE

Dans la région du Bas Saint-Laurent on a prélevé au total 728 échantillons sur autant de sites, produisant une densité d'échantillonnage moyenne de un échantillon par 11,5 km<sup>2</sup>. La méthode de prélever les échantillons dans les cours d'eau et celle utilisée pour la préparation des concentrés de minéraux lourds ont été décrites en détails par Maurice et Mercier (1985a, 1985b et 1986); on invite les lecteurs à consulter ces textes pour plus d'informations. Pour les non-spécialistes, la procédure dans son ensemble, y compris un survol de la façon d'interpréter les résultats, a été vulgarisée dans un article par Maurice (1987).

Les sites d'échantillonnage sont généralement choisis près des intersections des routes et des cours d'eau à faibles débits. L'échantillon est prélevé à plusieurs dizaines de mètres en amont de l'intersection afin d'éviter la contamination associée à l'emplacement de la route. À chaque site, on obtient d'abord un préconcentré de minéraux lourds en traitant environ 250 kg d'alluvions au moyen d'une drague à sluice portative. Cet appareil fonctionne par succion ce qui facilite l'échantillonnage sous l'eau et permet d'atteindre des couches de sédiments profondes dans lesquelles les minéraux les plus denses, y compris l'or natif, ont tendance à s'accumuler. On prépare ensuite, en laboratoire, les concentrés de minéraux lourds finals en se servant d'un séparateur à spirales de type GOLDHOUND. Après avoir obtenu le concentré, on le tamise à 0,85 mm et on sépare la magnétite au moyen d'un aimant manuel. On divise ensuite la partie non-magnétique en deux portions, une destinée aux analyses chimiques et l'autre, aux études

minéralogiques. Le concentré produit de cette façon est très pur; la majorité des grains se situe entre 100 et 400 µm et leur densité est ≥3,6 g/cm<sup>3</sup>. On retrouve très peu de minéraux légers dans le concentré, de sorte que pour effectuer des analyses chimiques, il est généralement inutile de le traiter davantage comme par exemple, avec des liquides lourds.

La figure 2a montre le schéma des différentes étapes suivies dans la préparation des concentrés en laboratoire, selon la méthode décrite au paragraphe précédent. C'est la procédure standard, celle qu'on a utilisée de façon routinière en Estrie-Beauce. Dans le Bas Saint-Laurent, parce qu'une proportion importante (~50%) des préconcentrés à la drague à sluice contenait à peine, ou moins que, le minimum de minéraux lourds non-magnétiques requis pour effectuer toutes les analyses chimiques (5g), il a fallu modifier la procédure tel qu'indiqué à la figure 2b.

Il fut nécessaire, en premier lieu, de régler le séparateur à spirales de manière à extraire le maximum de minéraux lourds. Normalement, le séparateur est réglé de façon à récupérer un concentré qui ne contient à peu près pas de grains de minéraux légers. Pour obtenir ce résultat, on doit accepter de perdre un certain pourcentage de la fraction lourde. Ceci n'affecte pas les résultats des analyses chimiques puisque l'analyse représente la composition chimique du concentré et n'est pas influencée par la quantité de concentré<sup>(1)</sup>.

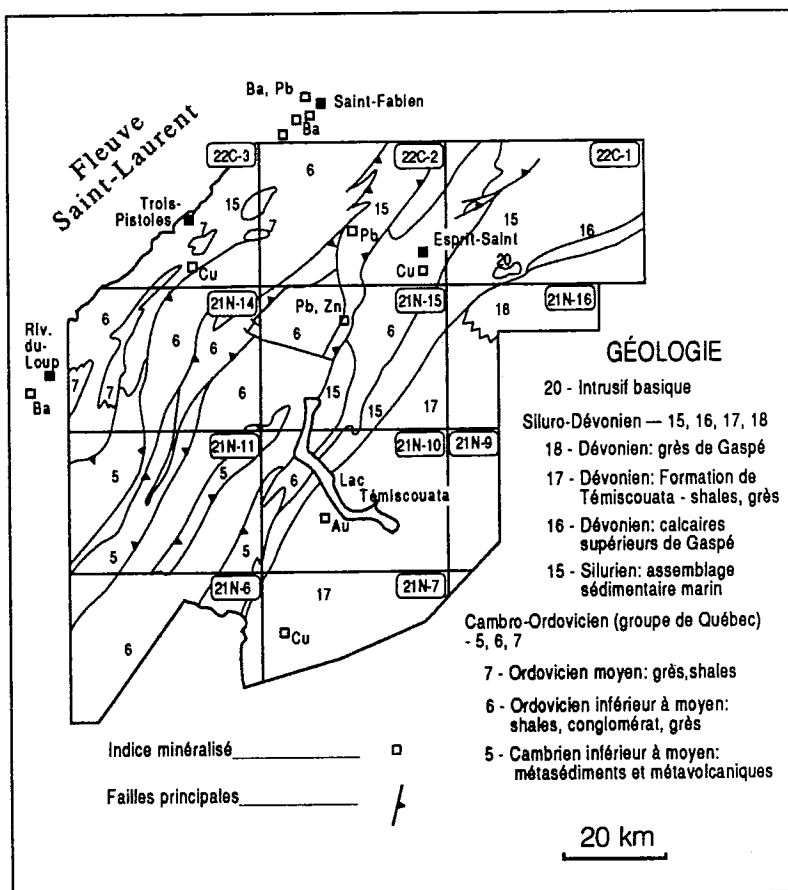


Figure 1: Géologie et localisation des coupures SNRC 1/50 000.

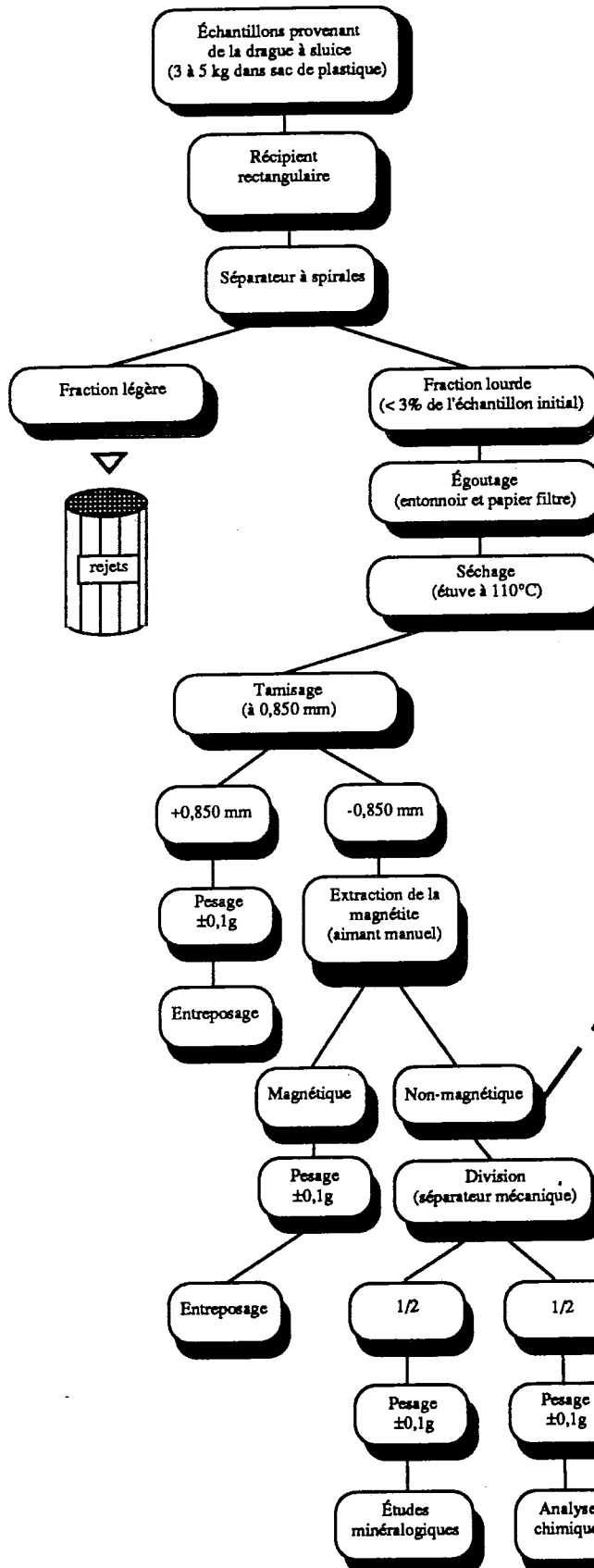
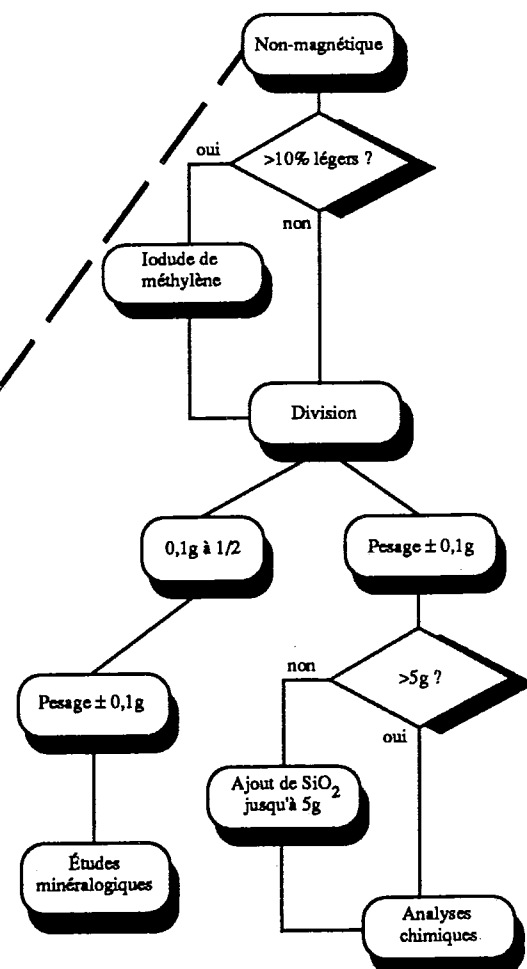
**Figure 2a**

Schéma montrant les différentes étapes dans la préparation des concentrés de minéraux lourds en laboratoire; méthode standard.

**Figure 2b**

Modification de la méthode standard pour traiter les échantillons du Bas Saint-Laurent.

Le séparateur à spirales, réglé pour traiter les échantillons du Bas Saint-Laurent, a produit des concentrés qui contenaient pour la plupart une certaine proportion de grains légers. Plus le préconcentré était pauvre en minéraux lourds, plus il y avait des minéraux légers dans le concentré. Cette fraction légère avait comme effet de diluer la fraction lourde; lorsqu'elle représentait plus qu'un faible pourcentage de l'échantillon ( $\approx 10\%$ ), on a dû l'enlever car elle aurait eu une influence non-négligeable sur les analyses chimiques.

Donc, exceptionnellement pour le projet du Bas Saint-Laurent, il fut nécessaire de nettoyer un certain nombre de concentrés du séparateurs à spirales avec des liquides lourds. Environ 80% (581 sur 728) des concentrés ont été traités à l'iodure de méthylène ( $d = 3,3 \text{ g/cm}^3$ ). Après ce nettoyage, 326 concentrés ( $\approx 45\%$ ) n'atteignaient pas les 5g requis pour effectuer toutes les analyses chimiques. À ces concentrés, nous avons ajouté de la silice pure (Fisher Scientific Co., produit #S-153) afin de ramener leurs masses à 5,0g<sup>(2)</sup>.

On présente à l'appendice B, les fiches de laboratoire sur lesquelles sont inscrites, pour chaque échantillon, la masse de la magnétite enlevée (MAGNÉTITE), les masses des deux portions de minéraux lourds non-magnétiques (RÉCIP. No 1 et No 2), la masse des grains retenus au tamisage (+0,85 mm) et, pour les rares concentrés qui excèdent la capacité des récipients 1 et 2 (environ 80g chacun), la masse de la portion excédante (EXCES). On peut reconstituer la masse totale de minéraux lourds extraite à chaque site en additionnant ces fractions; la somme obtenue sera toutefois inférieure à la quantité réelle de minéraux lourds dans le volume d'alluvions traité à la drague à sluice à cause des pertes de minéraux lourds encourues durant l'échantillonnage et la préparation des concentrés en laboratoire. Notez que la colonne RÉCIP. No 1 correspond à la fraction qui a servi aux analyses chimiques et que les chiffres représentent les masses des minéraux lourds avant l'ajout de silice. Ce sont ces masses qui ont été ramenées à 5,0g lorsqu'elles étaient inférieures à 5,0g.

Les fiches de laboratoire (appendice B) signalent également la présence de particules métalliques (pollutions) aperçues dans les concentrés durant leur préparation et identifient les échantillons de contrôle et les duplicata qui ont servi à vérifier la qualité des analyses.

La partie des concentrés destinée aux analyses chimiques, pour les échantillons qui excèdent 5,0g, a été préparée pour l'analyse selon une méthode spécialement conçue pour analyser l'or dans des échantillons susceptibles

de contenir des particules d'or grossier. La technique consiste à broyer l'échantillon au complet dans un broyeur rotatif à anneau et palet et à le tamiser à  $\pm 106 \mu\text{m}$  (150 mailles du système Tyler). Environ 50% de la fraction fine (-106  $\mu\text{m}$ ) est analysée directement pour l'or et une douzaine d'autres éléments par activation neutronique. La fraction grossière (+106  $\mu\text{m}$ ) en entier, qui contient les particules d'or grossier aplatis, est traitée par pyroanalyse suivie d'un dosage par absorption atomique. Le résultat final est calculé à partir des teneurs en or des fractions fines et grossières redistribuées mathématiquement sur la masse totale de concentré initial. Dans le cas des échantillons dilués avec de la silice, le mélange est broyé et environ la moitié ( $\approx 2,5\text{g}$ ) est analysé par activation neutronique. L'autre moitié sert aux analyses à l'absorption atomique et par méthodes colorimétriques et gravimétriques (voir plus bas). La technique avec broyage spécial, décrite plus haut, n'est pas recommandée pour les échantillons dilués avec de la silice.

Les autres éléments dosés par activation neutronique sont: Cr, Fe, Co, Ni, Zn, Mo, Sb, La, Ce, Sm, Eu, Tb, Yb, Lu, Hf, Ta, Ir, Th, et U. Cette méthode d'analyse donne les concentrations *totales* de ces éléments dans les concentrés de minéraux lourds. Les résultats sont donc plus élevés que ceux qu'on obtient pour les mêmes éléments en utilisant l'absorption atomique après une décomposition de l'échantillon aux acides nitrique et chlorhydrique. Cette dernière méthode donne des concentrations *partielles*, reliées aux minéraux solubles dans ces acides tels que les sulfures, les oxydes hydratés et certains minéraux secondaires. Nous avons employé cette méthode d'analyse partielle pour le Cu, le Ni, le Zn, le Fe, le Mn, l'Ag, et le Pb. Le Ni, le Zn et le Fe ont donc été analysés par les deux méthodes.

On a employé une méthode d'analyse totale par fluorescence X (méthode des poudres comprimées) pour le dosage du Ti, du Nb, du Sn, du Sr, du Zr, du Ba et de l'Y. Cette procédure requiert un minimum de 5g d'échantillon, mais parce qu'elle est non-destructive, on l'effectue au début et on réutilise la poudre immédiatement après pour les autres dosages<sup>(3)</sup>. L'As et le W ont été obtenus par méthodes colorimétriques en utilisant une décomposition aux acides nitrique et perchlorique et par frittage au carbonate respectivement. Le Hg a été analysé par absorption atomique aux vapeurs froides en utilisant une décomposition aux acides nitrique, sulfurique et chlorhydrique avec permanganate de potassium. On s'est servi d'une méthode gravimétrique pour le dosage du S.

<sup>1</sup> Pas tout à fait parce qu'il peut y avoir une différence entre la composition du concentré récupéré et celle des minéraux lourds perdus. Toutefois, le fait de procéder toujours de la même façon rend cette différence sans conséquences sur l'interprétation des résultats.

<sup>2</sup> Après avoir mis de côté une petite quantité de minéraux lourds (0,1 à 0,5g) pour les analyses minéralogiques.

<sup>3</sup> Contrairement à l'activation neutronique qui est aussi une méthode non-destructive mais qui nécessite une période de refroidissement de plusieurs mois.

### 3) RÉSULTATS ANALYTIQUES ET STATISTIQUES

Les résultats analytiques pour tous les éléments analysés sont présentés sous forme de tableau à l'appendice C. Sur ces tableaux, on distingue les résultats des analyses *totales* de Fe, de Zn et de Ni par activation neutronique, des résultats des analyses *partielles* de ces mêmes éléments par absorption atomique, par les lettres "t" et "p" inscrites après l'élément en tête de page. Notez que les résultats des analyses partielles sont généralement très différents des résultats des analyses totales. Ceci reflète le fait que chacune de ces deux procédures analyse différents groupes de minéraux et démontre jusqu'à quel point il est important de tenir compte de la méthode d'analyse lorsqu'on interprète des données géochimiques.

La deuxième colonne des tableaux de l'appendice C (fct dil = facteur de dilution) est le facteur par lequel on a multiplié les résultats analytiques de chaque échantillon pour tenir compte de la silice ajoutée (voir section précédente). Ce facteur est obtenu en divisant 5 par la masse des lourds dans

le RÉCIP. No 1 à l'appendice B. Un facteur de 1.00 indique que l'échantillon n'a pas été dilué (masse des lourds  $\geq 5.0\text{g}$ ). Pour les échantillons dont le facteur est  $>10$  (e.i. masse des lourds récupérés  $< 0.5\text{g}$ ), on a inscrit *ins* (insuffisamment d'échantillon pour l'analyse) pour tous les éléments.

On a vérifié la validité de procéder de cette manière pour traiter les "petits" échantillons, en utilisant des concentrés de minéraux lourds standards, qu'on a dilué en différentes proportions et qu'on a fait analyser de la même façon que les échantillons réguliers. Les résultats montrent que pour tous les éléments sauf le Nb, l'Y et le Zr, les variations sont linéaires et le facteur tel que défini plus haut est applicable. Pour le Nb, l'Y, et le Zr, qui ont été analysés à la fluorescence X, on s'est aperçu que les forts contrastes entre les matrices des divers mélanges de minéraux lourds et silice engendraient une variation non-linéaire. En utilisant la courbe expérimentale, on est parvenu à calculer pour chacun de ces trois éléments, un polynôme du deuxième degré qui représente la relation. On s'est servi ensuite de ce polynôme pour effectuer la correction en utilisant l'équation suivante:

$$V_c = V_i \times P_s/P_x$$

où:  $V_c$  = valeur corrigée

$V_i$  = valeur initiale

$P_x$  = polynôme du deuxième degré

$P_s$  = polynôme résolu pour  $x=5$

$x$  = grammes de minéraux lourds dans l'échantillon

La figure 3 est un exemple d'une relation linéaire normale et la figure 4 montre le cas d'une relation polynomiale du deuxième degré.

Les cartes de distribution avec contours isotenseur pour douze éléments (As, Au, Cr, Cu, Pb, Zn(p), Sb, Sn, Ag, Hg, W, et Ba) sont annexées à ce rapport. En plus, plusieurs cartes à échelle réduite avec symboles sont incorporées dans le texte pour faciliter la discussion. Les éléments qui ne sont pas représentés sous une forme ou l'autre ont une distribution semblable à celles d'autres éléments qui le sont, ou ils présentent peu d'anomalies d'intérêt. Pour faciliter l'usage simultané des tableaux des résultats analytiques et des cartes, une liste des numéros d'échantillons par coupure SNRC au 1:50 000 est présentée à l'appendice A. Le lecteur peut utiliser cette liste conjointement avec la figure 1 et la carte de localisation des échantillons en annexe pour localiser rapidement les échantillons sur les cartes géochimiques.

L'appendice D présente sous forme de tableau, les statistiques de base pour chacun des éléments analysés; on trouve les histogrammes correspondants à l'appendice E. L'appendice F donne les coefficients de corrélation entre les éléments. Notez que le fait d'avoir ajouté de la silice à un certain nombre d'échantillons a eu comme effet de multiplier la limite de détection analytique de ces échantillons par un facteur équivalent au facteur de dilution. Ceci n'empêche pas

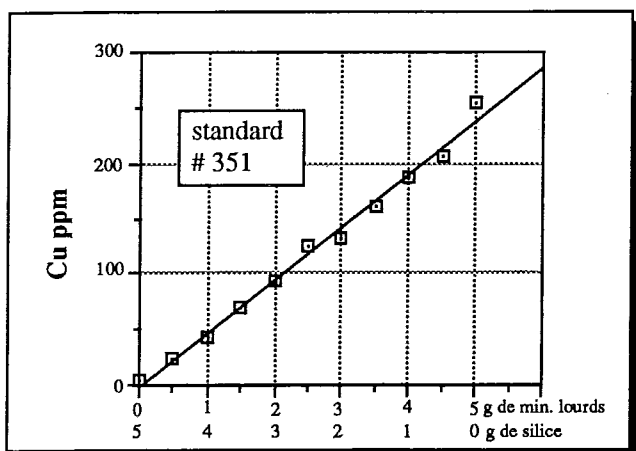


Figure 3: Exemple montrant l'analyse d'échantillons dilués formant une relation linéaire

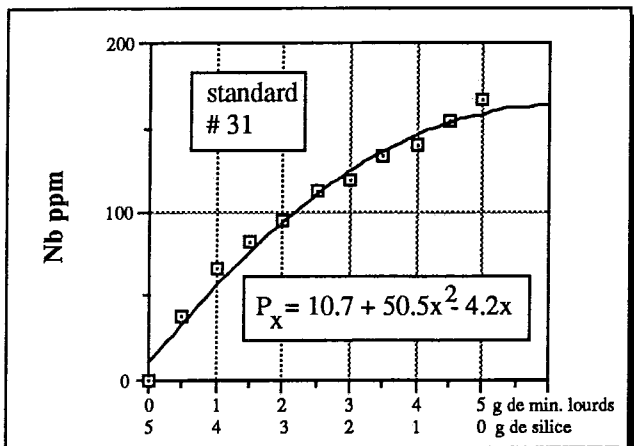


Figure 4 : Exemple montrant l'analyse d'échantillons dilués formant une relation polynomiale

de reconnaître les anomalies ou même les tendances régionales, puisqu'avec les minéraux lourds, celles-ci sont définies par des concentrations qui sont en général bien au dessus des limites de détection. Cependant, pour la compilation de certaines statistiques de base et des corrélations (appendices D et F), nous nous sommes servis que des résultats des échantillons non-dilués puisque ces paramètres sont influencés autant par les valeurs basses que par les valeurs élevées.

### Résultats informatisés

Les résultats analytiques informatisés avec coordonnées UTM sont disponibles sous divers formats en s'adressant à l'auteur, Commission géologique du Canada, 601 rue Booth, Ottawa, Ontario, K1A 0E8.

## 4) INTERPRÉTATION DES RÉSULTATS

### 4.1) Influence de la géologie glaciaire sur l'abondance des minéraux lourds et la répartition des métaux à l'échelle régionale

Les résultats des levés géochimiques des minéraux lourds effectués en Estrie-Beauce depuis 1984 ont démontré clairement que la répartition régionale des minéraux lourds, telle que cartographiée au moyen des méthodes décrites dans ce rapport, reflète surtout de la dispersion glaciaire. La dispersion alluvionnaire ou fluviatile des minéraux lourds n'est généralement pas perceptible à l'échelle de nos travaux (Maurice, 1988a&b). Les travaux précédents nous ont également permis de conclure que les minéraux lourds que nous récoltons dans les cours d'eau proviennent essentiellement des dépôts meubles au voisinage des sites d'échantillonnage.

Dans la région du Bas Saint-Laurent, les phénomènes glaciaires ont influencé la répartition des minéraux lourds tout comme en Estrie-Beauce. Cependant, certaines différences dans les régimes glaciaires et d'autres de nature géologique (e.g. la composition des roches), font que les patrons de dispersion des minéraux lourds des deux régions ont des allures très différentes.

La région de l'Estrie-Beauce contient de nombreuses formations géologiques d'origine volcanique ou intrusive et même sédimentaire qui sont très riches en minéraux lourds. Ces formations ont été érodées par les glaciers durant le Pléistocène et leurs débris forment une importante composante des épais dépôts glaciaires qui recouvrent la région de façon quasi-continue. Dans le Bas Saint-Laurent, il n'existe pas d'importantes unités volcaniques ou intrusives qui auraient pu fournir une quantité appréciable de minéraux lourds aux dépôts glaciaires et les formations sédimentaires de la région sont en général pauvres en minéraux lourds. De plus, au moins 50% de la région échantillonnée, surtout la partie nord, n'est recouverte que par une très mince couche de

dépôts glaciaires.

Autant en Estrie-Beauce que dans le Bas Saint-Laurent, les dépôts glaciaires contiennent une importante proportion de matériaux, y compris de minéraux lourds, qui proviennent du bouclier canadien, en l'occurrence, du Grenville. Ces minéraux lourds sont surtout du grenat, de l'ilménite et du zircon; leur présence est importante non seulement parce qu'ils influencent les analyses chimiques et minéralogiques, mais aussi parce qu'ils donnent à l'échantillon la masse nécessaire pour pouvoir faire les analyses chimiques. S'ils sont absents, ou peu abondants comme c'est le cas dans la moitié nord du territoire échantillonné dans la région du Bas Saint-Laurent, les concentrés sont formés surtout de minéraux lourds d'origine locale, c'est à dire provenant de roches sédimentaires plutôt déficientes en minéraux lourds. Ceci à comme effet de produire des concentrés peu volumineux (auxquels on a dû ajouter de la silice afin de parvenir à les analyser<sup>4</sup>) et également des concentrés dans lesquels les minéraux lourds d'origine locale sont surreprésentés par rapport à ce qu'ils sont lorsqu'il existe une composante précambrienne appréciable.

Il est très important de tenir compte de ceci lorsqu'on interprète les résultats du Bas Saint-Laurent. Toutes les anomalies géochimiques qui sont susceptibles d'intéresser les explorateurs miniers sont nécessairement d'origine locale, c'est à dire de sources appalachianes situées à l'intérieur ou en bordure du périmètre de la région échantillonnée. Dans la partie nord de la région, ces anomalies auront tendance à être considérablement plus fortes que dans la partie sud où les minéraux lourds locaux sont dilués par des minéraux lourds transportés d'ailleurs. D'un autre côté, dans la partie nord, les anomalies auront tendance à être beaucoup plus *in situ* que dans la partie sud, où le déplacement glaciaire des anomalies a pu être important.

Nous avons songé à ajuster le seuil anomalique entre la partie nord et la partie sud du levé en apportant une correction qui aurait tenu compte du rapport entre les quantités de minéraux lourds d'origine précambrienne et locale. Cependant, la proportion de minéraux lourds précambriens dans chaque échantillon (récolté aussi bien dans le secteur nord que dans le secteur sud) étant très variable, il n'existe pas de facteur simple qui permette de faire un tel ajustement.

En général, il est facile de distinguer le signal géochimique rattaché aux minéraux lourds précambriens de celui relié aux minéraux lourds locaux. Parce qu'ils proviennent de sources lointaines, les minéraux lourds précambriens sont répartis assez uniformément dans les dépôts de surface de sorte qu'ils contribuent au fond géochimique plutôt qu'à la

<sup>4</sup> Les échantillons dilués sont indiqués sur la carte de localisation des échantillons en annexe, par des petits triangles.

formation d'anomalies spécifiques. De plus, dans la région du Bas Saint-Laurent, ils ont tendance à être très concentrés le long du littoral, sous la limite de la dernière transgression marine, où ils ont été déposés par des processus glaciomarins et/ou par les glaces flottantes, durant la période de déglaciation. La figure 5 montre la répartition du Ti, présent dans la région surtout sous forme d'ilménite qui provient en grande partie du Grenville. On remarque que les concentrations élevées se trouvent le long du littoral et le long d'une zone de dispersion glaciaire dans la partie sud de la région. Cette zone correspond assez bien avec celle où Rappol et Russell (1989) ont indiqué la présence de concentrations élevées de blocs erratiques précambriens.

Un troisième groupe d'échantillons riches en Ti se trouve au dessus des Grès de Gaspé dans le secteur nord-est (voir la géologie à la figure 1). On pourrait croire que cette anomalie est causée par de l'ilménite dans les Grès de Gaspé. Cependant, selon les données de Rappol et Russell (1989) ce secteur forme une zone isolée où les blocs erratiques précambriens sont abondants. De plus, nos échantillons de cette région contiennent une ilménite angulaire, similaire à l'ilménite précambrienne et ils contiennent une proportion élevée de grenat que l'on considère un bon indicateur de sources précambrrientes.

Plusieurs autres éléments fournissent des renseignements sur les processus de dispersion glaciaire dans la région. Par exemple, nos données indiquent que l'Y (figure 6) et les autres terres rares, ainsi que le Th, sont présents dans les formations cambro-ordoviciennes du Bas Saint-Laurent. Ces roches contiennent probablement une certaine quantité de monazite et d'autres minéraux semblables qui deviennent enrichis dans les concentrés de minéraux lourds. On remarque sur la figure 6 que les concentrations d'Y les plus élevées se trouvent dans la partie nord au dessus des roches cambro-ordoviciennes. Les échantillons pris sur le siluro-dévonien, de leur coté, contiennent peu d'Y dans la partie nord. Dans

la partie sud, les valeurs d'Y sur le cambro-ordovicien sont beaucoup plus basses que dans la partie nord, résultat de la dilution par des minéraux lourds précambriens, et on remarque que l'Y a été dispersé vers le sud-est au dessus du siluro-dévonien.

Le Ti et l'Y représentent les deux modèles de dispersion régionale qui peuvent servir de base à l'interprétation de tous les autres éléments. Les éléments associés aux minéraux précambriens se comportent comme le Ti; ce sont ceux qui sont enrichis dans l'ilménite comme le Nb et le Ta, et ceux qui s'associent au zircon, c'est à dire le Zr, le Hf et l'U. On note une certaine différence entre la répartition du zircon et celle de l'ilménite: le zircon (figure 7) n'est pas enrichi le long du littoral ni dans le secteur nord-est. Ces différences reflètent possiblement des sources grenvillienes de zircon plus restreintes que les sources d'ilménite.

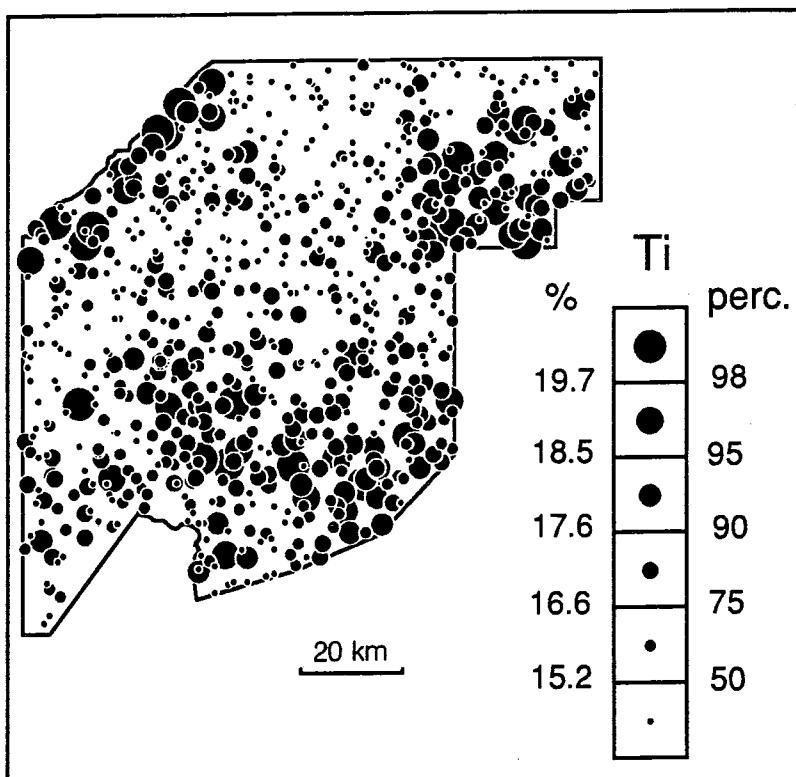


Figure 5: Répartition du titane

d'autres exemples d'éléments qui ont un comportement semblable à celui de l'Y à l'échelle régionale sont le Cr et le Co, tous deux contenus dans de la chromite qui est vraisemblablement présente en petites quantités dans les formations cambro-ordoviciennes (et probablement siluriennes — voir la carte du Cr en annexe); le soufre (figure 8), associé à la pyrite et à la barytine; le Fe(p), le Mn, l'As et le Ni associés à la pyrite et à la goethite.

L'examen des cartes géochimiques de la région nous permet de localiser de façon assez précise la ligne de démarcation entre le secteur sud (dispersion glaciaire intense) et le secteur nord (dispersion glaciaire restreinte). D'après nos observations, la ligne serait orientée à peu près vers le sud-est ( $\approx 140^\circ$ ) entre Trois-Pistoles, l'extrême nord du Lac Témis-

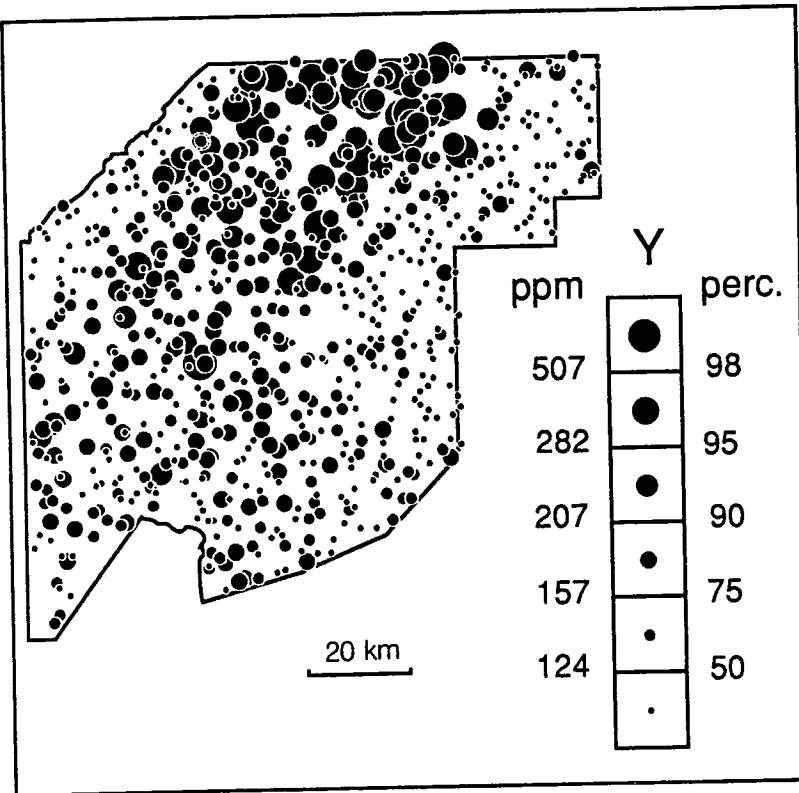
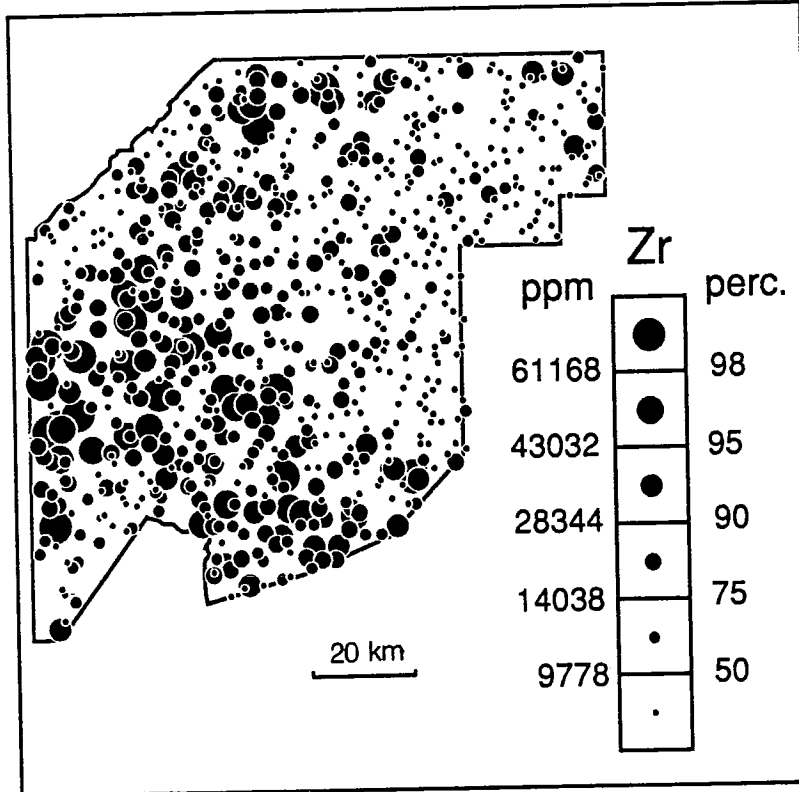


Figure 6: Répartition de l'yttrium



couata et le Grand Lac Squatec (figure 9). L'orientation des traînées de dispersion au sud de la ligne semble indiquer que la principale direction de transport de détritus glaciaire est parallèle à la ligne de démarcation. Le glacier laurentidien aurait donc parcouru la région en direction sud-est au sud de la ligne, provoquant l'érosion et le transport des roches locales, et la déposition de ces matériaux mélangés à des matériaux venus d'ailleurs, notamment du Grenville. Au nord de la ligne, on note une pénurie de dépôts glaciaires et les minéraux lourds locaux semblent avoir subi beaucoup moins de transport glaciaire et de dilution qu'au sud. Une divergence possible à vérifier, concerne le secteur nord-est, près de la frontière du Nouveau-Brunswick, où certaines de nos données et celles de Rappol et Russell (1989) semblent indiquer la présence d'une composante précambrienne importante. Notons à ce sujet que Rappol et Russell (1989) ont localisé des erratiques précambriens sur tout le territoire couvert par notre étude. De plus, tous nos échantillons, dans la partie nord comme dans la partie sud, contiennent du grenat que l'on considère de source précambrienne<sup>5</sup>. Ces observations suggèrent que tout le territoire échantilloné a été effectivement recouvert de glace laurentidienne à un certain moment.

Rappol et Russell (1989) proposent, d'après la nature des erratiques précambriens, que la glace laurentidienne a parcouru la région en direction est ou est-sud-est plutôt que sud-est comme nous le suggérons. Ils ont observé également que la fréquence d'erratiques précambriens augmentait en s'éloignant de la côte pour atteindre un maximum à une certaine distance à l'intérieur. Nous observons aussi une baisse dans la quantité de minéraux lourds précambriens vers la côte au sud de la ligne de démarcation, si bien que dans la zone C sur la figure 9, l'abondance de minéraux lourds précambriens est très faible, semblable à ce que nous trouvons au nord de la ligne (voir aussi la figure 5).

Au nord de la ligne de démarcation, Rappol et Russell (1989) rapportent de la dispersion vers l'est ou le sud-est, puis vers le nord

Figure 7: Répartition du zirconium

<sup>5</sup> Les roches sédimentaires détritique cambro-ordoviciennes du Bas Saint-Laurent, formées de matériaux provenant de sources précambraines, contiennent du grenat (Lajoie et al., 1974). Cependant, l'abondance, l'aspect très frais et la morphologie très angulaire de la majorité des grains de grenat dans nos échantillons, porte à croire qu'ils ont été transportés et déposés par la glace laurentidienne.

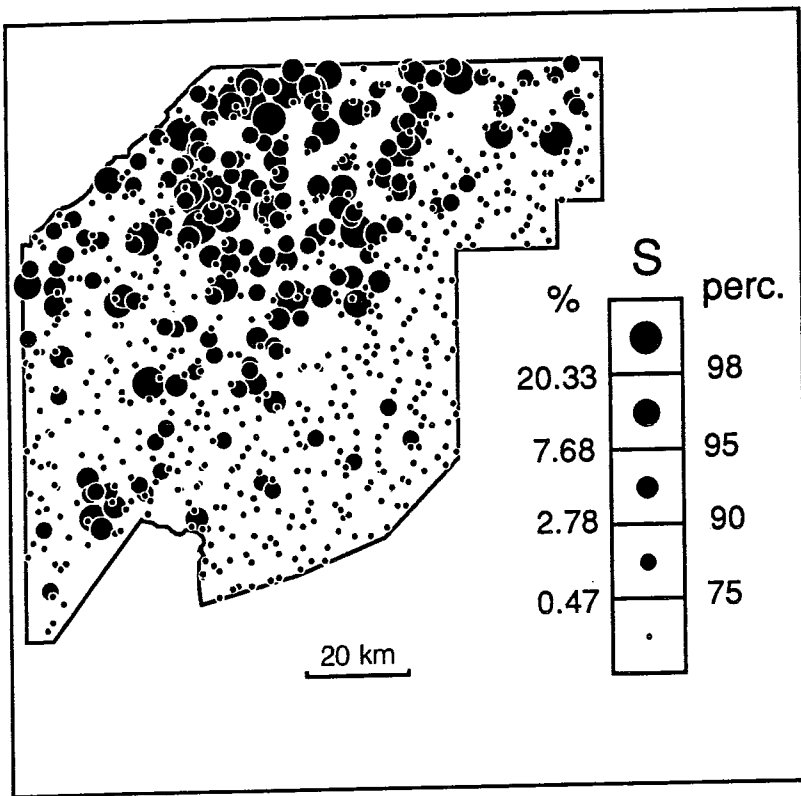


Figure 8: Répartition du soufre

ou le nord-ouest à partir de la formation de Pointe-aux-Trembles (centre "b", figure 9) et du gabbro du Lac de Échos (centre "c", figure 9). De telles dispersions dans le secteur nord ne sont pas évidentes sur les cartes géochimiques et nous croyons qu'elles représentent des phénomènes relativement peu importants du point de vue de la quantité de matériaux transportés. Localement, toutefois, ces mouvements ont pu déplacer les anomalies géochimiques et on devrait toujours en tenir compte en interprétant les résultats.

#### 4.2) Association Ba, Sr, Zn p, Pb, Cu, Ag

Dans la région de St-Fabien, près de la côte et à peine à quelques kilomètres au nord de la région échantillonnée, on retrouve quatre indices et un gîte sub-économique d'une minéralisation de barytine et galène avec un peu de sphalérite et rarement de la chalcopyrite, généralement associée à de la dolomie. Ces minéralisations ont été décrites récemment par Schrijver et Rhéaume (1989). Selon ces auteurs, les minéraux se trouvent sous forme de veines et disséminations dans la formation de St-Damase (grès et congolomérats calcaires) et dans une unité de grès verts (arkose interlités avec des sédiments pélitiques) de la nappe Des Seigneuries. D'un point de vue structural, la minéralisation est localisée dans des charnières anticlinales de plis majeurs et associée à des failles qui déplacent les plans axiaux des plis. Les veines peuvent atteindre 1,5 m d'épaisseur et ne renferment pas toujours des sulfures. On retrouve d'autres indices de barytine-galène près de Rivière-du-Loup et de St-Bruno-de-Galène près de Rivière-du-Loup et de St-Bruno-de-Galène près de Rivière-du-Loup et de Kamouraska, à l'est et au sud-est de la région échantillonnée.

La carte de répartition du Ba en annexe, montre un fond géochimique plus élevé dans la partie nord que dans la partie sud et de très fortes anomalies près de la bordure nord et dans la région de Rivière-du-Loup. Quelques échantillons ont des concentrations excessivement élevées de Ba et certains contiennent à toute fin pratique que de la barytine (e.g. #869 et #916 > 60% Ba). On fait remarquer que ces valeurs indiquent simplement qu'il y a de la barytine aux endroits correspondants et relativement peu d'autres types de minéraux lourds. On ne doit pas interpréter ces valeurs très élevées comme une indication de l'importance de la source en termes de teneurs ou de tonnages. Les caractéristiques régionales des anomalies (i.e. leur étendue, leur orientation et les types de métaux associés, etc) et le contexte géologique et structural dans lequel elles se trouvent, peuvent guider les prospecteurs plus efficacement que les concentrations absolues.

Il n'en demeure pas moins que les anomalies de Ba représentent d'excellentes cibles d'exploration pour des minéralisations de même type que celles de St-Fabien. Dans la partie nord, ces anomalies sont probablement très près de leurs sources. Dans la région de Rivière-du-Loup, par contre, la zone anomale (>200 ppm) a probablement été étirée en direction sud-est à cause de la dispersion glaciaire, mais sa tête (l'échantillon 165) se trouve probablement près de la source.

Parmi les sites les plus intéressants près de la bordure nord, on remarque les échantillons 882 et 916, lesquels contiennent des teneurs relativement élevées en Pb, en Zn(p) et en Cu, métaux que l'on retrouve dans les minéralisations de St-Fabien. L'échantillon 165 près de Rivière-du-Loup contient aussi ces éléments. Le 882 contient également un peu de d'Ag, de Sb et de Sn. Nous avons identifié aux rayons-X de la stetefeldtite ( $\text{Ag}_2\text{Sb}_2\text{(O,OH)}_7$ ) et de la cassitérite dans cet échantillon.

Les échantillons 882 et 916 sont alignés à peu près dans le sens de la structure géologique régionale et pourraient définir une nouvelle bande minéralisée, parallèle à celle qui contient les minéralisations de la région de St-Fabien. D'autres échantillons enrichis en divers métaux pourraient faire partie de la même bande, même s'ils contiennent un peu moins de Ba, comme par exemple les numéros 351 (Zn), 913 (Pb, Zn, Cu, Ag), 914 (Zn), 919 (Pb, Cu, Ag), et 927 (Pb, Cu, Ba). Une autre zone d'anomalies de Ba, plus à l'est et dans un secteur de roches siluriennes, est définie par les échantillons 859, 869, 339, 340, et 323. Entre les deux zones, l'échantillon 893 contient une forte teneur en Zn. D'après les cartes géologiques de la région (Lajoie, 1971; Avramtchev, 1984), la plupart de ces anomalies et bandes se situent le long de failles

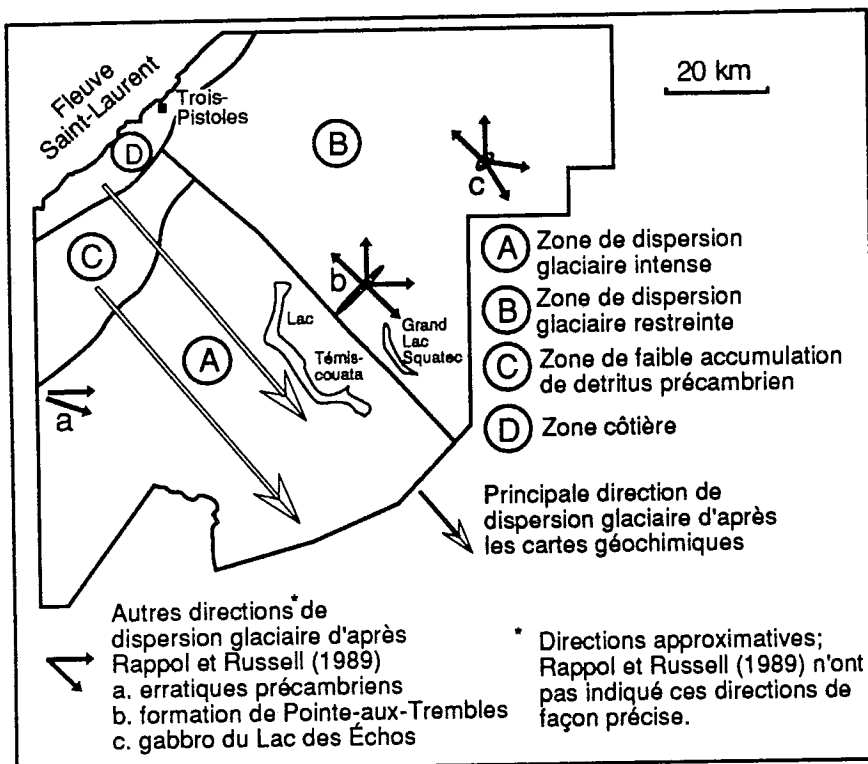


Figure 9: Zones de dispersion glaciaire

majeures. Ceci est particulièrement intéressant puisque la minéralisation recherchée est probablement de type hydrothermal associée à des fractures.

La barytine se présente dans les échantillons sous forme de grains blancs laiteux à plus ou moins transparents, très angulaires et montrant un bon clivage. Les analyses chimiques indiquent qu'elle contient jusqu'à environ 0,5% de strontium. Les autres métaux se retrouvent surtout sous forme de minéraux secondaires mais nous avons identifié de la sphalérite par rayons-X dans les échantillons 165 et 893.

#### 4.3) Association Pb, Sb, Ag, Cu, Sn, W, Hg

Nous regroupons ces éléments ici surtout parce qu'ils forment une zone fortement anomale dans la région de l'Esprit-Saint et de La Trinité-des-Monts. Dans l'ensemble de la région, les corrélations entre ces éléments ne sont pas toujours élevées ou même positives (voir appendice F).

La zone anomale est orientée nord-est/sud-ouest et elle est particulièrement bien définie par le plomb et l'antimoine (voir les cartes en annexe). Une seconde zone, celle-ci anomale en tungstène et orientée à peu près nord-sud, recoupe l'anomalie de plomb et antimoine environ à mi-chemin entre l'Esprit-Saint et La Trinité-des-Monts. Les concentrations des métaux sont très élevées (jusqu'à 15% de Pb, plus de 1% de W et 0,5% de Sb) mais comme pour le baryum, il s'agit d'anomalies dans la partie nord qui n'ont pas été diluées substantiellement par des minéraux lourds transportés d'ailleurs. Nous signalons tout de même que tous les échantillons anormaux contiennent une certaine proportion de

grenat et d'ilménite provenant du Grenville.

L'Ag a été détecté en concentrations relativement élevées dans deux échantillons situés au sud de l'Esprit-Saint (#330 et #767). On remarque également un patron linéaire de valeurs plus basses d'Ag, dans le même axe que l'anomalie de Pb-Sb, situé au nord-est de celle-ci.

Les autres éléments de l'association (Cu, Sn, Hg) forment des anomalies plus ou moins ponctuelles le long de l'axe principal. On y note aussi quelques valeurs plus élevées que la moyenne en As et en Zn(p). L'échantillon 306, qui contient plus de 1% de Zn et est anomal en Ag, en Cu, en Pb et en As, est situé à environ 15 km au nord-est de l'anomalie principale (Pb-Sb) et pourrait bien faire partie de la même zone. L'échantillon 306 contient de la sphalérite identifiée par rayons-X.

Dans son ensemble, l'anomalie de l'Esprit-Saint est longue de 20 à 30 km, elle est parallèle à la structure géologique et aux grandes failles régionales et elle est caractérisée par un certain zonage des principaux métaux constituants. À la loupe binoculaire, on remarque que la plupart des échantillons le long de l'axe de l'anomalie contiennent de la pyrite fraîche, de la goethite et/ou des minéraux secondaires. Aux rayons-X, nous avons identifié de la scheelite dans l'échantillon 820 et de la cérusite dans l'échantillon 317.

La nature des métaux associés et les autres caractéristiques de l'anomalie nous rappellent le gîte de W, Bi, Pb, Ag, Zn, Cu, (Au, Sb) de Saint-Robert dans le canton de Marlow, dans les Cantons de l'Est. Cette minéralisation est contenue dans des veines de quartz associées à des dykes felsiques et mafiques (Cattalani et Williams-Jones, 1986). Dans la région de l'Esprit-Saint, cependant, les cartes géologiques ne montrent pas de roches ignées filonniennes.

La seule minéralisation connue dans ce secteur est un petit indice de cuivre situé à environ 5 km au sud du village de l'Esprit-Saint. Elle a été décrite comme une mince couche de chalcopyrite qui recouvre des plans de pseudo-clivage de schistes ardoisiers (Lajoie, 1962).

Outre les anomalies décrites précédemment, il existe plusieurs autres sur le territoire échantillonné. Parmi celles qui ressortent on note:

- Une série d'échantillons (e.g. 823, 824, 825, 826) dans la région du lac Mistigougèche dans le secteur nord-est, qui sont enrichis en plusieurs métaux dont

le W, le Ba, et le Hg. Cette anomalie pourrait indiquer une autre zone d'activité hydrothermale, cette fois dans le Silurien.

- Valeur très élevée en Hg ( $\approx 10$  ppm) dans un échantillon situé à l'ouest de la région (échantillon 106), pourrait indiquer de l'activité hydrothermale.
- Une anomalie en Cu, Pb, Ag, Sn, Sb, à proximité d'un indice de cuivre du côté sud du Lac Long dans le canton de Botsford (échantillon 518). L'anomalie peu en partie provenir de la contamination reliée à des anciens travaux d'excavations. Toutefois, l'assemblage de métaux qui forme l'anomalie géochimique et le fait que celle-ci s'étend sur une assez grande superficie (même du côté nord du lac dans le cas du Cu, du Pb et du Sn), justifieraient une réévaluation de l'indice.

#### 4.4) Répartition de l'or

Un des principaux objectifs du levé géochimique des minéraux lourds dans le Bas Saint-Laurent, tout comme en Estrie-Beauce, était de cartographier la répartition de l'or alluvionnaire. Les procédures d'échantillonnage et d'analyse qu'on utilise, sont particulièrement bien adaptées à la recherche de l'or (voir "Méthodes d'échantillonnage et d'analyse" plus haut).

Cependant, la région du Bas Saint-Laurent semble passablement moins aurifère que l'Estrie Beauce. Par exemple, dans le Bas Saint-Laurent, nous avons détecté de l'or dans seulement 26% des concentrés de minéraux lourds, comparé à 86% en Estrie-Beauce<sup>6</sup>. De plus, 47% des concentrés de l'Estrie-Beauce contenaient plus de 1 ppm d'or<sup>7</sup>; ce pourcentage est de 1,6% dans le Bas Saint-Laurent.

Des concentrations d'or de quelques dizaines ou même de quelques centaines de ppb peuvent s'expliquer par la présence de pyrite ou d'autres sulfures dans les échantillons. Ces valeurs peuvent être considérées comme faisant partie du fond géochimique. Au dessus de 1 ppm Au, on estime qu'il y a de l'or natif dans le concentré (pour une discussion sur ce sujet, voir Maurice, 1988a, p.195). Cet or peut provenir d'une source minéralisée en or mais peut également provenir d'un régolithe préglaciaire qui se serait développé à partir de roches sulfureuses, légèrement aurifères.

Sur le territoire échantillonné, 11 échantillons contiennent plus de 1 ppm d'or. L'anomalie la plus intéressante se situe au sud-est du Lac Témiscouata. Elle est localisée dans des sédiments dévoniens, équivalents au groupe de Fortin en

Gaspésie, auquel on attribue un certain potentiel aurifère (Maurice, 1986b). Elle se situe également en aval glaciaire d'un petit indice d'or au sud de Notre-Dame-du-Lac et d'une anomalie polymétallique (Pb, Sn, Sb — échantillon 651) au nord-est du lac Témiscouata.

Il semble y avoir peu d'or d'associé à l'anomalie de l'Esprit-Saint/La Trinité-des-Monts. Cependant, l'association métallique que révèle l'analyse de nos échantillons dans ce secteur est reconnue comme étant souvent reliée à des minéralisation d'or. Il se pourrait qu'une zone aurifère existe mais n'affleure pas. L'échantillon 852, situé à environ 18 km à l'est de l'Esprit-Saint, contient 12 ppm d'or et se situe à proximité d'anomalies de Zn, Pb, Cu et Hg. D'autres anomalies d'or existent dans cette région (e.g. échantillons 270 et 274). Nous croyons que l'ensemble constitue une cible d'exploration intéressante.

#### 5) REMERCIEMENTS

Le levé dont il est question dans ce dossier a été effectué dans le cadre du Plan de développement de l'Est du Québec. L'échantillonnage et la préparation des concentrés de minéraux lourds ont été exécutés par Le Groupe Conseil GÉOREX de Sherbrooke sous la direction de Michel Mercier. La firme Bondar-Clegg and Company Ltd. d'Ottawa a analysé les échantillons. Pierre Bédard a compilé les résultats analytiques et a produit plusieurs des tableaux que l'on retrouve dans le rapport. Jean veillette a lu le manuscrit et à apporté plusieurs suggestions intéressantes.

#### 6) RÉFÉRENCES

- Avramtchev, L  
 1984: Carte minérale des Appalaches du Québec (1/500 000); Ministère de l'Énergie et des Ressources, MB 85-24.
- Cattalani, S. et Williams-Jones, A.E.  
 1986: Geological and fluid inclusion studies at the St. Robert Ag, W, Bi deposit, Eastern Townships, Quebec; *dans Current Research, Part A, Geological Survey of Canada, Paper 86-1A*, 365-374.
- Lajoie, J.  
 1962: Rapport préliminaire sur la région de Chénier-Bédard, comté de Rimouski: Ministère des richesses naturelles, R.P. no. 493, 8p.
- 1971: Régions des lacs Prime et des Baies (comté de Rimouski); Ministère des richesses naturelles,

6 Pour le Bas Saint-Laurent, ces valeurs sont basées sur des limites de détection analytiques de 0,01 ppm pour les échantillons non dilués et de 0,1 ppm pour les échantillons dilués. En Estrie-Beauce, la limite de détection était de 0,01 ppm pour tous les échantillons. Donc, les deux pourcentages ne sont pas tout à fait comparables.

7 Résultats des levés de 1984 et 1985 (exclus ceux du levé de 1987) — voir Maurice, 1989.

- rapport géologique 139, 85 p., carte no. 1673.
- Lajoie, J., Héroux, Y., et Mathey, B.
- 1974: The Precambrian Shield and the Lower Paleozoic shelf: the unstable provenance of the Lower Paleozoic flysch sandstones and conglomerates of the Appalachians between Beaumont and Bic, Quebec; Canadian Journal of Earth Sciences, v. 11, p. 951 à 963.
- Maurice, Y.T.
- 1986a: Résultats et interprétation d'un levé géochimique de minéraux lourds, régions de l'Estrie et de la Beauce, Québec (21E/7, 9, 10, 11, 12, 13, 14, 15, 16; 21L/2, 3); Commission géologique du Canada, dossier public 1332.
- 1986b: Distribution and origin of alluvial gold in southwest Gaspésie, Quebec; *dans* Current Research, Part B, Geological Survey of Canada, Paper 86-1B, p. 785-795.
- 1987: On redécouvre les placers d'or de l'Estrie-Beauce; GEOS, vol. 16, no 4, p. 6-10.
- 1988a: Regional alluvial heavy mineral geochemistry as a prospecting method in glaciated Appalachian terrain: a case history from the southern Quebec placer-gold belt; *dans* D.R. MacDonald and K.A. Mills (editors) Prospecting in Areas of Glaciated Terrain 1988, Canadian Institute of Mining and Metallurgy, p. 185-203.
- 1988b: La géochimie des minéraux lourds: une aide à l'exploration minière en Estrie-Beauce; *dans* Cahier des conférences, ICM - 6e réunion du district no 2, p.1-15.
- 1989: Géochimie des minéraux lourds, région de l'Estrie-Beauce, Québec (SNRC 21L/4, 5, 6, 7); Commission géologique du Canada, dossier public 1918.
- Maurice, Y.T. et Mercier, M.
- 1985a: Méthode d'échantillonnage et résultats d'un levé géochimique de minéraux lourds en Estrie, Québec (21E/3, 4, 5, 6, 12); Commission géologique du Canada, Dossier Public 1145.
- 1985b: Procédures d'échantillonnage des minéraux lourds alluvionnaires au moyen de concentrateurs mécaniques; Ministère de l'Energie et des Ressources, DV 85-11, p. 151-158.
- 1986: A new approach to sampling heavy minerals for regional geochemical exploration; *dans* Current Research, Part A, Geological Survey of Canada, Paper 86-1A, p. 301-305.
- Rappol, M. et Russell, H.
- 1989: Glacial dispersal of Precambrian Shield and local Appalachian rocks in the Lower St. Lawrence region in western Gaspésie, Quebec, and in adjacent New Brunswick; in Current Research, Part B, Geological Survey of Canada, Paper 89-1B (Eastern and Atlantic Canada), p. 127-136.
- Schrijver, K. et Rhéaume, P.
- 1989: A proposed genetic model for epigenetic Ba-Pb-Zn occurrences not associated with igneous rocks, Taconic Thrust Belt, Quebec; in Current Research, Part B, Geological Survey of Canada, paper 89-1B(Eastern and Atlantic Canada), p. 29-37.

## APPENDICE A

### Répartition de numéros d'échantillons par coupure SNRC au 1/50 000

|           |        |           |        |           |        |
|-----------|--------|-----------|--------|-----------|--------|
| 001 à 004 | 21N/06 | 208 à 210 | 21N/16 | 501 à 508 | 21N/06 |
| 005       | 21N/07 | 211       | 21N/15 | 509 à 510 | 21N/11 |
| 006 à 015 | 21N/06 | 212 à 213 | 21N/10 | 511 à 515 | 21N/06 |
| 016 à 021 | 21N/07 | 214       | 21N/15 | 516 à 521 | 21N/07 |
| 022 à 036 | 21N/11 | 215       | 21N/10 | 522 à 536 | 21N/06 |
| 037       | 21N/06 | 216 à 219 | 21N/15 | 537 à 543 | 21N/11 |
| 038 à 050 | 21N/11 | 220 à 223 | 21N/10 | 544 à 565 | 21N/07 |
| 051 à 052 | 21N/06 | 224       | 21N/15 | 566       | 21N/11 |
| 053 à 062 | 21N/11 | 225 à 226 | 21N/10 | 567 à 569 | 21N/06 |
| 063 à 064 | 21N/07 | 227 à 230 | 21N/15 | 570 à 573 | 21N/11 |
| 065       | 21N/10 | 231       | 21N/10 | 574 à 581 | 21N/07 |
| 066       | 21N/07 | 232 à 243 | 21N/15 | 582 à 585 | 21N/10 |
| 067       | 21N/06 | 244 à 250 | 21N/16 | 586       | 21N/07 |
| 068       | 21N/10 | 251 à 258 | 21N/15 | 587 à 601 | 21N/10 |
| 069 à 072 | 21N/07 | 259 à 262 | 21N/16 | 602       | 21N/07 |
| 073       | 21N/10 | 263 à 279 | 22C/01 | 603 à 614 | 21N/10 |
| 074       | 21N/11 | 280 à 281 | 21N/16 | 615 à 634 | 21N/11 |
| 075 à 076 | 21N/06 | 282 à 287 | 22C/01 | 635 à 657 | 21N/10 |
| 077 à 078 | 21N/11 | 288       | 21N/16 | 658 à 659 | 21N/11 |
| 079 à 086 | 21N/10 | 289 à 314 | 22C/01 | 660 à 661 | 21N/07 |
| 087 à 089 | 21N/09 | 315 à 326 | 22C/02 | 662 à 673 | 21N/10 |
| 090       | 21N/10 | 327       | 22C/01 | 674 à 675 | 21N/11 |
| 091 à 099 | 21N/09 | 328 à 330 | 22C/02 | 676 à 716 | 21N/14 |
| 100 à 101 | 21N/10 | 331 à 332 | 22C/01 | 717 à 724 | 22C/03 |
| 102       | 21N/07 | 333       | 22C/02 | 725 à 779 | 21N/15 |
| 103 à 122 | 21N/11 | 334 à 336 | 22C/01 | 780 à 810 | 21N/16 |
| 123 à 124 | 21N/14 | 337 à 345 | 22C/02 | 811 à 814 | 22C/02 |
| 125 à 130 | 21N/11 | 346 à 361 | 22C/03 | 815       | 21N/15 |
| 131 à 183 | 21N/14 | 362 à 366 | 22C/02 | 816       | 22C/02 |
| 184 à 186 | 21N/09 | 367 à 368 | 22C/03 | 817       | 22C/01 |
| 187       | 21N/10 |           |        | 818 à 822 | 22C/02 |
| 188       | 21N/09 |           |        | 823 à 865 | 22C/01 |
| 189 à 191 | 21N/10 |           |        | 866 à 917 | 22C/02 |
| 192 à 194 | 21N/09 |           |        | 918 à 939 | 22C/03 |
| 195       | 21N/10 |           |        | 940 à 941 | 22C/02 |
| 196       | 21N/15 |           |        | 942       | 22C/03 |
| 197 à 201 | 21N/10 |           |        | 943 à 944 | 22C/02 |
| 202       | 21N/15 |           |        |           |        |
| 203 à 207 | 21N/09 |           |        |           |        |

## **APPENDICE B**

**Fiches de laboratoire**

| MASSES DES DIFFÉRENTES FRACTIONS DE MINÉRAUX LOURDS |           |            |            |            |       |           |
|---|-----------|------------|------------|------------|-------|-----------|
| ÉCHANTILLON N°                                      | MAGNETITE | RÉCIP. N°1 | RÉCIP. N°2 | + 0,850 mm | EXCÈS | REMARQUES |
| 0001  |           | 24,8       |            |            |       | ***0011   |
| 0002  | 9,0       | 9,4        | 10,4       | 7,0        |       |           |
| 0003  | < 0,1     | 0,2        | 0,1        | 14,9       |       |           |
| 0004  | 0,7       | 8,3        | 1,1        | 4,1        |       |           |
| 0005  | 0,7       | 5,2        | 0,5        | 2,2        |       |           |
| 0006  | 3,1       | 25,2       | 24,1       | 0,2        |       |           |
| 0007  | 0,7       | 5,0        | 0,1        | 3,3        |       |           |
| 0008  |           |            |            |            |       |           |
| 0009  | 1,3       | 3,6        | 0,5        | 1,5        |       |           |
| 0010  | 1,9       | 10,7       | 5,9        | 1,1        |       |           |
| 0011  | 44,9      | 24,1       | 50,2       | 0,4        |       |           |
| 0012  | 1,6       | 6,3        | 1,0        | 2,8        |       |           |
| 0013  | 2,6       | 10,5       | 3,3        | 0,7        |       |           |
| 0014  | 2,7       | 6,8        | 1,0        | 0,7        |       |           |
| 0015  | 0,7       | 2,6        | 0,5        | 1,4        |       |           |
| 0016  | < 0,1     | 8,1        | 1,0        | 0,7        |       |           |
| 0017  | 0,1       | 5,0        | 0,3        | 0,9        |       |           |
| 0018  | 2,0       | 5,1        | 0,3        | 2,2        |       |           |
| 0019  | 0,1       | 3,2        | 0,5        | 1,0        |       |           |
| 0020  | 0,1       | 2,8        | 0,6        | 1,7        |       |           |
| 0021  |           | 23,8       |            |            |       | ***0031   |
| 0022  | 4,7       | 12,3       | 12,5       | 2,6        |       |           |
| 0023  | 8,2       | 10,0       | 7,3        | 4,3        |       |           |
| 0024  | 3,1       | 10,0       | 3,5        | 0,6        |       |           |
| 0025  | 2,0       | 10,0       | 0,9        | 2,7        |       |           |
| 0026  | 1,1       | 5,8        | 1,0        | 0,9        |       |           |
| 0027  | 1,1       | 10,0       | 7,1        | 1,1        |       |           |
| 0028  |           |            |            |            |       |           |
| 0029  | 0,4       | 2,9        | 0,5        | 1,7        |       |           |
| 0030  | 1,3       | 6,0        | 1,0        | 6,3        |       |           |
| 0031  | 22,0      | 23,2       | 36,6       | 0,5        |       |           |

\*\*\* : DUPLICATAS

### : PARTICULES MÉTALLIQUES

| MASSES DES DIFFÉRENTES FRACTIONS DE MINÉRAUX LOURDS |           |            |            |            |       |           |
|---|-----------|------------|------------|------------|-------|-----------|
| ÉCHANTILLON N°                                      | MAGNETITE | RÉCIP. N°1 | RÉCIP. N°2 | + 0,850 mm | EXCÈS | REMARQUES |
| 0032  | 5,8       | 12,5       | 11,0       | 2,0        |       |           |
| 0033  | < 0,1     | 5,0        | 0,1        | 0,4        |       |           |
| 0034  | 0,2       | 7,2        | 1,0        | 0,5        |       |           |
| 0035  | 0,7       | 2,5        | 0,3        | 2,0        |       |           |
| 0036  | 10,1      | 30,0       | 26,4       | 1,0        |       |           |
| 0037  | 0,2       | 1,3        | 0,5        | 4,9        |       |           |
| 0038  | 0,1       | 7,0        | 1,0        | 1,6        |       |           |
| 0039  | < 0,1     | 11,0       | 8,7        | 0,4        |       |           |
| 0040  | 1,1       | 5,6        | 1,0        | 1,3        |       |           |
| 0041  |           | 10,2       |            |            |       | ***100-85 |
| 0042  | 0,5       | 5,9        | 1,0        | 1,2        |       |           |
| 0043  | < 0,1     | 10,0       | 3,3        | 1,7        |       |           |
| 0044  | < 0,1     | 1,0        | 0,1        | 5,3        |       |           |
| 0045  | < 0,1     | 2,8        | 0,5        | 1,0        |       |           |
| 0046  | < 0,1     | 3,0        | 0,5        | 0,7        |       |           |
| 0047  | 0,1       | 8,0        | 1,0        | 0,6        |       |           |
| 0048  | < 0,1     | 0,6        | 0,2        | 0,9        |       |           |
| 0049  |           |            |            |            |       |           |
| 0050  | < 0,1     | 14,4       | 13,1       | 1,8        |       |           |
| 0051  | 2,2       | 5,5        | 1,0        | 1,6        |       |           |
| 0052  | 5,8       | 15,7       | 15,0       | 1,0        |       |           |
| 0053  | 0,2       | 10,0       | 1,9        | 8,4        |       |           |
| 0054  | 3,5       | 10,5       | 9,8        | 0,9        |       |           |
| 0055  | 1,2       | 6,2        | 1,0        | 3,1        |       |           |
| 0056  | 0,2       | 3,3        | 0,5        | 4,1        |       |           |
| 0057  | 1,5       | 8,2        | 1,0        | 3,9        |       |           |
| 0058  | 4,5       | 14,2       | 12,8       | 3,1        |       |           |
| 0059  | 7,3       | 13,3       | 13,5       | 1,1        |       |           |
| 0060  | 0,9       | 10,0       | 0,2        | 2,2        |       |           |
| 0061  |           | 10,6       |            |            |       | ***0077   |
| 0062  | 0,9       | 10,0       | 7,7        | 0,8        |       |           |

\*\*\* : DUPLICATAS

## : PARTICULES MÉTALLIQUES

| MASSES DES DIFFÉRENTES FRACTIONS DE MINÉRAUX LOURDS |           |            |            |            |       |           |
|---|-----------|------------|------------|------------|-------|-----------|
| ÉCHANTILLON N°                                      | MAGNETITE | RÉCIP. N°1 | RÉCIP. N°2 | + 0,850 mm | EXCÈS | REMARQUES |
| 0063  | < 0,1     | 5,6        | 1,0        | 0,3        |       |           |
| 0064  | 0,7       | 4,3        | 0,6        | 1,0        |       |           |
| 0065  | 2,0       | 10,4       | 0,7        | 0,3        |       |           |
| 0066  | 0,5       | 11,2       | 2,1        | 0,7        |       |           |
| 0067  | 4,4       | 10,3       | 3,4        | 1,3        |       | ###       |
| 0068  | < 0,1     | 3,7        | 0,5        | 1,6        |       |           |
| 0069  | 1,0       | 2,7        | 0,2        | 2,7        |       |           |
| 0070  | 0,2       | 1,6        | 0,5        | 1,6        |       |           |
| 0071  | 0,5       | 2,5        | 0,5        | 1,1        |       |           |
| 0072  | 0,3       | 1,7        | 0,5        | 2,1        |       |           |
| 0073  | 1,2       | 7,3        | 0,7        | 1,6        |       |           |
| 0074  | < 0,1     | 4,1        | 0,5        | 3,2        |       |           |
| 0075  | 4,6       | 10,1       | 0,4        | 1,0        |       |           |
| 0076  |           |            |            |            |       |           |
| 0077  | 4,4       | 10,9       | 14,9       | 0,6        |       |           |
| 0078  | 5,6       | 11,2       | 8,9        | 2,9        |       |           |
| 0079  | 0,8       | 10,2       | 0,4        | 0,6        |       |           |
| 0080  | 2,8       | 11,6       | 0,2        | 0,4        |       |           |
| 0081  |           | 11,9       |            |            |       | ***0090   |
| 0082  | 0,1       | 5,4        | 0,5        | 0,8        |       |           |
| 0083  | 0,9       | 2,7        | 0,5        | 1,0        |       |           |
| 0084  | 0,1       | 4,0        | 0,5        | 0,2        |       |           |
| 0085  | < 0,1     | 2,5        | 0,0        | 0,7        |       |           |
| 0086  | 1,2       | 5,0        | 1,0        | 1,5        |       |           |
| 0087  | < 0,1     | 3,7        | 0,5        | 0,5        |       |           |
| 0088  | 0,1       | 1,0        | 0,1        | 1,5        |       |           |
| 0089  | < 0,1     | 1,6        | 0,5        | 2,6        |       |           |
| 0090  | 0,2       | 12,7       | 21,9       | 0,2        |       |           |
| 0091  | 0,1       | 5,2        | 0,3        | 0,3        |       |           |
| 0092  |           |            |            |            |       |           |
| 0093  | 10,4      | 17,3       | 12,3       | 0,8        |       |           |

\*\*\* : DUPLICATAS

### : PARTICULES MÉTALLIQUES

| MASSES DES DIFFÉRENTES FRACTIONS DE MINÉRAUX LOURDS |           |            |            |            |       |           |
|---|-----------|------------|------------|------------|-------|-----------|
| ÉCHANTILLON N°                                      | MAGNETITE | RÉCIP. N°1 | RÉCIP. N°2 | + 0,850 mm | EXCÈS | REMARQUES |
| 0094  | 1,2       | 5,2        | 0,2        | 0,6        |       |           |
| 0095  | 0,4       | 2,6        | 0,1        | 1,2        |       |           |
| 0096  | 0,2       | 8,5        | 0,4        | 0,2        |       |           |
| 0097  | 4,1       | 11,0       | 9,4        | 0,5        |       |           |
| 0098  | 0,1       | 0,8        | 0,1        | 0,9        |       |           |
| 0099  | 0,2       | 3,4        | 0,5        | 1,7        |       |           |
| 0100  | 0,1       | 5,5        | 1,0        | 0,6        |       |           |
| 0101  |           | 20,0       |            |            |       | ***0108   |
| 0102  | 0,5       | 3,3        | 0,5        | 2,7        |       |           |
| 0103  | 0,1       | 5,1        | 1,0        | 2,8        |       |           |
| 0104  | 0,1       | 0,3        | 0,1        | 2,5        |       |           |
| 0105  | 0,1       | 10,0       | 8,7        | 4,0        |       |           |
| 0106  | < 0,1     | 12,0       | 11,7       | 1,8        |       |           |
| 0107  | 1,6       | 10,0       | 2,5        | 3,8        |       |           |
| 0108  | 0,8       | 25,8       | 27,5       | 4,0        |       |           |
| 0109  | 0,6       | 6,4        | 1,0        | 4,4        |       |           |
| 0110  | 4,1       | 13,9       | 15,2       | 19,4       |       |           |
| 0111  | 1,9       | 33,3       | 30,9       | 3,6        |       |           |
| 0112  | 0,4       | 5,2        | 0,2        | 1,3        |       |           |
| 0113  |           |            |            |            |       |           |
| 0114  | 0,1       | 1,9        | 0,2        | 4,9        |       |           |
| 0115  | < 0,1     | 10,0       | 0,2        | 2,2        |       |           |
| 0116  | 0,4       | 8,6        | 1,0        | 1,4        |       |           |
| 0117  | 0,2       | 11,0       | 11,5       | 0,9        |       |           |
| 0118  | 0,2       | 3,4        | 0,5        | 1,5        |       |           |
| 0119  | 0,3       | 1,1        | 0,1        | 1,9        |       |           |
| 0120  | 0,8       | 14,0       | 15,1       | 1,7        |       |           |
| 0121  |           | 10,9       |            |            |       | ***0129   |
| 0122  | 1,7       | 10,0       | 0,3        | 1,0        |       |           |
| 0123  | 1,1       | 10,4       | 1,7        | 0,3        |       |           |
| 0124  | 1,9       | 10,2       | 0,8        | 2,5        |       |           |

\*\*\* : DUPLICATAS

# #: : PARTICULES MÉTALLIQUES

| MASSES DES DIFFÉRENTES FRACTIONS DE MINÉRAUX LOURDS |           |            |            |            |       |           |
|---|-----------|------------|------------|------------|-------|-----------|
| ÉCHANTILLON N°                                      | MAGNETITE | RÉCIP. N°1 | RÉCIP. N°2 | + 0,850 mm | EXCÈS | REMARQUES |
| 0125  | 0,4       | 12,8       | 4,6        | 0,9        |       |           |
| 0126  | 0,3       | 5,3        | 0,5        | 2,0        |       |           |
| 0127  | 0,5       | 2,5        | 0,0        | 1,6        |       |           |
| 0128  | < 0,1     | 8,6        | 1,0        | 0,7        |       |           |
| 0129  | 12,0      | 10,6       | 24,5       | 3,4        |       |           |
| 0130  |           |            |            |            |       |           |
| 0131  | 0,1       | 0,5        | 0,1        | 2,2        |       |           |
| 0132  | < 0,1     | 1,2        | 0,1        | 1,2        |       |           |
| 0133  | 1,7       | 10,0       | 0,3        | 1,4        |       |           |
| 0134  | 0,3       | 15,5       | 16,4       | 1,5        |       |           |
| 0135  | 0,2       | 12,7       | 13,2       | 1,3        |       |           |
| 0136  | < 0,1     | 1,4        | 0,1        | 2,1        |       |           |
| 0137  | < 0,1     | 1,8        | 0,5        | 1,2        |       |           |
| 0138  | 0,3       | 5,1        | 1,0        | 2,5        |       |           |
| 0139  | 0,2       | 3,2        | 0,5        | 2,2        |       |           |
| 0140  | 0,1       | 6,5        | 1,0        | 1,4        |       |           |
| 0141  |           | 14,6       |            |            |       | ***0157   |
| 0142  | < 0,1     | 0,9        | 0,1        | 6,6        |       |           |
| 0143  | 0,9       | 4,4        | 0,5        | 1,6        |       |           |
| 0144  | < 0,1     | 3,9        | 0,5        | 4,0        |       |           |
| 0145  | 0,1       | 5,4        | 0,4        | 4,1        |       |           |
| 0146  | < 0,1     | 2,9        | 0,5        | 4,3        |       |           |
| 0147  | 2,2       | 6,4        | 1,0        | 2,9        |       |           |
| 0148  | 0,9       | 5,6        | 1,0        | 1,9        |       |           |
| 0149  | 0,3       | 4,0        | 0,5        | 1,3        |       |           |
| 0150  | 0,3       | 10,0       | 0,7        | 1,9        |       | ###       |
| 0151  | 0,5       | 6,5        | 1,0        | 2,8        |       |           |
| 0152  | 0,1       | 1,2        | 0,1        | 3,9        |       |           |
| 0153  |           |            |            |            |       |           |
| 0154  | 0,3       | 1,7        | 0,2        | 2,0        |       |           |
| 0155  | < 0,1     | 1,5        | 0,2        | 2,1        |       |           |

\*\*\* : DUPLICATAS

### : PARTICULES MÉTALLIQUES

| ÉCHANTILLON N° | MASSES DES DIFFÉRENTES FRACTIONS DE MINÉRAUX LOURDS |            |            |            |       |           |
|----------------|---|------------|------------|------------|-------|-----------|
|                | MAGNETITE   | RÉCIP. N°1 | RÉCIP. N°2 | + 0,850 mm | EXCÈS | REMARQUES |
| 0156           | 1,0   | 2,8        | 0,5        | 1,8        |       |           |
| 0157           | 6,9   | 13,4       | 29,3       | 10,2       |       |           |
| 0158           | 0,4   | 15,5       | 16,9       | 1,1        |       |           |
| 0159           | 0,3   | 6,1        | 1,0        | 2,5        |       |           |
| 0160           | 0,7   | 10,0       | 6,4        | 4,3        |       |           |
| 0161           |   | 35,5       |            |            |       | ***0179   |
| 0162           | 10,8  | 54,0       | 61,3       | 1,1        |       |           |
| 0163           | 0,2   | 3,9        | 0,5        | 13,7       |       |           |
| 0164           | 1,0   | 26,9       | 31,1       | 11,7       |       |           |
| 0165           | 0,3   | 2,9        | 0,5        | 1,4        |       |           |
| 0166           | 8,0   | 28,0       | 30,3       | 3,1        |       |           |
| 0167           |   |            |            |            |       |           |
| 0168           | 5,7   | 22,4       | 25,2       | 3,9        |       |           |
| 0169           | 16,6  | 24,2       | 28,0       | 9,6        |       |           |
| 0170           | 16,0  | 55,1       | 58,4       | 1,9        |       |           |
| 0171           | 11,3  | 30,2       | 33,8       | 4,0        |       |           |
| 0172           | 5,8   | 10,0       | 6,0        | 1,1        |       |           |
| 0173           | 25,0  | 40,7       | 46,2       | 1,1        |       |           |
| 0174           | 0,3   | 18,8       | 19,3       | 1,1        |       |           |
| 0175           | 0,2   | 2,0        | 0,1        | 1,4        |       |           |
| 0176           | 2,4   | 10,0       | 10,6       | 2,8        |       |           |
| 0177           | 0,6   | 5,9        | 1,0        | 1,4        |       |           |
| 0178           | 1,1   | 16,7       | 18,3       | 2,1        |       |           |
| 0179           | 4,1   | 33,7       | 78,0       | 3,7        |       |           |
| 0180           | 1,8   | 15,7       | 18,5       | 4,1        |       |           |
| 0181           |   | 45,5       |            |            |       | ***0183   |
| 0182           | 0,6   | 9,3        | 0,4        | 2,3        |       |           |
| 0183           | 21,6  | 48,9       | 102,3      | 1,0        | 34,9  |           |
| 0184           | 7,2   | 11,3       | 12,1       | 2,4        |       |           |
| 0185           | 1,7   | 3,3        | 0,5        | 2,0        |       |           |
| 0186           | 0,5   | 7,1        | 1,0        | 2,4        |       |           |

\*\*\* : DUPLICATAS

# #: : PARTICULES MÉTALLIQUES

| MASSES DES DIFFÉRENTES FRACTIONS DE MINÉRAUX LOURDS |           |            |            |            |       |           |
|---|-----------|------------|------------|------------|-------|-----------|
| ÉCHANTILLON N°                                      | MAGNETITE | RÉCIP. N°1 | RÉCIP. N°2 | + 0.850 mm | EXCÈS | REMARQUES |
| 0187  | 1,3       | 10,0       | 3,6        | 2,7        |       |           |
| 0188  | 1,5       | 7,5        | 1,0        | 1,6        |       |           |
| 0189  | 0,9       | 1,8        | 0,5        | 2,8        |       |           |
| 0190  |           |            |            |            |       |           |
| 0191  | 23,6      | 32,7       | 29,6       | 5,5        |       |           |
| 0192  | 1,1       | 3,5        | 0,5        | 1,2        |       |           |
| 0193  | 0,5       | 3,2        | 0,5        | 1,5        |       |           |
| 0194  | 3,1       | 8,2        | 1,0        | 2,8        |       |           |
| 0195  | 7,2       | 18,4       | 20,3       | 1,4        |       |           |
| 0196  | 1,1       | 5,6        | 0,3        | 1,3        |       |           |
| 0197  | 0,5       | 6,6        | 1,0        | 0,8        |       |           |
| 0198  | 1,5       | 3,1        | 0,5        | 4,3        |       |           |
| 0199  | 0,4       | 6,7        | 1,0        | 0,9        |       |           |
| 0200  | 1,9       | 6,1        | 1,0        | 2,6        |       |           |
| 0201  |           | 10,8       |            |            |       | ***100-85 |
| 0202  | 1,6       | 4,1        | 0,6        | 3,4        |       |           |
| 0203  | 2,1       | 6,2        | 1,0        | 3,3        |       |           |
| 0204  | 2,7       | 10,6       | 9,7        | 2,4        |       |           |
| 0205  | 0,7       | 11,1       | 1,8        | 1,5        |       |           |
| 0206  | 0,8       | 3,6        | 0,5        | 2,1        |       |           |
| 0207  | 0,6       | 3,1        | 0,5        | 2,4        |       |           |
| 0208  | 0,2       | 1,6        | 0,5        | 4,4        |       |           |
| 0209  |           |            |            |            |       |           |
| 0210  | 0,1       | 2,7        | 0,5        | 3,3        |       |           |
| 0211  | < 0,1     | 0,3        | 0,1        | 5,5        |       |           |
| 0212  | 0,5       | 2,9        | 0,5        | 1,8        |       |           |
| 0213  | 2,0       | 8,2        | 1,0        | 3,3        |       |           |
| 0214  | 0,4       | 6,1        | 1,1        | 3,1        |       |           |
| 0215  | 1,5       | 5,7        | 1,0        | 1,3        |       |           |
| 0216  | 1,2       | 5,0        | 0,0        | 1,9        |       |           |
| 0217  | 4,9       | 10,0       | 0,5        | 4,7        |       |           |

\*\*\* : DUPLICATAS

### : PARTICULES MÉTALLIQUES

| MASSES DES DIFFÉRENTES FRACTIONS DE MINÉRAUX LOURDS |           |            |            |            |       |           |
|---|-----------|------------|------------|------------|-------|-----------|
| ÉCHANTILLON N°                                      | MAGNETITE | RÉCIP. N°1 | RÉCIP. N°2 | + 0,850 mm | EXCÈS | REMARQUES |
| 0218  | 5,2       | 10,2       | 3,8        | 3,7        |       |           |
| 0219  | 3,4       | 11,9       | 3,8        | 4,0        |       |           |
| 0220  | 0,3       | 10,2       | 4,0        | 1,6        |       |           |
| 0221  |           | 17,3       |            |            |       | ***0233   |
| 0222  | 1,1       | 7,9        | 1,0        | 1,1        |       |           |
| 0223  | 0,7       | 2,7        | 0,5        | 3,1        |       |           |
| 0224  | 1,4       | 8,8        | 1,0        | 1,7        |       |           |
| 0225  | 0,4       | 1,6        | 0,1        | 1,6        |       |           |
| 0226  |           |            |            |            |       |           |
| 0227  | 1,0       | 2,5        | 0,2        | 1,5        |       |           |
| 0228  | 1,1       | 5,4        | 1,0        | 3,5        |       |           |
| 0229  | < 0,1     | 0,5        | 0,1        | 4,1        |       |           |
| 0230  | 0,3       | 4,3        | 0,6        | 1,4        |       |           |
| 0231  | 0,1       | 5,0        | 1,0        | 1,5        |       |           |
| 0232  | 0,2       | 1,8        | 0,1        | 3,9        |       |           |
| 0233  | 7,1       | 18,7       | 31,5       | 2,3        |       |           |
| 0234  | < 0,1     | 1,8        | 0,5        | 2,6        |       |           |
| 0235  | 3,4       | 10,3       | 1,6        | 1,7        |       |           |
| 0236  | 0,1       | 2,6        | 0,6        | 1,1        |       |           |
| 0237  | 1,4       | 5,2        | 1,1        | 1,2        |       |           |
| 0238  | 0,1       | 0,3        | 0,1        | 7,7        |       |           |
| 0239  | 0,1       | 2,5        | 0,5        | 1,4        |       |           |
| 0240  | 2,6       | 5,2        | 0,5        | 1,9        |       |           |
| 0241  |           | 10,2       |            |            |       | ***0257   |
| 0242  | 4,3       | 10,0       | 2,9        | 3,2        |       |           |
| 0243  | 1,3       | 10,2       | 0,2        | 2,1        |       |           |
| 0244  | 3,5       | 10,2       | 6,0        | 1,1        |       |           |
| 0245  | 0,7       | 2,6        | 0,2        | 1,5        |       |           |
| 0246  | 0,7       | 10,1       | 0,3        | 1,3        |       |           |
| 0247  | 0,6       | 5,1        | 0,7        | 0,8        |       |           |
| 0248  | < 0,1     | 5,2        | 0,2        | 1,0        |       |           |

\*\*\* : DUPLICATAS

### : PARTICULES MÉTALLIQUES

| ÉCHANTILLON N° | MASSES DES DIFFÉRENTES FRACTIONS DE MINÉRAUX LOURDS |            |            |            |       |           |
|----------------|---|------------|------------|------------|-------|-----------|
|                | MAGNETITE   | RÉCIP. N°1 | RÉCIP. N°2 | + 0,850 mm | EXCÈS | REMARQUES |
| 0249           | 0,2   | 1,9        | 0,5        | 1,8        |       |           |
| 0250           | 2,2   | 13,1       | 13,5       | 1,1        |       |           |
| 0251           | < 0,1   | 5,4        | 1,0        | 1,2        |       |           |
| 0252           |   |            |            |            |       |           |
| 0253           | 0,2   | 10,0       | 0,2        | 2,1        |       |           |
| 0254           | 2,2   | 5,5        | 1,0        | 3,9        |       |           |
| 0255           | 2,3   | 6,2        | 1,1        | 2,3        |       |           |
| 0256           | 0,7   | 3,9        | 0,5        | 1,5        |       |           |
| 0257           | 8,2   | 10,4       | 20,7       | 2,7        |       |           |
| 0258           | 1,0   | 2,8        | 0,1        | 1,8        |       |           |
| 0259           | 0,9   | 5,2        | 0,2        | 2,3        |       |           |
| 0260           | 5,3   | 10,5       | 10,2       | 1,0        |       |           |
| 0261           |   | 10,1       |            |            |       | ***100-85 |
| 0262           | 0,4   | 5,1        | 0,2        | 2,2        |       |           |
| 0263           | 0,5   | 10,0       | 10,2       | 2,4        |       |           |
| 0264           | < 0,1   | 1,0        | 0,1        | 5,9        |       |           |
| 0265           | 0,3   | 1,8        | 0,5        | 1,1        |       |           |
| 0266           | 0,2   | 1,9        | 0,5        | 1,7        |       |           |
| 0267           | 2,6   | 10,0       | 0,3        | 1,4        |       |           |
| 0268           | < 0,1   | 0,2        | 0,1        | 11,1       |       |           |
| 0269           | 0,1   | 1,8        | 0,2        | 2,0        |       |           |
| 0270           | 3,0   | 10,2       | 1,3        | 9,5        |       |           |
| 0271           | 0,2   | 1,7        | 0,5        | 1,1        |       |           |
| 0272           | 0,5   | 3,2        | 0,5        | 1,2        |       |           |
| 0273           | < 0,1   | 0,2        | 0,1        | 4,4        |       |           |
| 0274           | < 0,1   | 7,1        | 1,1        | 1,2        |       |           |
| 0275           |   |            |            |            |       |           |
| 0276           | 2,5   | 15,8       | 16,6       | 1,5        |       |           |
| 0277           | 6,7   | 14,1       | 13,8       | 2,3        |       |           |
| 0278           | 1,0   | 3,9        | 0,5        | 1,2        |       |           |
| 0279           | 0,4   | 3,0        | 0,5        | 3,0        |       |           |

\*\*\* : DUPLICATAS

### : PARTICULES MÉTALLIQUES

| ÉCHANTILLON N° | MASSES DES DIFFÉRENTES FRACTIONS DE MINÉRAUX LOURDS |            |            |            |       |           |
|----------------|---|------------|------------|------------|-------|-----------|
|                | MAGNETITE   | RÉCIP. N°1 | RÉCIP. N°2 | + 0,850 mm | EXCÈS | REMARQUES |
| 0280           | 2,9   | 10,1       | 0,7        | 1,0        |       |           |
| 0281           |   | 10,1       |            |            |       | ***0290   |
| 0282           | 0,2   | 0,7        | 0,1        | 4,5        |       |           |
| 0283           | 0,2   | 0,7        | 0,1        | 4,8        |       |           |
| 0284           | 5,6   | 13,7       | 14,3       | 3,5        |       |           |
| 0285           | 0,8   | 3,7        | 0,5        | 1,8        |       |           |
| 0286           | 1,8   | 16,2       | 16,2       | 2,3        |       |           |
| 0287           | 0,2   | 1,7        | 0,1        | 3,2        |       |           |
| 0288           | < 0,1   | 0,3        | 0,1        | 6,2        |       |           |
| 0289           | 4,7   | 5,2        | 0,1        | 2,6        |       |           |
| 0290           | 7,0   | 10,5       | 20,1       | 2,3        |       |           |
| 0291           | 0,5   | 2,6        | 0,1        | 3,8        |       |           |
| 0292           | < 0,1   | 1,8        | 0,5        | 4,8        |       |           |
| 0293           | < 0,1   | 0,7        | 0,1        | 4,7        |       |           |
| 0294           | 0,1   | 0,9        | 0,1        | 8,1        |       |           |
| 0295           | < 0,1   | 1,1        | 0,1        | 5,2        |       |           |
| 0296           | 0,1   | 1,2        | 0,1        | 7,3        |       |           |
| 0297           | < 0,1   | 0,1        | 0,1        | 4,4        |       |           |
| 0298           | 0,1   | 0,1        | 0,1        | 4,2        |       |           |
| 0299           |   |            |            |            |       |           |
| 0300           | 0,2   | 1,1        | 0,2        | 5,2        |       |           |
| 0301           |   | 10,6       |            |            |       | ***100-85 |
| 0302           | 0,2   | 0,9        | 0,2        | 12,0       |       |           |
| 0303           |   |            |            |            |       |           |
| 0304           | 0,6   | 6,7        | 1,1        | 1,3        |       |           |
| 0305           | 0,8   | 2,6        | 0,1        | 2,4        |       |           |
| 0306           | 0,1   | 0,6        | 0,1        | 4,2        |       |           |
| 0307           | 2,4   | 6,6        | 1,0        | 3,6        |       |           |
| 0308           | 0,8   | 6,4        | 1,0        | 1,4        |       |           |
| 0309           | < 0,1   | 0,1        | 0,1        | 2,0        |       |           |
| 0310           | 0,4   | 1,3        | 0,1        | 4,7        |       |           |

\*\*\* : DUPLICATAS

## : PARTICULES MÉTALLIQUES

| MASSES DES DIFFÉRENTES FRACTIONS DE MINÉRALIX LOURDS |            |            |            |            |       |           |
|--|------------|------------|------------|------------|-------|-----------|
| ÉCHANTILLON N°                                       | MAGNETITIE | RÉCIP. N°1 | RÉCIP. N°2 | + 0,850 mm | EXCÈS | REMARQUES |
| 0311   | 1,6        | 7,4        | 1,0        | 2,7        |       |           |
| 0312   | 0,1        | 0,3        | 0,1        | 2,7        |       |           |
| 0313   | < 0,1      | 0,7        | 0,2        | 1,9        |       |           |
| 0314   | < 0,1      | 0,2        | 0,1        | 5,9        |       |           |
| 0315   | 5,7        | 10,0       | 5,0        | 4,5        |       |           |
| 0316   | 0,2        | 0,6        | 0,1        | 2,3        |       | ###       |
| 0317   | 0,6        | 3,1        | 0,5        | 2,2        |       |           |
| 0318   | < 0,1      | 1,6        | 0,1        | 2,1        |       |           |
| 0319   | 0,8        | 2,7        | 0,5        | 1,0        |       |           |
| 0320   | 0,9        | 2,5        | 0,0        | 2,6        |       |           |
| 0321   |            | 10,7       |            |            |       | ***100-85 |
| 0322   | < 0,1      | 1,7        | 0,5        | 0,8        |       |           |
| 0323   | 0,1        | 0,9        | 0,1        | 1,7        |       |           |
| 0324   | < 0,1      | 1,6        | 0,1        | 1,3        |       |           |
| 0325   | 0,1        | 3,3        | 0,2        | 3,6        |       |           |
| 0326   | 0,1        | 1,8        | 0,5        | 1,8        |       |           |
| 0327   | 2,7        | 10,0       | 8,3        | 2,6        |       |           |
| 0328   | < 0,1      | 0,1        | 0,1        | 1,3        |       |           |
| 0329   | 0,8        | 1,9        | 0,5        | 3,0        |       | ###       |
| 0330   | 0,7        | 5,1        | 0,1        | 0,9        |       |           |
| 0331   | < 0,1      | 5,0        | 1,0        | 1,6        |       |           |
| 0332   |            |            |            |            |       |           |
| 0333   | 0,7        | 3,0        | 0,3        | 1,0        |       |           |
| 0334   | 0,1        | 6,4        | 1,1        | 1,4        |       |           |
| 0335   | 1,6        | 8,5        | 1,0        | 1,7        |       |           |
| 0336   | 1,9        | 6,0        | 1,0        | 1,6        |       |           |
| 0337   | 0,1        | 1,5        | 0,2        | 0,3        |       |           |
| 0338   | 0,4        | 0,8        | 0,1        | 1,9        |       |           |
| 0339   | < 0,1      | 2,6        | 0,1        | 1,1        |       |           |
| 0340   | 0,1        | 0,8        | 0,1        | 2,5        |       |           |
| 0341   |            | 28,6       |            |            |       | ***0346   |

\*\*\* : DUPLICATAS

### : PARTICULES MÉTALLIQUES

## MASSES DES DIFFÉRENTES FRACTIONS DE MINÉRAUX LOURDS

\*\*\* : DUPLICATAS

## ### : PARTICULES MÉTALLIQUES

| MASSES DES DIFFÉRENTES FRACTIONS DE MINÉRAUX LOURDS |           |            |            |            |       |           |
|---|-----------|------------|------------|------------|-------|-----------|
| ÉCHANTILLON N°                                      | MAGNETITE | RÉCIP. N°1 | RÉCIP. N°2 | + 0,850 mm | EXCÈS | REMARQUES |
| 0501  |           | 38,2       |            |            |       | ***0502   |
| 0502  | 23,5      | 37,2       | 86,8       | 0,9        |       |           |
| 0503  | < 0,1     | 0,1        | 0,1        | 0,9        |       |           |
| 0504  | 0,4       | 2,9        | 0,5        | 3,8        |       |           |
| 0505  | 0,4       | 2,5        | 0,0        | 1,7        |       |           |
| 0506  | 10,4      | 15,7       | 16,4       | 2,9        |       |           |
| 0507  | 5,3       | 10,0       | 4,0        | 4,7        |       |           |
| 0508  | 3,6       | 10,6       | 11,1       | 1,0        |       |           |
| 0509  | 2,6       | 8,3        | 1,1        | 0,8        |       |           |
| 0510  | < 0,1     | 1,8        | 0,5        | 4,3        |       |           |
| 0511  | 2,2       | 15,5       | 0,4        | 1,4        |       |           |
| 0512  |           |            |            |            |       |           |
| 0513  | 2,9       | 9,6        | 3,3        | 1,0        |       |           |
| 0514  | 4,6       | 26,4       | 29,2       | 0,8        |       |           |
| 0515  | 0,4       | 5,6        | 0,2        | 2,6        |       |           |
| 0516  | 0,8       | 6,2        | 1,0        | 1,0        |       |           |
| 0517  | 0,3       | 10,2       | 8,2        | 0,4        |       |           |
| 0518  | < 0,1     | 0,9        | 0,1        | 3,2        |       |           |
| 0519  | 1,1       | 3,9        | 0,5        | 0,7        |       |           |
| 0520  | 1,3       | 6,8        | 1,0        | 0,4        |       |           |
| 0521  |           | 25,4       |            |            |       | ***0531   |
| 0522  | 1,5       | 2,5        | 0,5        | 1,2        |       |           |
| 0523  | 1,0       | 5,6        | 1,0        | 2,5        |       |           |
| 0524  | 3,8       | 10,3       | 3,2        | 3,1        |       |           |
| 0525  |           |            |            |            |       |           |
| 0526  | 1,3       | 10,5       | 3,3        | 0,9        |       |           |
| 0527  | 3,1       | 10,0       | 6,7        | 2,6        |       |           |
| 0528  | 5,2       | 10,0       | 6,8        | 2,1        |       |           |
| 0529  | 2,2       | 5,2        | 1,0        | 1,4        |       |           |
| 0530  | 3,4       | 10,2       | 3,1        | 2,6        |       |           |
| 0531  | 21,8      | 23,6       | 51,6       | 0,3        |       |           |

\*\*\* : DUPLICATAS

### : PARTICULES MÉTALLIQUES

| MASSES DES DIFFÉRENTES FRACTIONS DE MINÉRAUX LOURDS |            |            |            |            |       |           |
|---|------------|------------|------------|------------|-------|-----------|
| ÉCHANTILLON N°                                      | MAGNETITIE | RÉCIP. N°1 | RÉCIP. N°2 | + 0,850 mm | EXCÈS | REMARQUES |
| 0532  | 0,1        | 5,2        | 0,3        | 4,3        |       |           |
| 0533  | 0,3        | 6,2        | 1,0        | 2,2        |       |           |
| 0534  | < 0,1      | 10,3       | 11,6       | 2,2        |       |           |
| 0535  | 3,7        | 10,2       | 8,5        | 4,4        |       |           |
| 0536  | 3,6        | 11,2       | 3,7        | 1,8        |       |           |
| 0537  | 0,1        | 10,7       | 5,3        | 0,9        |       |           |
| 0538  | 4,0        | 11,0       | 1,4        | 1,5        |       |           |
| 0539  | 3,5        | 11,1       | 3,6        | 1,9        |       |           |
| 0540  | 4,4        | 10,0       | 3,4        | 1,2        |       |           |
| 0541  |            | 10,1       |            |            |       | ***100-85 |
| 0542  | 1,0        | 3,6        | 0,5        | 1,2        |       |           |
| 0543  | 3,9        | 10,3       | 3,9        | 1,8        |       |           |
| 0544  | 0,5        | 8,3        | 0,2        | 0,9        |       |           |
| 0545  | 2,4        | 10,0       | 1,6        | 1,4        |       |           |
| 0546  | 0,5        | 2,7        | 0,6        | 0,9        |       |           |
| 0547  |            |            |            |            |       |           |
| 0548  | 0,4        | 10,1       | 0,9        | 0,9        |       |           |
| 0549  | 0,3        | 3,7        | 0,5        | 1,5        |       |           |
| 0550  | 2,0        | 5,2        | 1,0        | 1,7        |       |           |
| 0551  | 1,4        | 5,4        | 1,0        | 2,0        |       |           |
| 0552  | 3,7        | 10,0       | 1,1        | 1,3        |       |           |
| 0553  | 1,3        | 10,1       | 5,8        | 1,7        |       |           |
| 0554  | 0,6        | 5,6        | 1,0        | 1,5        |       |           |
| 0555  | < 0,1      | 4,3        | 0,5        | 2,6        |       |           |
| 0556  | 0,2        | 3,9        | 0,5        | 1,2        |       |           |
| 0557  | 0,3        | 5,6        | 0,2        | 1,5        |       |           |
| 0558  | 0,1        | 1,6        | 0,1        | 3,8        |       |           |
| 0559  | 0,2        | 5,1        | 0,1        | 2,0        |       |           |
| 0560  | 0,6        | 3,5        | 0,5        | 2,8        |       |           |
| 0561  |            | 24,7       |            |            |       | ***0567   |
| 0562  | 0,1        | 2,6        | 0,5        | 7,5        |       |           |

\*\*\* : DUPLICATAS

## : PARTICULES MÉTALLIQUES

| MASSES DES DIFFÉRENTES FRACTIONS DE MINÉRAUX LOURDS |           |            |            |            |       |           |
|---|-----------|------------|------------|------------|-------|-----------|
| ÉCHANTILLON N°                                      | MAGNETITE | RÉCIP. N°1 | RÉCIP. N°2 | + 0,850 mm | EXCÈS | REMARQUES |
| 0563  | 1,9       | 9,6        | 0,4        | 1,7        |       |           |
| 0564  | 0,5       | 1,8        | 0,1        | 1,3        |       |           |
| 0565  | 0,5       | 2,6        | 0,1        | 4,1        |       |           |
| 0566  | 0,6       | 5,3        | 0,2        | 1,1        |       |           |
| 0567  | 4,1       | 23,3       | 45,5       | 7,6        |       |           |
| 0568  | 0,2       | 4,1        | 0,5        | 1,4        |       |           |
| 0569  | < 0,1     | 10,0       | 2,1        | 1,1        |       |           |
| 0570  | < 0,1     | 11,2       | 3,0        | 0,3        |       |           |
| 0571  | 0,2       | 5,7        | 1,0        | 0,8        |       |           |
| 0572  |           |            |            |            |       |           |
| 0573  | 0,1       | 13,6       | 14,1       | 0,9        |       |           |
| 0574  | 0,5       | 2,5        | 0,1        | 3,5        |       |           |
| 0575  | 0,4       | 5,3        | 0,2        | 1,0        |       |           |
| 0576  | 0,4       | 6,8        | 1,0        | 1,9        |       |           |
| 0577  | 1,5       | 19,4       | 20,2       | 1,4        |       |           |
| 0578  | 0,2       | 7,4        | 0,4        | 0,7        |       |           |
| 0579  | 0,1       | 1,2        | 0,1        | 1,1        |       |           |
| 0580  | 1,0       | 4,1        | 0,6        | 1,4        |       |           |
| 0581  |           | 24,7       |            |            |       | ***0583   |
| 0582  | 4,9       | 20,2       | 16,2       | 0,5        |       |           |
| 0583  | 6,3       | 28,1       | 45,6       | 0,4        |       |           |
| 0584  | 6,4       | 20,8       | 21,0       | 3,5        |       |           |
| 0585  | 0,7       | 10,8       | 3,7        | 1,9        |       |           |
| 0586  | 6,6       | 31,9       | 36,3       | 0,8        |       |           |
| 0587  | < 0,1     | 1,7        | 0,5        | 0,6        |       |           |
| 0588  | 0,4       | 3,1        | 0,5        | 1,6        |       |           |
| 0589  | < 0,1     | 1,7        | 0,5        | 3,2        |       |           |
| 0590  |           |            |            |            |       |           |
| 0591  | 0,1       | 2,5        | 0,0        | 1,4        |       |           |
| 0592  | 2,3       | 10,5       | 7,9        | 1,0        |       |           |
| 0593  | 0,1       | 3,2        | 0,5        | 0,2        |       |           |

\*\*\* : DUPLICATAS

### : PARTICULES MÉTALLIQUES

| MASSES DES DIFFÉRENTES FRACTIONS DE MINÉRAUX LOURDS |           |            |            |            |       |           |
|---|-----------|------------|------------|------------|-------|-----------|
| ÉCHANTILLON N°                                      | MAGNETITE | RÉCIP. N°1 | RÉCIP. N°2 | + 0,850 mm | EXCÈS | REMARQUES |
| 0594  | < 0,1     | 1,8        | 0,5        | 2,0        |       |           |
| 0595  | 0,8       | 3,1        | 0,5        | 0,7        |       |           |
| 0596  | 0,1       | 1,5        | 0,1        | 1,8        |       |           |
| 0597  | 0,3       | 8,4        | 1,1        | 1,7        |       |           |
| 0598  | 0,2       | 1,0        | 0,1        | 1,8        |       |           |
| 0599  | 1,5       | 7,7        | 0,3        | 2,7        |       |           |
| 0600  | < 0,1     | 1,1        | 0,1        | 1,3        |       |           |
| 0601  |           | 10,3       |            |            |       | ***100-85 |
| 0602  | 0,2       | 5,6        | 1,0        | 1,5        |       |           |
| 0603  | 1,8       | 10,2       | 8,8        | 0,7        |       |           |
| 0604  | 0,5       | 1,4        | 0,1        | 1,1        |       |           |
| 0605  | 2,1       | 5,2        | 0,1        | 1,3        |       |           |
| 0606  | 0,8       | 21,3       | 19,3       | 0,3        |       |           |
| 0607  | < 0,1     | 8,0        | 0,3        | 0,2        |       |           |
| 0608  | 0,1       | 10,0       | 0,3        | 0,3        |       |           |
| 0609  | 0,2       | 2,8        | 0,5        | 2,1        |       |           |
| 0610  | 0,7       | 5,5        | 0,1        | 1,8        |       |           |
| 0611  | 0,1       | 4,0        | 0,5        | 1,7        |       |           |
| 0612  | < 0,1     | 10,0       | 2,9        | 0,5        |       |           |
| 0613  | 0,7       | 10,0       | 4,1        | 0,9        |       |           |
| 0614  |           |            |            |            |       |           |
| 0615  | 1,3       | 10,0       | 6,8        | 1,5        |       |           |
| 0616  | 3,1       | 8,7        | 1,1        | 1,6        |       | ###       |
| 0617  | 6,4       | 10,3       | 7,8        | 1,3        |       |           |
| 0618  | 3,0       | 8,4        | 1,0        | 1,2        |       |           |
| 0619  | 3,2       | 10,6       | 5,7        | 1,2        |       |           |
| 0620  | 4,5       | 10,0       | 2,0        | 1,9        |       |           |
| 0621  |           | 27,1       |            |            |       | ***0637   |
| 0622  | < 0,1     | 11,0       | 1,5        | 0,3        |       |           |
| 0623  | 0,3       | 10,0       | 2,2        | 0,6        |       |           |
| 0624  |           |            |            |            |       |           |

\*\*\* : DUPLICATAS

#: PARTICULES MÉTALLIQUES

| MASSES DES DIFFÉRENTES FRACTIONS DE MINÉRAUX LOURDS |           |            |            |            |       |           |
|---|-----------|------------|------------|------------|-------|-----------|
| ÉCHANTILLON N°                                      | MAGNETITE | RÉCIP. N°1 | RÉCIP. N°2 | + 0,850 mm | EXCÈS | REMARQUES |
| 0625  | 0,3       | 10,4       | 4,0        | 0,8        |       |           |
| 0626  | 14,0      | 23,1       | 18,1       | 2,3        |       |           |
| 0627  | 0,1       | 1,3        | 0,1        | 0,8        |       |           |
| 0628  | < 0,1     | 1,4        | 0,1        | 0,3        |       |           |
| 0629  | 0,4       | 5,3        | 1,0        | 0,9        |       |           |
| 0630  | 7,6       | 12,4       | 10,9       | 1,7        |       |           |
| 0631  | 0,9       | 8,0        | 0,3        | 1,1        |       |           |
| 0632  | < 0,1     | 10,2       | 0,8        | 7,5        |       |           |
| 0633  | 1,6       | 5,0        | 0,2        | 1,5        |       |           |
| 0634  | 0,9       | 10,1       | 1,1        | 1,1        |       |           |
| 0635  | 0,1       | 14,6       | 13,5       | 2,1        |       |           |
| 0636  | 7,2       | 16,6       | 18,1       | 6,4        |       |           |
| 0637  | 15,6      | 35,6       | 34,6       | 6,6        |       |           |
| 0638  | 2,8       | 12,9       | 12,4       | 3,5        |       |           |
| 0639  | 0,2       | 6,5        | 1,0        | 2,1        |       |           |
| 0640  | 2,7       | 7,5        | 1,0        | 4,3        |       |           |
| 0641  |           | 24,1       |            |            |       | ***0647   |
| 0642  | 1,0       | 3,8        | 0,5        | 2,9        |       |           |
| 0643  | 3,6       | 10,2       | 2,3        | 6,7        |       |           |
| 0644  | 9,2       | 36,4       | 34,5       | 6,6        |       |           |
| 0645  | 1,2       | 3,6        | 0,5        | 3,9        |       |           |
| 0646  | 2,9       | 10,0       | 4,4        | 6,2        |       |           |
| 0647  | 28,8      | 32,0       | 33,5       | 12,7       |       |           |
| 0648  | 10,0      | 13,4       | 14,7       | 4,8        |       |           |
| 0649  | 8,5       | 15,7       | 16,7       | 2,4        |       |           |
| 0650  | 3,1       | 10,1       | 3,4        | 5,0        |       |           |
| 0651  | 2,4       | 9,1        | 1,0        | 3,3        |       |           |
| 0652  | 4,6       | 10,0       | 7,1        | 3,4        |       |           |
| 0653  | 0,3       | 34,0       | 38,4       | 6,2        |       |           |
| 0654  |           |            |            |            |       |           |
| 0655  | 12,7      | 21,1       | 23,7       | 15,8       |       |           |

\*\*\* : DUPLICATAS

## : PARTICULES MÉTALLIQUES

| MASSES DES DIFFÉRENTES FRACTIONS DE MINÉRALIX LOURDS |           |            |            |            |       |           |
|--|-----------|------------|------------|------------|-------|-----------|
| ÉCHANTILLON N°                                       | MAGNETITE | RÉCIP. N°1 | RÉCIP. N°2 | + 0,850 mm | EXCÈS | REMARQUES |
| 0656   | 1,1       | 4,0        | 0,6        | 5,3        |       |           |
| 0657   | 3,3       | 10,0       | 0,9        | 4,7        |       |           |
| 0658   | 4,1       | 10,0       | 10,5       | 2,7        |       |           |
| 0659   | 0,3       | 12,8       | 13,3       | 1,6        |       |           |
| 0660   | < 0,1     | 0,2        | 0,1        | 6,1        |       |           |
| 0661   |           | 10,0       |            |            |       | ***0663   |
| 0662   | 2,0       | 5,1        | 0,1        | 2,2        |       | ###       |
| 0663   | 1,5       | 11,6       | 14,3       | 2,8        |       |           |
| 0664   | < 0,1     | 1,3        | 0,1        | 7,1        |       |           |
| 0665   | 1,8       | 10,1       | 0,8        | 2,3        |       |           |
| 0666   | 0,5       | 3,4        | 0,5        | 1,6        |       |           |
| 0667   | 2,1       | 12,2       | 4,3        | 1,3        |       |           |
| 0668   | 1,1       | 5,1        | 1,1        | 1,2        |       |           |
| 0669   | 3,5       | 10,0       | 1,1        | 2,1        |       |           |
| 0670   | 0,9       | 2,6        | 0,2        | 18,4       |       |           |
| 0671   | 5,2       | 10,1       | 11,0       | 2,7        |       |           |
| 0672   | 2,3       | 6,2        | 1,1        | 3,2        |       |           |
| 0673   | 8,3       | 12,9       | 14,5       | 5,7        |       |           |
| 0674   | 3,4       | 11,1       | 12,9       | 6,5        |       |           |
| 0675   |           |            |            |            |       |           |
| 0676   | < 0,1     | 1,8        | 0,1        | 3,4        |       |           |
| 0677   | 0,1       | 10,0       | 6,5        | 4,8        |       |           |
| 0678   | 1,0       | 3,0        | 0,5        | 1,8        |       |           |
| 0679   | 1,5       | 4,4        | 0,5        | 2,4        |       |           |
| 0680   | 5,7       | 10,0       | 8,7        | 2,0        |       |           |
| 0681   |           | 19,0       |            |            |       | ***100-85 |
| 0682   | 0,3       | 2,9        | 0,5        | 3,6        |       |           |
| 0683   | 3,8       | 10,2       | 2,2        | 3,3        |       |           |
| 0684   | 7,0       | 11,5       | 13,5       | 2,8        |       |           |
| 0685   | 0,7       | 3,0        | 0,5        | 3,2        |       |           |
| 0686   | 1,3       | 5,3        | 1,1        | 2,6        |       |           |

\*\*\* : DUPLICATAS

### : PARTICULES MÉTALLIQUES

| MASSES DES DIFFÉRENTES FRACTIONS DE MINÉRAUX LOURDS |           |            |            |            |       |           |
|---|-----------|------------|------------|------------|-------|-----------|
| ÉCHANTILLON N°                                      | MAGNETITE | RÉCIP. N°1 | RÉCIP. N°2 | + 0,850 mm | EXCÈS | REMARQUES |
| 0687  | 3,0       | 8,6        | 1,0        | 1,1        |       |           |
| 0688  | 3,5       | 10,0       | 4,6        | 2,5        |       |           |
| 0689  |           |            |            |            |       |           |
| 0690  | 2,5       | 10,0       | 3,4        | 2,5        |       |           |
| 0691  | 1,2       | 3,4        | 0,5        | 1,6        |       |           |
| 0692  | 0,1       | 1,2        | 0,1        | 4,3        |       |           |
| 0693  | 0,6       | 4,3        | 0,5        | 3,6        |       | ###       |
| 0694  | 0,7       | 3,5        | 0,5        | 3,7        |       |           |
| 0695  | 1,0       | 10,0       | 1,6        | 4,6        |       |           |
| 0696  | 0,2       | 1,9        | 0,5        | 2,8        |       |           |
| 0697  | 3,2       | 10,0       | 10,8       | 2,6        |       |           |
| 0698  | 0,6       | 10,0       | 10,3       | 2,5        |       |           |
| 0699  | 0,3       | 5,0        | 0,0        | 0,8        |       |           |
| 0700  | < 0,1     | 2,5        | 0,1        | 1,0        |       |           |
| 0701  |           | 43,0       |            |            |       | ***0718   |
| 0702  | 7,2       | 17,2       | 17,5       | 1,9        |       |           |
| 0703  | 0,3       | 4,0        | 0,6        | 1,8        |       | ###       |
| 0704  | 0,1       | 0,3        | 0,1        | 5,3        |       |           |
| 0705  | < 0,1     | 1,8        | 0,2        | 1,5        |       |           |
| 0706  | 0,1       | 5,7        | 0,1        | 5,2        |       |           |
| 0707  | < 0,1     | 5,3        | 0,3        | 0,5        |       |           |
| 0708  | < 0,1     | 3,0        | 0,5        | 2,6        |       |           |
| 0709  | 0,3       | 2,7        | 0,5        | 1,7        |       |           |
| 0710  | < 0,1     | 1,4        | 0,1        | 1,6        |       |           |
| 0711  | 1,6       | 17,2       | 18,8       | 1,6        |       |           |
| 0712  | 1,9       | 8,1        | 1,0        | 1,5        |       |           |
| 0713  | 0,3       | 6,6        | 1,0        | 11,5       |       |           |
| 0714  |           |            |            |            |       |           |
| 0715  | 0,3       | 2,8        | 0,5        | 2,8        |       |           |
| 0716  | 0,2       | 1,7        | 0,2        | 8,1        |       |           |
| 0717  | 12,5      | 49,1       | 58,8       | 5,6        |       |           |

\*\*\* : DUPLICATAS

### : PARTICULES MÉTALLIQUES

| MASSES DES DIFFÉRENTES FRACTIONS DE MINÉRAUX LOURDS |           |            |            |            |       |           |
|---|-----------|------------|------------|------------|-------|-----------|
| ÉCHANTILLON N°                                      | MAGNETITE | RÉCIP. N°1 | RÉCIP. N°2 | + 0,850 mm | EXCÈS | REMARQUES |
| 0718  | 20,6      | 46,3       | 73,2       | 3,1        | 68,7  |           |
| 0719  | 21,5      | 76,8       | 87,1       | 5,2        |       |           |
| 0720  | 1,3       | 10,5       | 12,1       | 1,8        |       |           |
| 0721  |           | 25,2       |            |            |       | ***0725   |
| 0722  | 1,1       | 10,1       | 9,4        | 1,5        |       |           |
| 0723  | 1,4       | 6,8        | 1,1        | 2,8        |       |           |
| 0724  | 4,1       | 36,3       | 39,2       | 4,8        |       |           |
| 0725  | 25,0      | 22,1       | 53,6       | 2,1        |       |           |
| 0726  |           |            |            |            |       |           |
| 0727  | 8,0       | 13,5       | 16,4       | 3,7        |       |           |
| 0728  | 1,5       | 3,1        | 0,6        | 2,7        |       |           |
| 0729  | 0,6       | 10,2       | 2,2        | 7,8        |       |           |
| 0730  | 3,2       | 10,1       | 2,6        | 3,5        |       |           |
| 0731  | 2,0       | 10,1       | 0,6        | 3,5        |       |           |
| 0732  | 1,4       | 5,1        | 0,3        | 3,1        |       |           |
| 0733  | 0,1       | 0,2        | 0,1        | 5,8        |       |           |
| 0734  | 0,3       | 1,7        | 0,6        | 6,9        |       |           |
| 0735  | 1,0       | 7,0        | 1,0        | 2,4        |       |           |
| 0736  | 4,5       | 10,1       | 3,2        | 2,8        |       |           |
| 0737  | 0,7       | 4,0        | 0,5        | 3,1        |       |           |
| 0738  | 0,3       | 2,9        | 0,5        | 2,3        |       |           |
| 0739  | < 0,1     | 3,2        | 0,6        | 2,1        |       |           |
| 0740  | < 0,1     | 5,5        | 0,1        | 2,6        |       |           |
| 0741  |           | 42,6       |            |            |       | ***0750   |
| 0742  | 1,2       | 4,0        | 0,5        | 2,3        |       |           |
| 0743  | 1,5       | 3,5        | 0,6        | 2,5        |       |           |
| 0744  | 0,4       | 10,0       | 4,7        | 0,5        |       |           |
| 0745  | 2,3       | 13,5       | 12,5       | 1,9        |       |           |
| 0746  | 3,8       | 10,0       | 2,3        | 2,3        |       |           |
| 0747  | 1,3       | 10,2       | 2,4        | 1,7        |       |           |
| 0748  | 2,8       | 10,1       | 0,6        | 2,1        |       |           |

\*\*\* : DUPLICATAS

## : PARTICULES MÉTALLIQUES

| MASSES DES DIFFÉRENTES FRACTIONS DE MINÉRAUX LOURDS |           |            |            |            |       |           |
|---|-----------|------------|------------|------------|-------|-----------|
| ÉCHANTILLON N°                                      | MAGNETITE | RÉCIP. N°1 | RÉCIP. N°2 | + 0,850 mm | EXCÈS | REMARQUES |
| 0749  | 0,9       | 5,3        | 0,3        | 1,7        |       |           |
| 0750  | 43,9      | 46,2       | 77,4       | 0,1        |       |           |
| 0751  | 0,3       | 0,8        | 0,1        | 5,2        |       |           |
| 0752  |           |            |            |            |       |           |
| 0753  | 0,2       | 1,6        | 0,1        | 1,2        |       |           |
| 0754  | 0,2       | 1,0        | 0,1        | 6,9        |       |           |
| 0755  | 3,0       | 7,5        | 1,0        | 2,5        |       |           |
| 0756  | < 0,1     | 2,7        | 0,0        | 2,3        |       |           |
| 0757  | < 0,1     | 0,7        | 0,1        | 2,6        |       |           |
| 0758  | 1,2       | 4,2        | 1,0        | 0,2        |       |           |
| 0759  | 0,1       | 2,0        | 0,5        | 5,7        |       |           |
| 0760  | 0,2       | 5,4        | 1,0        | 3,1        |       |           |
| 0761  |           | 13,9       |            |            |       | ***100-85 |
| 0762  | 0,1       | 3,0        | 0,5        | 3,5        |       |           |
| 0763  | 1,1       | 3,5        | 0,5        | 3,0        |       |           |
| 0764  | 5,4       | 18,8       | 17,7       | 1,5        |       |           |
| 0765  | 0,3       | 3,8        | 0,6        | 2,1        |       |           |
| 0766  | 0,4       | 1,2        | 0,1        | 3,8        |       |           |
| 0767  | 0,3       | 1,8        | 0,5        | 5,5        |       |           |
| 0768  | 0,7       | 10,0       | 1,5        | 1,6        |       |           |
| 0769  | < 0,1     | 0,8        | 0,2        | 9,8        |       |           |
| 0770  | 3,5       | 10,1       | 1,9        | 4,0        |       |           |
| 0771  | 1,2       | 5,4        | 1,0        | 1,4        |       |           |
| 0772  | 1,0       | 13,8       | 12,9       | 0,8        |       |           |
| 0773  | 2,6       | 11,7       | 4,0        | 1,4        |       |           |
| 0774  | < 0,1     | 5,0        | 0,3        | 2,1        |       |           |
| 0775  | 1,4       | 5,3        | 1,1        | 3,1        |       |           |
| 0776  |           |            |            |            |       |           |
| 0777  | 1,6       | 4,0        | 0,5        | 3,2        |       |           |
| 0778  | 2,3       | 10,1       | 2,8        | 8,0        |       |           |
| 0779  | 0,4       | 1,1        | 0,1        | 2,7        |       |           |

\*\*\* : DUPLICATAS

## : PARTICULES MÉTALLIQUES

| MASSES DES DIFFÉRENTES FRACTIONS DE MINÉRAUX LOURDS |           |            |            |            |       |           |
|---|-----------|------------|------------|------------|-------|-----------|
| ÉCHANTILLON N°                                      | MAGNETITE | RÉCIP. N°1 | RÉCIP. N°2 | + 0,850 mm | EXCÈS | REMARQUES |
| 0780  | 0,4       | 10,3       | 9,4        | 0,4        |       |           |
| 0781  |           | 33,2       |            |            |       | ***0793   |
| 0782  | 3,8       | 12,7       | 11,9       | 2,5        |       |           |
| 0783  | 0,1       | 0,3        | 0,1        | 5,1        |       |           |
| 0784  | 1,2       | 11,9       | 1,8        | 1,2        |       |           |
| 0785  | 2,6       | 35,9       | 31,7       | 1,3        |       |           |
| 0786  | 0,1       | 0,3        | 0,1        | 12,6       |       |           |
| 0787  | < 0,1     | 1,6        | 0,1        | 2,4        |       |           |
| 0788  | 0,5       | 2,6        | 0,5        | 2,5        |       |           |
| 0789  |           |            |            |            |       |           |
| 0790  | 0,2       | 10,0       | 1,2        | 0,7        |       |           |
| 0791  | 0,1       | 2,6        | 0,5        | 2,8        |       |           |
| 0792  | < 0,1     | 1,8        | 0,5        | 2,6        |       |           |
| 0793  | 31,1      | 36,3       | 61,3       | 0,8        |       |           |
| 0794  | < 0,1     | 1,6        | 0,5        | 5,0        |       |           |
| 0795  | 0,9       | 3,8        | 0,5        | 1,5        |       |           |
| 0796  | 2,6       | 7,8        | 1,1        | 2,9        |       |           |
| 0797  | 1,4       | 5,8        | 1,0        | 1,8        |       |           |
| 0798  | 2,9       | 10,0       | 1,3        | 1,2        |       |           |
| 0799  | 7,9       | 2,6        | 0,5        | 1,9        |       |           |
| 0800  | 1,2       | 3,1        | 0,5        | 2,4        |       |           |
| 0801  |           | 12,3       |            |            |       | ***0810   |
| 0802  | 8,0       | 17,9       | 19,1       | 4,4        |       |           |
| 0803  | 5,5       | 13,9       | 15,3       | 1,0        |       |           |
| 0804  | 0,7       | 4,3        | 0,5        | 0,7        |       |           |
| 0805  | 0,5       | 2,6        | 0,1        | 3,3        |       |           |
| 0806  | 0,1       | 13,6       | 15,2       | 1,2        |       |           |
| 0807  | 1,3       | 10,1       | 3,5        | 1,8        |       |           |
| 0808  | 2,2       | 10,0       | 1,3        | 1,1        |       |           |
| 0809  | 0,9       | 3,6        | 0,5        | 0,9        |       |           |
| 0810  | 17,7      | 17,9       | 17,1       | 6,6        |       |           |

\*\*\* : DUPLICATAS

### : PARTICULES MÉTALLIQUES

| ÉCHANTILLON N° | MASSES DES DIFFÉRENTES FRACTIONS DE MINÉRAUX LOURDS |            |            |            |       | REMARQUES |
|----------------|---|------------|------------|------------|-------|-----------|
|                | MAGNETITE   | RÉCIP. N°1 | RÉCIP. N°2 | + 0,850 mm | EXCÈS |           |
| 0811           | 0,1   | 0,3        | 0,1        | 5,5        |       |           |
| 0812           |   |            |            |            |       |           |
| 0813           | 0,9   | 5,1        | 0,1        | 2,7        |       |           |
| 0814           | 0,2   | 10,0       | 4,9        | 3,1        |       |           |
| 0815           | 1,1   | 3,8        | 0,5        | 1,9        |       |           |
| 0816           | 0,6   | 2,5        | 0,0        | 3,2        |       |           |
| 0817           | 0,3   | 10,1       | 8,0        | 1,2        |       |           |
| 0818           | 0,5   | 4,3        | 0,5        | 0,7        |       |           |
| 0819           | 1,7   | 5,1        | 0,2        | 0,7        |       |           |
| 0820           | < 0,1   | 1,0        | 0,2        | 11,0       |       |           |
| 0821           |   | 10,5       |            |            |       | ***100-85 |
| 0822           | 0,1   | 1,3        | 0,1        | 2,9        |       |           |
| 0823           | 0,3   | 2,6        | 0,2        | 3,7        |       |           |
| 0824           | < 0,1   | 3,1        | 0,5        | 1,5        |       |           |
| 0825           | 0,5   | 1,5        | 0,5        | 2,2        |       |           |
| 0826           | 0,2   | 0,6        | 0,1        | 3,8        |       |           |
| 0827           | < 0,1   | 0,9        | 0,1        | 2,0        |       |           |
| 0828           | 0,1   | 0,2        | 0,1        | 4,8        |       |           |
| 0829           | < 0,1   | 0,6        | 0,1        | 2,9        |       |           |
| 0830           | < 0,1   | 0,6        | 0,1        | 1,5        |       |           |
| 0831           | 0,1   | 0,8        | 0,1        | 3,7        |       |           |
| 0832           | < 0,1   | 0,2        | 0,1        | 3,5        |       |           |
| 0833           | 0,2   | 1,6        | 0,1        | 3,1        |       |           |
| 0834           | 0,5   | 3,6        | 0,5        | 2,8        |       |           |
| 0835           |   |            |            |            |       |           |
| 0836           | < 0,1   | 0,2        | 0,1        | 1,7        |       |           |
| 0837           | 1,2   | 3,4        | 0,5        | 2,1        |       |           |
| 0838           | 0,3   | 5,2        | 1,0        | 5,2        |       |           |
| 0839           | 0,2   | 0,9        | 0,1        | 5,8        |       |           |
| 0840           | 0,4   | 1,4        | 0,1        | 0,6        |       |           |
| 0841           |   | 12,3       |            |            |       | ***0857   |

\*\*\* : DUPLICATAS

### : PARTICULES MÉTALLIQUES

| ÉCHANTILLON N° | MASSES DES DIFFÉRENTES FRACTIONS DE MINÉRAUX LOURDS |            |            |            |       | REMARQUES |
|----------------|---|------------|------------|------------|-------|-----------|
|                | MAGNETITE   | RÉCIP. N°1 | RÉCIP. N°2 | + 0,850 mm | EXCÈS |           |
| 0842           | < 0,1   | 1,7        | 0,5        | 3,2        |       |           |
| 0843           | 0,1   | 1,6        | 0,5        | 1,5        |       |           |
| 0844           | < 0,1   | 0,2        | 0,1        | 3,6        |       |           |
| 0845           | 0,7   | 2,6        | 0,2        | 2,3        |       |           |
| 0846           | 0,2   | 1,0        | 0,1        | 1,4        |       |           |
| 0847           | < 0,1   | 0,8        | 0,1        | 5,7        |       |           |
| 0848           | 0,4   | 1,6        | 0,1        | 2,6        |       |           |
| 0849           | 0,5   | 1,7        | 0,1        | 3,0        |       |           |
| 0850           | 1,6   | 8,0        | 1,0        | 1,9        |       |           |
| 0851           | 0,1   | 1,4        | 0,1        | 6,3        |       |           |
| 0852           | 1,9   | 6,7        | 1,0        | 3,4        |       |           |
| 0853           |   |            |            |            |       |           |
| 0854           | 0,1   | 0,7        | 0,1        | 7,6        |       |           |
| 0855           | 0,5   | 3,4        | 0,5        | 2,2        |       |           |
| 0856           | 0,9   | 2,8        | 0,1        | 2,7        |       |           |
| 0857           | 2,2   | 15,9       | 17,1       | 2,6        |       |           |
| 0858           | 0,3   | 2,8        | 0,1        | 4,2        |       |           |
| 0859           | 0,8   | 3,2        | 0,5        | 1,0        |       |           |
| 0860           | 0,4   | 3,0        | 0,5        | 1,4        |       |           |
| 0861           |   | 10,6       |            |            |       | ***100-85 |
| 0862           | 0,1   | 0,5        | 0,1        | 8,5        |       |           |
| 0863           | 0,4   | 2,7        | 0,5        | 2,2        |       |           |
| 0864           | 0,5   | 2,5        | 0,6        | 4,3        |       |           |
| 0865           | 0,5   | 2,5        | 0,2        | 3,5        |       |           |
| 0866           | 3,1   | 13,5       | 14,3       | 1,1        |       |           |
| 0867           | 0,7   | 1,8        | 0,5        | 1,5        |       |           |
| 0868           | 0,3   | 1,7        | 0,5        | 1,7        |       |           |
| 0869           | 0,2   | 2,5        | 0,3        | 1,3        |       |           |
| 0870           | 0,1   | 0,8        | 0,1        | 2,9        |       |           |
| 0871           | 0,2   | 1,9        | 0,6        | 4,0        |       |           |
| 0872           | 0,6   | 3,8        | 0,5        | 2,3        |       |           |

\*\*\* : DUPLICATAS

### : PARTICULES MÉTALLIQUES

| MASSES DES DIFFÉRENTES FRACTIONS DE MINÉRAUX LOURDS |           |            |            |            |       |           |
|---|-----------|------------|------------|------------|-------|-----------|
| ÉCHANTILLON N°                                      | MAGNETITE | RÉCIP. N°1 | RÉCIP. N°2 | + 0,850 mm | EXCÈS | REMARQUES |
| 0873  | 0,3       | 1,7        | 0,1        | 1,5        |       |           |
| 0874  | 0,1       | 0,6        | 0,1        | 1,4        |       |           |
| 0875  |           |            |            |            |       |           |
| 0876  | 0,1       | 1,8        | 0,1        | 0,9        |       |           |
| 0877  | 0,2       | 5,8        | 0,1        | 2,4        |       |           |
| 0878  | 0,9       | 2,8        | 0,2        | 1,1        |       |           |
| 0879  | 0,1       | 3,2        | 0,5        | 1,0        |       |           |
| 0880  | < 0,1     | 1,3        | 0,1        | 2,3        |       |           |
| 0881  |           | 10,4       |            |            |       | ***100-85 |
| 0882  | 0,3       | 2,5        | 0,5        | 1,9        |       |           |
| 0883  | 0,1       | 0,9        | 0,1        | 2,2        |       |           |
| 0884  | 0,3       | 2,6        | 0,5        | 1,3        |       |           |
| 0885  | < 0,1     | 1,7        | 0,5        | 3,2        |       |           |
| 0886  | < 0,1     | 1,7        | 0,1        | 2,1        |       |           |
| 0887  | 0,1       | 5,6        | 1,0        | 1,1        |       |           |
| 0888  | 0,1       | 2,5        | 0,5        | 1,0        |       |           |
| 0889  |           |            |            |            |       |           |
| 0890  | < 0,1     | 0,7        | 0,1        | 5,0        |       |           |
| 0891  | 0,1       | 1,5        | 0,1        | 1,3        |       |           |
| 0892  | 0,1       | 1,7        | 0,1        | 1,1        |       |           |
| 0893  | 0,1       | 1,0        | 0,1        | 2,4        |       |           |
| 0894  | < 0,1     | 1,3        | 0,1        | 1,4        |       |           |
| 0895  | < 0,1     | 0,5        | 0,1        | 3,4        |       |           |
| 0896  | 0,1       | 0,1        | 0,1        | 2,6        |       |           |
| 0897  | < 0,1     | 1,0        | 0,1        | 3,1        |       |           |
| 0898  | 0,2       | 2,6        | 0,3        | 1,6        |       |           |
| 0899  | 0,3       | 10,0       | 0,5        | 0,9        |       |           |
| 0900  | 0,3       | 1,6        | 0,5        | 4,6        |       |           |
| 0901  |           | 13,6       |            |            |       | ***0904   |
| 0902  | < 0,1     | 1,5        | 0,1        | 1,7        |       |           |
| 0903  | 0,3       | 2,1        | 0,1        | 1,7        |       |           |

\*\*\* : DUPLICATAS

## : PARTICULES MÉTALLIQUES

| ÉCHANTILLON N° | MASSES DES DIFFÉRENTES FRACTIONS DE MINÉRAUX LOURDS |            |            |            |       |           |
|----------------|---|------------|------------|------------|-------|-----------|
|                | MAGNETITE   | RÉCIP. N°1 | RÉCIP. N°2 | + 0,850 mm | EXCÈS | REMARQUES |
| 0904           | 0,7   | 17,8       | 19,4       | 2,0        |       |           |
| 0905           | 0,4   | 3,6        | 0,5        | 3,7        |       |           |
| 0906           | < 0,1   | 5,2        | 1,0        | 4,2        |       |           |
| 0907           |   |            |            |            |       |           |
| 0908           | 1,1   | 7,6        | 1,0        | 1,5        |       |           |
| 0909           | 2,3   | 6,7        | 1,1        | 1,5        |       |           |
| 0910           | 0,9   | 6,5        | 1,0        | 2,1        |       |           |
| 0911           | 0,2   | 0,5        | 0,1        | 1,3        |       |           |
| 0912           | < 0,1   | 0,6        | 0,1        | 1,5        |       |           |
| 0913           | 0,1   | 1,8        | 0,2        | 1,5        |       |           |
| 0914           | < 0,1   | 0,9        | 0,1        | 1,3        |       |           |
| 0915           | < 0,1   | 0,4        | 0,1        | 2,9        |       |           |
| 0916           | 0,2   | 1,9        | 0,5        | 1,9        |       |           |
| 0917           | < 0,1   | 0,3        | 0,1        | 1,0        |       |           |
| 0918           | 0,4   | 1,9        | 0,1        | 2,2        |       |           |
| 0919           | 1,0   | 7,1        | 1,0        | 1,6        |       |           |
| 0920           | 0,2   | 12,3       | 12,4       | 1,7        |       |           |
| 0921           |   | 10,9       |            |            |       | ***100-85 |
| 0922           | 0,2   | 3,0        | 0,5        | 1,5        |       |           |
| 0923           | 2,2   | 8,5        | 1,0        | 1,5        |       |           |
| 0924           |   |            |            |            |       |           |
| 0925           | 0,1   | 0,6        | 0,1        | 2,1        |       |           |
| 0926           | 1,2   | 8,7        | 1,0        | 2,3        |       |           |
| 0927           | 0,5   | 1,4        | 0,2        | 0,9        |       |           |
| 0928           | 0,1   | 1,7        | 0,5        | 0,4        |       |           |
| 0929           | 0,3   | 5,0        | 1,0        | 0,7        |       |           |
| 0930           | 0,1   | 1,7        | 0,5        | 0,4        |       |           |
| 0931           | < 0,1   | 5,1        | 0,3        | 1,2        |       |           |
| 0932           | < 0,1   | 11,8       | 11,5       | 0,5        |       |           |
| 0933           | 0,1   | 1,5        | 0,5        | 0,6        |       |           |
| 0934           | < 0,1   | 1,0        | 0,1        | 0,9        |       |           |

\*\*\* : DUPLICATAS

## : PARTICULES MÉTALLIQUES



## **APPENDICE C**

### **Tableaux des résultats analytiques**

ins - insuffisamment d'échantillon pour l'analyse

ind - valeur non-déterminée

fct dil - facteur de dilution (voir texte p. 4)

















| ECH | fct<br>dil | Au<br>ppm | Cr<br>ppm | Fe t<br>% | Co<br>ppm | Ni t<br>ppm | Zn t<br>ppm | Mo<br>ppm | Sb<br>ppm | La<br>ppm | Ce<br>ppm | Sm<br>ppm | Eu<br>ppm | Tb<br>ppm | Yb<br>ppm | Lu<br>ppm | Hf<br>ppm | Ta<br>ppm | Th<br>ppm | U<br>ppm |
|-----|------------|-----------|-----------|-----------|-----------|-------------|-------------|-----------|-----------|-----------|-----------|-----------|-----------|-----------|-----------|-----------|-----------|-----------|-----------|----------|
| 307 | 1.00       | 0.01      | 33600     | 43.9      | 160       | 120         | 330         | 16        | 3.8       | 180       | 420       | 79        | 15        | 29.0      | 50        | 7.3       | 153       | 14        | 26        | 8        |
| 308 | 1.00       | 0.03      | 2300      | 11.0      | 30        | <110        | 3000        | <19       | 4.6       | 61        | 190       | 13        | <5        | 5.3       | 12        | 2.9       | 74        | 9         | <4        |          |
| 309 | 50.00      | ins       | ins       | ins       | ins       | ins         | ins         | ins       | ins       | ins       | ins       | ins       | ins       | ins       | ins       | ins       | ins       | ins       | ins       |          |
| 310 | 3.85       | <0.10     | 7308      | 35.4      | 69        | <200        | <2500       | <40       | 1403.8    | 692       | 1385      | 201       | 31        | 28.5      | <20       | 5.4       | 312       | 17        | 77        | 16       |
| 311 | 1.00       | 0.01      | 6070      | 37.9      | 49        | 53          | 260         | 8         | 0.5       | 301       | 663       | 81        | 11        | 14.0      | 49        | 8.4       | 480       | 27        | 58        | 17       |
| 312 | 16.67      | <0.10     | 46667     | 30.0      | 150       | <200        | 3333        | 83        | 8.3       | 100       | 267       | 22        | <10       | <5.0      | 67        | 10.0      | 1383      | 12        | 47        | 38       |
| 313 | 7.14       | 0.18      | 50214     | 35.7      | 107       | <200        | <2500       | <40       | 5.7       | 157       | 336       | 36        | <10       | 10.0      | 107       | 17.9      | 2429      | 16        | 93        | 56       |
| 314 | 25.00      | ins       | ins       | ins       | ins       | ins         | ins         | ins       | ins       | ins       | ins       | ins       | ins       | ins       | ins       | ins       | ins       | ins       | ins       |          |
| 315 | 1.00       | 0.01      | 7080      | 47.5      | 79        | 55          | 270         | 6         | 0.8       | 170       | 370       | 58        | 10        | 29.0      | 59        | 8.4       | 141       | 17        | 58        | 9        |
| 316 | 8.33       | 0.17      | 8333      | 52.5      | 125       | <200        | <2500       | 58        | 4.2       | 92        | 250       | 58        | 17        | 52.5      | 100       | 14.2      | 467       | 20        | 37        | 17       |
| 317 | 1.61       | <0.10     | 11113     | 35.5      | 66        | <200        | <2500       | <40       | 2145.2    | 137       | 210       | 29        | <10       | 7.9       | 34        | 8.9       | 648       | 26        | 79        | 21       |
| 318 | 3.13       | <0.10     | 10406     | 43.8      | 94        | <200        | <2500       | 53        | 20.3      | 259       | 563       | 174       | 47        | 165.0     | 247       | 31.3      | 266       | 14        | 41        | 27       |
| 319 | 1.85       | <0.10     | 7537      | 41.9      | 89        | <200        | <2500       | <40       | 32.2      | 122       | 222       | 26        | <10       | 8.5       | 37        | 6.5       | 454       | 22        | 48        | 12       |
| 320 | 2.00       | <0.10     | 5860      | 50.8      | 76        | <200        | <2500       | <40       | 102.4     | 92        | 154       | 24        | <10       | 9.2       | 32        | 6.0       | 428       | 22        | 34        | 10       |
| 322 | 2.94       | <0.10     | 42059     | 41.2      | 115       | <200        | <2500       | <40       | 1.2       | 218       | 471       | 74        | 12        | 12.1      | 97        | 15.3      | 1800      | 26        | 101       | 44       |
| 323 | 5.56       | <0.10     | 10556     | 27.2      | <50       | <200        | <2500       | <40       | 1.7       | 94        | 167       | 28        | <10       | 13.3      | 83        | 12.8      | 850       | 16        | 89        | 31       |
| 324 | 3.13       | <0.10     | 9469      | 29.7      | 59        | <200        | <2500       | <40       | <1.0      | 213       | 531       | 47        | <10       | 24.4      | 213       | <2.0      | 2078      | 17        | 211       | 99       |
| 325 | 1.52       | <0.10     | 2273      | 44.5      | 52        | <200        | <2500       | 80        | 12.1      | 41        | 100       | 13        | <10       | <5.0      | <20       | 2.6       | 203       | <5        | 17        | 7        |
| 326 | 2.78       | <0.10     | 21028     | 38.9      | 86        | <200        | <2500       | <40       | 1.1       | 361       | 806       | 101       | <10       | 13.6      | 94        | 14.7      | 1314      | 28        | 134       | 44       |
| 327 | 1.00       | <0.01     | 9740      | 41.8      | 62        | <51         | 340         | 12        | 0.6       | 423       | 959       | 120       | 13        | 17.0      | 33        | 5.9       | 309       | 22        | 45        | 10       |
| 328 | 50.00      | ins       | ins       | ins       | ins       | ins         | ins         | ins       | ins       | ins       | ins       | ins       | ins       | ins       | ins       | ins       | ins       | ins       | ins       |          |
| 329 | 2.63       | <0.10     | 4737      | 42.1      | <50       | <200        | <2500       | 53        | 5105.3    | 132       | 250       | 32        | <10       | 9.7       | <20       | 7.9       | 197       | 14        | 47        | <5       |
| 330 | 1.00       | 0.02      | 4760      | 36.9      | 50        | <84         | 540         | 6         | 11.5      | 140       | 270       | 30        | <4        | 5.7       | 22        | 3.8       | 306       | 27        | 71        | 11       |
| 331 | 1.00       | 0.02      | 9460      | 35.9      | 66        | <96         | 610         | 9         | 0.5       | 612       | 1560      | 230       | 27        | 24.0      | 42        | 6.6       | 256       | 21        | 64        | 12       |
| 333 | 1.67       | <0.10     | 4333      | 41.0      | 75        | <200        | <2500       | <40       | 1246.7    | 62        | 120       | 17        | <10       | 7.2       | <20       | 5.8       | 277       | 18        | 30        | 6        |
| 334 | 1.00       | 0.01      | 16100     | 36.4      | 68        | 56          | 310         | <5        | <0.3      | 229       | 569       | 98        | 12        | 12.0      | 30        | 5.0       | 204       | 20        | 48        | 9        |
| 335 | 1.00       | <0.01     | 40400     | 39.3      | 110       | 65          | 430         | 5         | 0.8       | 200       | 460       | 55        | 6         | 6.6       | 23        | 4.4       | 184       | 20        | 55        | 7        |
| 336 | 1.00       | 0.01      | 50800     | 39.9      | 130       | 92          | 410         | <5        | 1.6       | 190       | 420       | 51        | 5         | 6.0       | 21        | 3.4       | 179       | 17        | 63        | 7        |
| 337 | 3.33       | <0.10     | 7733      | 40.0      | 63        | <200        | <2500       | <40       | 19.0      | 157       | 367       | 43        | <10       | 8.0       | 37        | 6.3       | 610       | 29        | 57        | 17       |
| 338 | 6.25       | <0.10     | 4250      | 45.0      | 75        | <200        | <2500       | 44        | 31.3      | 113       | 219       | 36        | <10       | 21.3      | 44        | 6.9       | 413       | 18        | 36        | 12       |
| 339 | 1.92       | <0.10     | 117115    | 21.2      | 231       | 250         | <2500       | <40       | 34.8      | 231       | 404       | 43        | <10       | 9.4       | 50        | 7.5       | 1458      | 18        | 125       | 35       |
| 340 | 6.25       | <0.10     | 24625     | 33.8      | 75        | <200        | <2500       | <40       | 2.5       | 144       | 250       | 36        | <10       | 10.0      | 50        | 8.1       | 569       | 18        | 51        | 18       |
| 342 | 8.33       | <0.10     | 21333     | 37.5      | 92        | <200        | 2583        | 58        | 13.3      | 217       | 450       | 61        | <10       | 17.5      | 67        | 10.8      | 692       | 18        | 76        | 20       |
| 343 | 3.85       | <0.10     | 6538      | 38.5      | 69        | <200        | <2500       | 62        | 6.5       | 104       | 308       | 62        | 15        | 42.3      | 96        | 13.1      | 577       | 22        | 32        | 17       |
| 344 | 7.14       | 0.13      | 6786      | 34.3      | 86        | <200        | <2500       | 86        | 4.3       | 114       | 414       | 569       | 250       | 606.4     | 650       | 78.6      | 493       | 19        | 10        | 50       |
| 345 | 2.94       | <0.10     | 5000      | 44.1      | 171       | 212         | <2500       | <40       | 3.8       | 94        | 165       | 26        | <10       | 9.4       | 38        | 5.3       | 306       | 14        | 29        | 10       |
| 346 | 1.00       | <0.01     | 270       | 38.7      | 54        | <22         | 210         | 6         | 0.3       | 130       | 230       | 26        | 2         | 5.3       | 30        | 5.4       | 266       | 29        | 65        | 13       |
| 347 | 1.00       | <0.01     | 320       | 38.2      | 55        | 22          | 280         | 6         | 0.4       | 100       | 190       | 21        | <1        | 4.6       | 24        | 4.4       | 178       | 20        | 43        | 8        |
| 348 | 1.00       | <0.01     | 310       | 48.4      | 58        | 47          | 200         | 8         | 1.0       | 150       | 250       | 27        | 1         | 4.6       | 21        | 4.1       | 210       | 30        | 71        | 11       |
| 349 | 2.78       | <0.10     | 472       | 36.1      | <50       | <200        | <2500       | <40       | <1.0      | 150       | 278       | 28        | <10       | 5.8       | 39        | 5.8       | 531       | 33        | 58        | 18       |
| 350 | 1.00       | <0.01     | 680       | 40.6      | 51        | <20         | 210         | 8         | 0.4       | 83        | 150       | 18        | 1         | 3.2       | 17        | 3.1       | 184       | 23        | 39        | 9        |
| 351 | 1.00       | 0.06      | 920       | 38.7      | 92        | 160         | 790         | 32        | 5.8       | 55        | 110       | 14        | 1         | 3.0       | 15        | 3.2       | 153       | 13        | 22        | 6        |
| 352 | 1.00       | <0.01     | 540       | 40.0      | 51        | 32          | 230         | 7         | 0.9       | 82        | 140       | 15        | 1         | 3.2       | 19        | 3.3       | 191       | 24        | 36        | 8        |
| 353 | 1.00       | <0.01     | 440       | 38.7      | 54        | <23         | 180         | 5         | 0.3       | 93        | 170       | 20        | 1         | 4.1       | 18        | 3.2       | 129       | 32        | 43        | 9        |
| 354 | 1.00       | <0.01     | 600       | 36.8      | 45        | <34         | 150         | 7         | 0.3       | 110       | 210       | 21        | <1        | 5.4       | 32        | 5.3       | 297       | 26        | 43        | 10       |
| 355 | 7.14       | <0.10     | 8571      | 32.9      | 50        | <200        | <2500       | 57        | 15.7      | 421       | 857       | 107       | <10       | 17.9      | 107       | 18.6      | 2143      | 24        | 136       | 56       |
| 356 | 1.00       | <0.01     | 12500     | 32.5      | 63        | <39         | 350         | 7         | 0.3       | 559       | 1200      | 214       | 21        | 17.0      | 60        | 10.0      | 714       | 26        | 109       | 20       |
| 357 | 1.00       | <0.01     | 3380      | 43.6      | 54        | <45         | 450         | 9         | 14.5      | 229       | 460       | 70        | 6         | 6.0       | 25        | 4.3       | 304       | 22        | 55        | 9        |
| 359 | 1.00       | 0.02      | 2770      | 39.7      | 56        | <45         | 190         | 8         | <0.2      | 274       | 558       | 64        | 8         | 7.9       | 33        | 6.1       | 600       | 25        | 71        | 17       |
| 360 | 1.00       | <0.01     | 1300      | 41.7      | 52        | <23         | 190         | 6         | 0.6       | 130       | 230       | 29        | 2         | 4.6       | 25        | 4.4       | 233       | 24        | 59        | 10       |
| 362 | 3.57       | <0.10     | 7143      | 42.9      | 57        | <200        | <2500       | <40       | <1.0      | 254       | 571       | 74        | <10       | 8.9       | 32        | 4.3       | 321       | 20        | 50        | 9        |
| 363 | 1.00       | 0.02      | 14000     | 39.1      | 71        | <42         | 320         | 12        | 2.4       | 641       | 1460      | 304       | 24        | 16.0      | 29        | 5.5       | 312       | 24        | 102       | 11       |
| 364 | 1.11       | <0.10     | 15000     | 32.3      | 66        | <200        | <2500       | <40       | <1.0      | 837       | 1933      | 374       | 40        | 20.0      | 40        | 6.2       | 317       | 22        | 95        | 10       |
| 365 | 1.00       | <0.01     | 10700     | 37.4      | 79        | <59         | 360         | 12        | 0.5       | 652       | 1430      | 329       | 24        | 20.0      | 36        | 6.2       | 644       | 36        | 139       | 20       |
| 366 | 3.85       | <0.10     | 6154      | 42.3      | 54        | <200        | <2500       | <40       | 6.5       | 654       | 1500      | 306       | 27        | 14.6      | 38        | 6.5       | 462       | 23        | 103       | 14       |
| 367 | 4.55       | 0.13      | 20773     | 31.4      | 59        | <200        | 3182        | 64        | 1.8       | 305       | 682       | 73        | <10       | 15.0      | 95        | 15.9      | 1536      | 28        | 118       | 50       |

| ECH | fct<br>dil | Mn<br>ppm | Fe<br>% | Ni<br>ppm | Cu<br>ppm | Zn<br>ppm | Ag<br>ppm | Pb<br>ppm | As<br>ppm | W<br>ppm | Hg<br>ppb | Tl<br>% | Sr<br>ppm | Zr<br>ppm | Nb<br>ppm | Sn<br>ppm | Ba<br>ppm | Y<br>ppm | S<br>% |
|-----|------------|-----------|---------|-----------|-----------|-----------|-----------|-----------|-----------|----------|-----------|---------|-----------|-----------|-----------|-----------|-----------|----------|--------|
| 307 | 1.00       | 441       | 6.3     | 71        | 90        | 58        | 0.3       | 48        | 163       | 2        | 165       | 13.5    | 26        | 3880      | 102       | 14        | 4796      | 414      | 2.23   |
| 308 | 1.00       | 187       | 1.1     | 4         | 35        | 13        | <0.1      | 1056      | <2        | 12       | 40        | 16.3    | 9         | 9784      | 179       | 12        | 288       | 451      | ind    |
| 309 | 50.00      | ins       | ins     | ins       | ins       | ins       | ins       | ins       | ins       | ins      | ins       | ins     | ins       | ins       | ins       | ins       | ins       | ins      |        |
| 310 | 3.85       | 442       | 4.6     | 42        | 792       | 181       | 1.9       | 13962     | 54        | <25      | 212       | 13.2    | <50       | 5655      | 138       | 800       | <150      | 209      | 4.65   |
| 311 | 1.00       | 159       | 1.0     | 5         | 37        | 15        | <0.1      | 9         | 11        | 2        | 45        | 16.4    | 18        | 12547     | 231       | 10        | 919       | 234      | 0.12   |
| 312 | 16.67      | 450       | 5.0     | <20       | 67        | 100       | <1.0      | 583       | 33        | 33       | <100      | 10.0    | 83        | ins       | ins       | 50        | <150      | ins      | 1.50   |
| 313 | 7.14       | 286       | 2.1     | <20       | 79        | 79        | <1.0      | 79        | <20       | <25      | <100      | 11.4    | <50       | 35768     | 94        | 29        | <150      | 189      | 0.57   |
| 314 | 25.00      | ins       | ins     | ins       | ins       | ins       | ins       | ins       | ins       | ins      | ins       | ins     | ins       | ins       | ins       | ins       | ins       | ins      |        |
| 315 | 1.00       | 133       | 3.5     | 21        | 39        | 35        | <0.1      | 14        | 15        | 85       | 45        | 17.1    | 6         | 3224      | 132       | 7         | 659       | 572      | 0.98   |
| 316 | 8.33       | 300       | 9.2     | 50        | 117       | 92        | <1.0      | 142       | 25        | 667      | 208       | 14.9    | <50       | 6255      | 121       | 33        | <150      | 717      | 1.83   |
| 317 | 1.61       | 144       | 0.8     | <20       | <50       | <50       | 1.6       | 154839    | 29        | <25      | <100      | 8.5     | <50       | 5939      | 108       | <25       | 1158      | 267      | 0.58   |
| 318 | 3.13       | 409       | 13.4    | 75        | 413       | 131       | <1.0      | 2463      | 47        | 188      | 375       | 9.1     | <50       | 4179      | 53        | 28        | <150      | 2313     | 15.88  |
| 319 | 1.85       | 283       | 4.1     | 22        | 156       | 80        | <1.0      | 3398      | 22        | 44       | <100      | 13.4    | <50       | 8888      | 185       | 1328      | 1398      | 119      | 0.72   |
| 320 | 2.00       | 318       | 3.6     | 20        | 2620      | 72        | <1.0      | 10300     | 102       | 80       | 110       | 13.4    | <50       | 6493      | 148       | 220       | 508       | 105      | 0.66   |
| 322 | 2.94       | 274       | 2.1     | <20       | <50       | <50       | <1.0      | 62        | <20       | <25      | 12647     | 12.9    | 135       | 26737     | 147       | <25       | 12624     | 219      | 0.47   |
| 323 | 5.56       | 250       | 2.8     | <20       | 56        | 372       | <1.0      | 172       | <20       | <25      | 167       | 7.2     | 4606      | 11533     | 78        | <25       | 317778    | 214      | 6.94   |
| 324 | 3.13       | 644       | 2.2     | <20       | <50       | 188       | <1.0      | 41        | <20       | <25      | 266       | 5.5     | 156       | 33104     | 53        | <25       | 19697     | 581      | 0.72   |
| 325 | 1.52       | 159       | 10.3    | 88        | 379       | 770       | <1.0      | 39        | 167       | <25      | 1068      | 2.3     | 161       | 3641      | 28        | <25       | 17247     | 50       | 35.94  |
| 326 | 2.78       | 303       | 2.2     | <20       | <50       | 53        | <1.0      | 25        | <20       | <25      | <100      | 14.3    | <50       | 19752     | 181       | <25       | 150       | 268      | <0.20  |
| 327 | 1.00       | 149       | 3.9     | 36        | 11        | 16        | <0.1      | 73        | 29        | 32       | 45        | 16.1    | 6         | 8239      | 167       | 13        | 38        | 221      | 2.17   |
| 328 | 50.00      | ins       | ins     | ins       | ins       | ins       | ins       | ins       | ins       | ins      | ins       | ins     | ins       | ins       | ins       | ins       | ins       | ins      |        |
| 329 | 2.63       | 6055      | 6.6     | 34        | 189       | 95        | 2.9       | 27105     | 145       | 289      | 447       | 11.8    | 68        | 4117      | 153       | 3692      | 3408      | 231      | 2.66   |
| 330 | 1.00       | 157       | 1.2     | 6         | 75        | 23        | 14.4      | 115       | 5         | 2        | 25000     | 14.8    | 13        | 8005      | 230       | 53        | 234       | 103      | 0.24   |
| 331 | 1.00       | 147       | 1.0     | 9         | 5         | 20        | 0.3       | 16        | 6         | 2        | 50        | 16.9    | 21        | 6017      | 130       | 3         | 113       | 225      | 0.11   |
| 333 | 1.67       | 255       | 1.8     | <20       | 218       | <50       | <1.0      | 4633      | <20       | <25      | <100      | 14.3    | <50       | 5553      | 145       | 852       | 633       | 93       | <0.20  |
| 334 | 1.00       | 167       | 0.9     | 9         | 6         | 24        | 0.6       | 15        | 6         | 2        | 45        | 17.9    | 15        | 5260      | 170       | 5         | 28        | 153      | 0.01   |
| 335 | 1.00       | 178       | 1.6     | 12        | 37        | 27        | 0.1       | 13        | 11        | 2        | 40        | 15.6    | 8         | 4811      | 164       | 1         | 98        | 101      | 0.15   |
| 336 | 1.00       | 160       | 2.8     | 21        | 32        | 30        | <0.1      | 23        | 22        | 2        | 45        | 14.9    | 6         | 484       | 144       | 3         | 98        | 73       | 0.51   |
| 337 | 3.33       | 340       | 2.3     | <20       | 87        | 73        | <1.0      | 117       | <20       | <25      | <100      | 16.3    | <50       | 12008     | 235       | 27        | <150      | 123      | <0.20  |
| 338 | 6.25       | 419       | 11.3    | 44        | 56        | 56        | 1.9       | 1363      | 81        | 1750     | 188       | 13.1    | <50       | 7672      | 131       | <25       | <150      | 323      | 1.63   |
| 339 | 1.92       | 185       | 1.5     | <20       | 69        | 167       | <1.0      | 2081      | <20       | <25      | 3337      | 8.6     | 344       | 39916     | 119       | 198       | 24356     | 148      | 1.60   |
| 340 | 6.25       | 338       | 2.5     | <20       | <50       | <50       | <1.0      | 69        | <20       | 688      | 188       | 15.0    | 294       | 11189     | 168       | <25       | 15331     | 207      | 0.50   |
| 342 | 8.33       | 367       | 3.3     | <20       | 67        | 83        | <1.0      | 625       | <20       | <25      | 125       | 15.5    | 142       | 12319     | 161       | 42        | 5017      | 295      | 0.42   |
| 343 | 3.85       | 331       | 5.0     | 38        | 54        | 50        | <1.0      | 892       | <20       | <25      | 635       | 14.2    | <50       | 11980     | 165       | <25       | 342       | 691      | 0.46   |
| 344 | 7.14       | 414       | 4.3     | 21        | 64        | 157       | <1.0      | 79        | <20       | <25      | 393       | 13.1    | <50       | 9382      | 40        | 36        | <150      | 6516     | 0.29   |
| 345 | 2.94       | 424       | 10.9    | 112       | 421       | 685       | <1.0      | 226       | 47        | <25      | 1544      | 9.6     | <50       | 5433      | 137       | <25       | <150      | 157      | 13.68  |
| 346 | 1.00       | 159       | 0.8     | <2        | 7         | 16        | <0.1      | 12        | <2        | 2        | 20        | 19.3    | 6         | 6887      | 250       | 19        | <15       | 117      | 0.02   |
| 347 | 1.00       | 168       | 1.5     | 8         | 22        | 91        | <0.1      | 31        | 33        | 2        | 390       | 16.3    | 22        | 4841      | 192       | 8         | 1114      | 98       | 0.79   |
| 348 | 1.00       | 129       | 1.0     | <2        | 9         | 14        | <0.1      | 47        | 7         | 16       | 30        | 19.8    | 7         | 5122      | 213       | 15        | 160       | 71       | 0.08   |
| 349 | 2.78       | 339       | 1.4     | <20       | <50       | <50       | <1.0      | 36        | <20       | <25      | <100      | 17.8    | <50       | 10370     | 275       | <25       | <150      | 117      | <0.20  |
| 350 | 1.00       | 138       | 1.6     | 10        | 15        | 53        | <0.1      | 14        | 66        | 2        | 20        | 19.9    | 3         | 5256      | 223       | 6         | 46        | 73       | 1.01   |
| 351 | 1.00       | 321       | 6.7     | 151       | 254       | 896       | 1.4       | 131       | 544       | 2        | 555       | 9.3     | 6         | 4711      | 133       | <1        | 315       | 66       | 20.64  |
| 352 | 1.00       | 148       | 1.1     | 3         | 6         | 26        | <0.1      | 15        | 13        | 4        | 15        | 20.5    | 3         | 5355      | 237       | 23        | 114       | 76       | 0.19   |
| 353 | 1.00       | 174       | 1.3     | 4         | 13        | 37        | <0.1      | 17        | 14        | 2        | 10        | 18.0    | 11        | 3329      | 177       | 7         | 294       | 81       | 0.21   |
| 354 | 1.00       | 178       | 0.9     | 4         | 37        | 14        | <0.1      | 21        | 5         | 2        | 40        | 16.2    | 17        | 8148      | 247       | 2         | 574       | 106      | 0.14   |
| 355 | 7.14       | 343       | 2.9     | <20       | 93        | 236       | 1.4       | 479       | 21        | <25      | 143       | 13.5    | <50       | 37172     | 170       | <25       | <150      | 293      | 1.71   |
| 356 | 1.00       | 153       | 0.9     | 5         | 66        | 86        | <0.1      | 20        | 115       | 2        | 20        | 16.0    | 5         | 21300     | 211       | 10        | 51        | 234      | 0.28   |
| 357 | 1.00       | 126       | 2.5     | 16        | 68        | 154       | <0.1      | 277       | 57        | 2        | 125       | 16.7    | 45        | 7991      | 207       | 45        | 4408      | 89       | 2.04   |
| 359 | 1.00       | 206       | 1.2     | 4         | 16        | 28        | 0.1       | 10        | 18        | 2        | 60        | 17.0    | 16        | 14743     | 237       | 16        | 37        | 135      | 0.16   |
| 360 | 1.00       | 148       | 1.1     | 3         | 12        | 19        | <0.1      | 72        | 4         | 16       | 10        | 19.2    | 26        | 6237      | 208       | 26        | 115       | 94       | 0.11   |
| 362 | 3.57       | 321       | 2.1     | <20       | <50       | <50       | <1.0      | <20       | <20       | <25      | <100      | 16.0    | <50       | 6376      | 196       | <25       | <150      | 137      | 0.21   |
| 363 | 1.00       | 134       | 3.9     | 12        | 132       | 200       | <0.1      | 17        | 9         | 8        | 55        | 17.0    | 23        | 8383      | 200       | 23        | 78        | 128      | 3.71   |
| 364 | 1.11       | 184       | 1.0     | <20       | 83        | <50       | <1.0      | 124       | <20       | <25      | <100      | 17.8    | <50       | 8520      | 209       | <25       | <150      | 202      | 0.31   |
| 365 | 1.00       | 124       | 1.7     | 10        | 38        | 18        | <0.1      | 146       | 39        | 8        | 35        | 17.0    | 13        | 14017     | 227       | 13        | <15       | 177      | 1.30   |
| 366 | 3.85       | 235       | 2.3     | <20       | <50       | 196       | <1.0      | 31        | <20       | <25      | <100      | 15.6    | <50       | 8379      | 193       | <25       | 1877      | 161      | 0.50   |
| 367 | 4.55       | 314       | 1.8     | <20       | 100       | <50       | <1.0      | 186       | 86        | 36       | <100      | 12.6    | <50       | 26672     | 164       | <25       | 900       | 267      | 0.64   |

























## **APPENDICE D**

**Tableau statistique**

**TABLEAU STATISTIQUE**

|  | <b>Au</b>  | <b>Cr</b>  | <b>Fe t</b> | <b>Co</b>  | <b>Ni t</b> | <b>Zn t</b> | <b>Mo</b>  | <b>Sb</b>   | <b>La</b>   | <b>Ce</b>  | <b>Sm</b>   | <b>Eu</b>  | <b>Tb</b>  |
|--|------------|------------|-------------|------------|-------------|-------------|------------|-------------|-------------|------------|-------------|------------|------------|
|  | <b>ppm</b> | <b>ppm</b> | <b>%</b>    | <b>ppm</b> | <b>ppm</b>  | <b>ppm</b>  | <b>ppm</b> | <b>ppm</b>  | <b>ppm</b>  | <b>ppm</b> | <b>ppm</b>  | <b>ppm</b> | <b>ppm</b> |
| <b>Nombre de déterminations totales</b>    | 700        | 682        | 682         | 682        | 682         | 682         | 682        | 682         | 682         | 682        | 682         | 682        | 682        |
| <b>Valeur minimale</b>                     | <0.01      | 220        | 9.4         | <23        | <20         | <100        | 2          | <0.1        | 32          | <50        | 6           | <1         | 1.9        |
| <b>Valeur maximale</b>                     | 12.00      | >140400    | 67.0        | 278        | 500         | 18500       | 257        | 5105        | 26545       | 60909      | 7020        | 1523       | 606.4      |
| <b>Médiane (nd)</b>                        | 0.01       | 2830       | 42.3        | 54         | 34          | 230         | 6          | 0.8         | 190         | 400        | 46          | 5          | 7.2        |
| <b>Moyenne arithmétique (nd)</b>           | 0.16       | 4357       | 42.2        | 57         | 44          | 339         | 7          | 3.2         | 276         | 572        | 72          | 7          | 8.6        |
| <b>Écart type (nd)</b>                     | 1.03       | 5562       | 5.2         | 19         | 34          | 549         | 8          | 12.8        | 353         | 790        | 92          | 10         | 6.2        |
| <b>Limite de détection analytique (nd)</b> | 0.01       | 20         | 0.2         | 37         | 300         | 770         | 37         | 0.5         | 2           | 5          | 0.05        | 13         | 5.9        |
| <b>Limite de détection analytique (d)</b>  | 0.1        | 200        | 2.0         | 50         | 200         | 2500        | 40         | 1.0         | 20          | 50         | 10          | 10         | 5          |
|  |            |            |             |            |             |             |            |             |             |            |             |            |            |
|  | <b>Yb</b>  | <b>Lu</b>  | <b>Hf</b>   | <b>Ta</b>  | <b>Th</b>   | <b>U</b>    | <b>Mn</b>  | <b>Fe p</b> | <b>Ni p</b> | <b>Cu</b>  | <b>Zn p</b> | <b>Ag</b>  | <b>Pb</b>  |
|  | <b>ppm</b> | <b>ppm</b> | <b>ppm</b>  | <b>ppm</b> | <b>ppm</b>  | <b>ppm</b>  | <b>ppm</b> | <b>%</b>    | <b>ppm</b>  | <b>ppm</b> | <b>ppm</b>  | <b>ppm</b> | <b>ppm</b> |
| <b>Nombre de déterminations totales</b>    | 682        | 682        | 682         | 682        | 682         | 702         | 702        | 702         | 702         | 702        | 702         | 702        | 702        |
| <b>Valeur minimale</b>                     | 9          | <2.0       | <40         | <5         | 8           | 3           | 24         | 0.6         | <2          | 2          | 8           | <0.1       | 3          |
| <b>Valeur maximale</b>                     | 650        | 78.6       | 4750        | 44         | 3023        | 143         | 6055       | 26.0        | 281         | 2620       | 13750       | 27.2       | 154839     |
| <b>Médiane (nd)</b>                        | 33         | 4.8        | 380         | 23         | 58          | 12          | 163        | 1.5         | 4           | 10         | 17          | 0.1        | 17         |
| <b>Moyenne arithmétique (nd)</b>           | 35         | 4.9        | 459         | 23         | 66          | 15          | 191        | 1.8         | 9           | 36         | 64          | 0.2        | 91         |
| <b>Écart type (nd)</b>                     | 14         | 1.4        | 315         | 5          | 39          | 9           | 276        | 1.1         | 17          | 97         | 393         | 1.0        | 297        |
| <b>Limite de détection analytique (nd)</b> | 10         | 20.0       | 1           | 0.5        | 0.2         | 5           | 1          | 0.1         | 2           | 1          | 1           | 0.1        | 2          |
| <b>Limite de détection analytique (d)</b>  | 20         | 2.0        | 40          | 5          | 10          | 5           | 100        | 1.0         | 20          | 50         | 50          | 1.0        | 20         |
|  |            |            |             |            |             |             |            |             |             |            |             |            |            |
|  | <b>As</b>  | <b>W</b>   | <b>Hg</b>   | <b>Ti</b>  | <b>Sr</b>   | <b>Zr</b>   | <b>Nb</b>  | <b>Sn</b>   | <b>Ba</b>   | <b>Y</b>   | <b>S</b>    |            |            |
|  | <b>ppm</b> | <b>ppm</b> | <b>ppb</b>  | <b>%</b>   | <b>ppm</b>  | <b>ppm</b>  | <b>ppm</b> | <b>ppm</b>  | <b>ppm</b>  | <b>ppm</b> | <b>ppm</b>  |            | <b>%</b>   |
| <b>Nombre de déterminations totales</b>    | 696        | 699        | 691         | 697        | 701         | 694         | 691        | 692         | 696         | 695        | 688         |            |            |
| <b>Valeur minimale</b>                     | <2         | 2          | <5          | <0.5       | 1           | 484         | 10         | <1          | <15         | 10         | <0.01       |            |            |
| <b>Valeur maximale</b>                     | 1168       | >10000     | 98000       | 28.5       | 4606        | 118261      | 322        | 4206        | 610526      | 6516       | 36.70       |            |            |
| <b>Médiane (nd)</b>                        | 5          | 2          | 35          | 16.1       | 8           | 10008       | 185        | 17          | 34          | 118        | 0.05        |            |            |
| <b>Moyenne arithmétique (nd)</b>           | 32         | 7          | 418         | 15.9       | 11          | 13262       | 185        | 26          | 600         | 125        | 0.96        |            |            |
| <b>Écart type (nd)</b>                     | 115        | 19         | 5133        | 2.3        | 22          | 11814       | 34         | 82          | 5071        | 55         | 3.71        |            |            |
| <b>Limite de détection analytique (nd)</b> | 2          | 2          | 5           | 0.01       | 1           | 1           | 1          | 1           | 15          | 1          | 0.01        |            |            |
| <b>Limite de détection analytique (d)</b>  | 20         | 25         | 100         | 0.5        | 50          | 2000        | 10         | 25          | 150         | 50         | 0.2         |            |            |

(nd) échantillon non dilué

(d) échantillon dilué

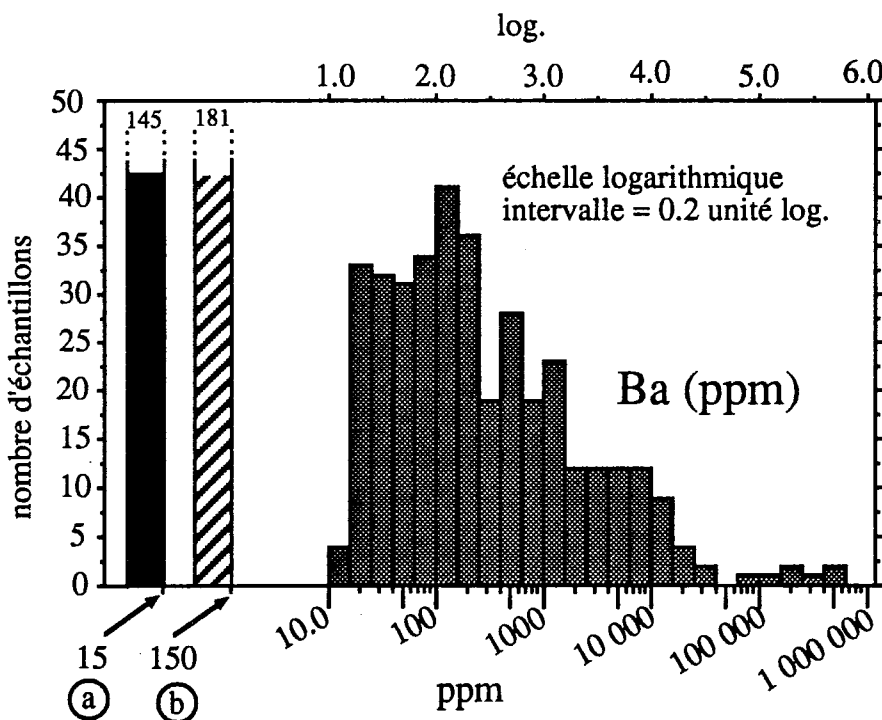
NOTE 1 Pour les analyses à l'activation neutronique, la limite de détection analytique est variable. Pour les échantillons non dilués, la valeur maximale est inscrite.

NOTE 2 Pour les échantillons dilués, la limite de détection pour tous les éléments est de 10X la valeur maximale arrondie de l'analyse d'une série de «blancs» (silice pure).

NOTE 3 Pour les valeurs sous la limite de détection analytique, on a utilisé la moitié de cette limite pour construire ce tableau.

## APPENDICE E

### Histogrammes des valeurs analytiques



(a) limite de détection analytique -  
échantillons non-dilués



échantillons non-dilués sous la limite de détection  
analytique

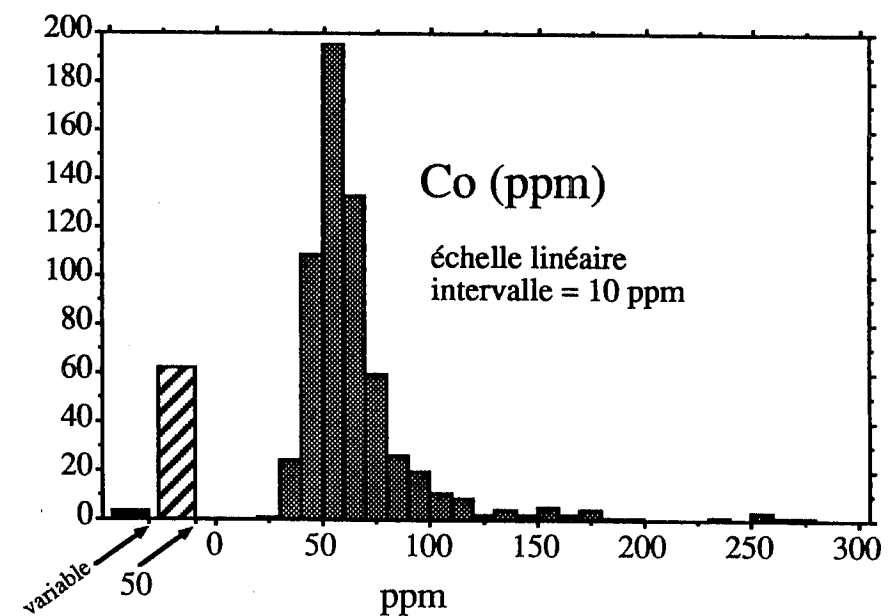
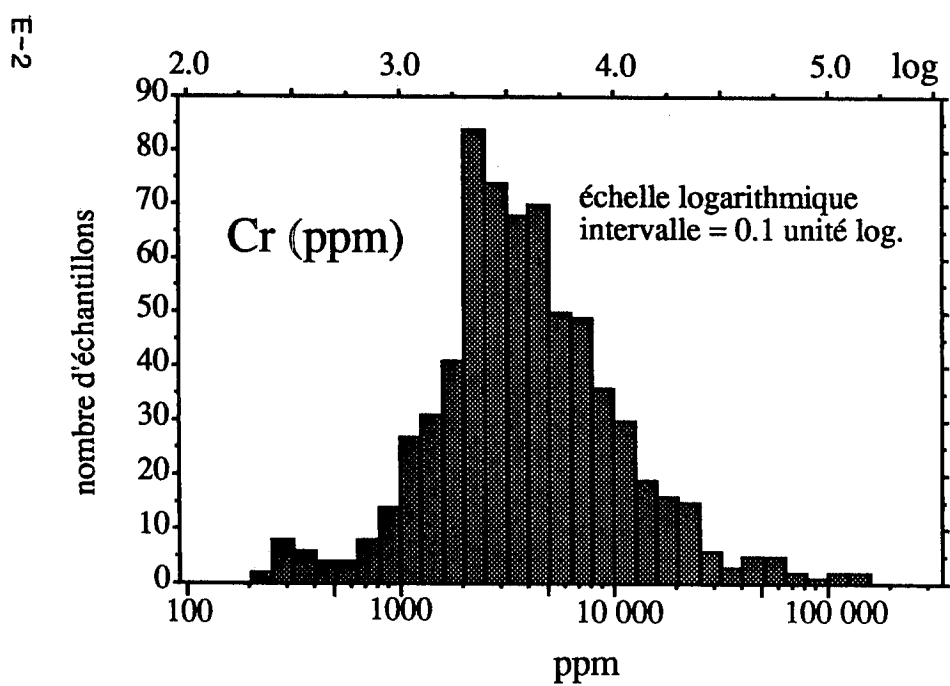
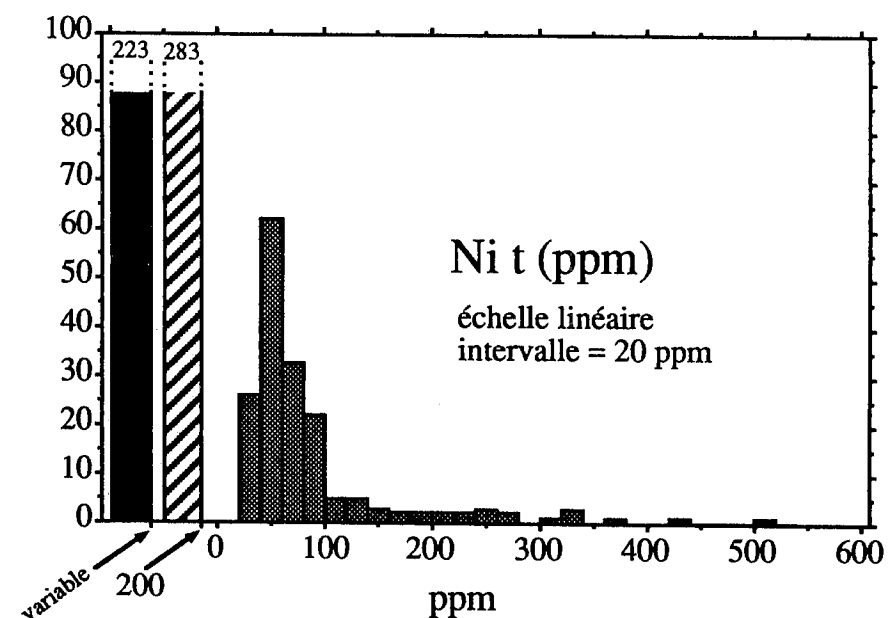
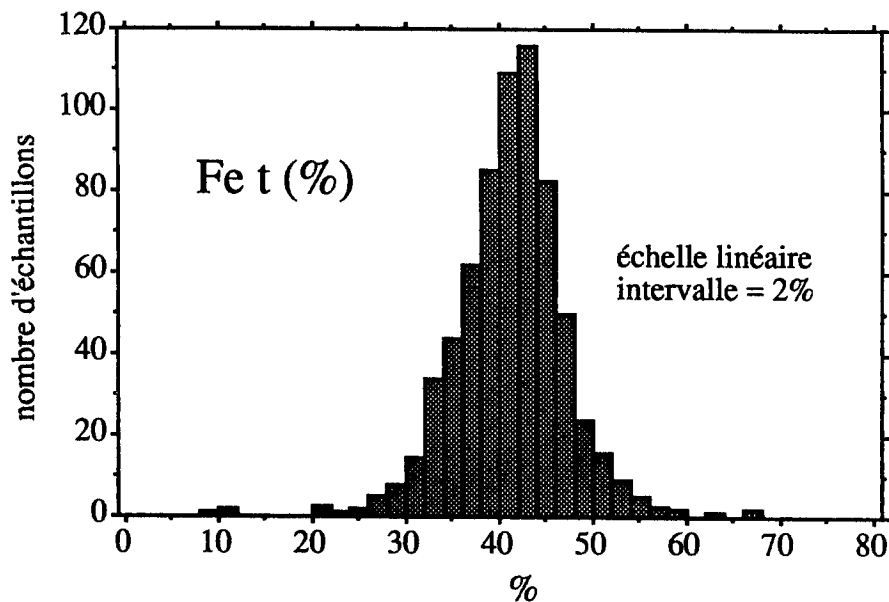
(b) limite de détection analytique -  
échantillons dilués

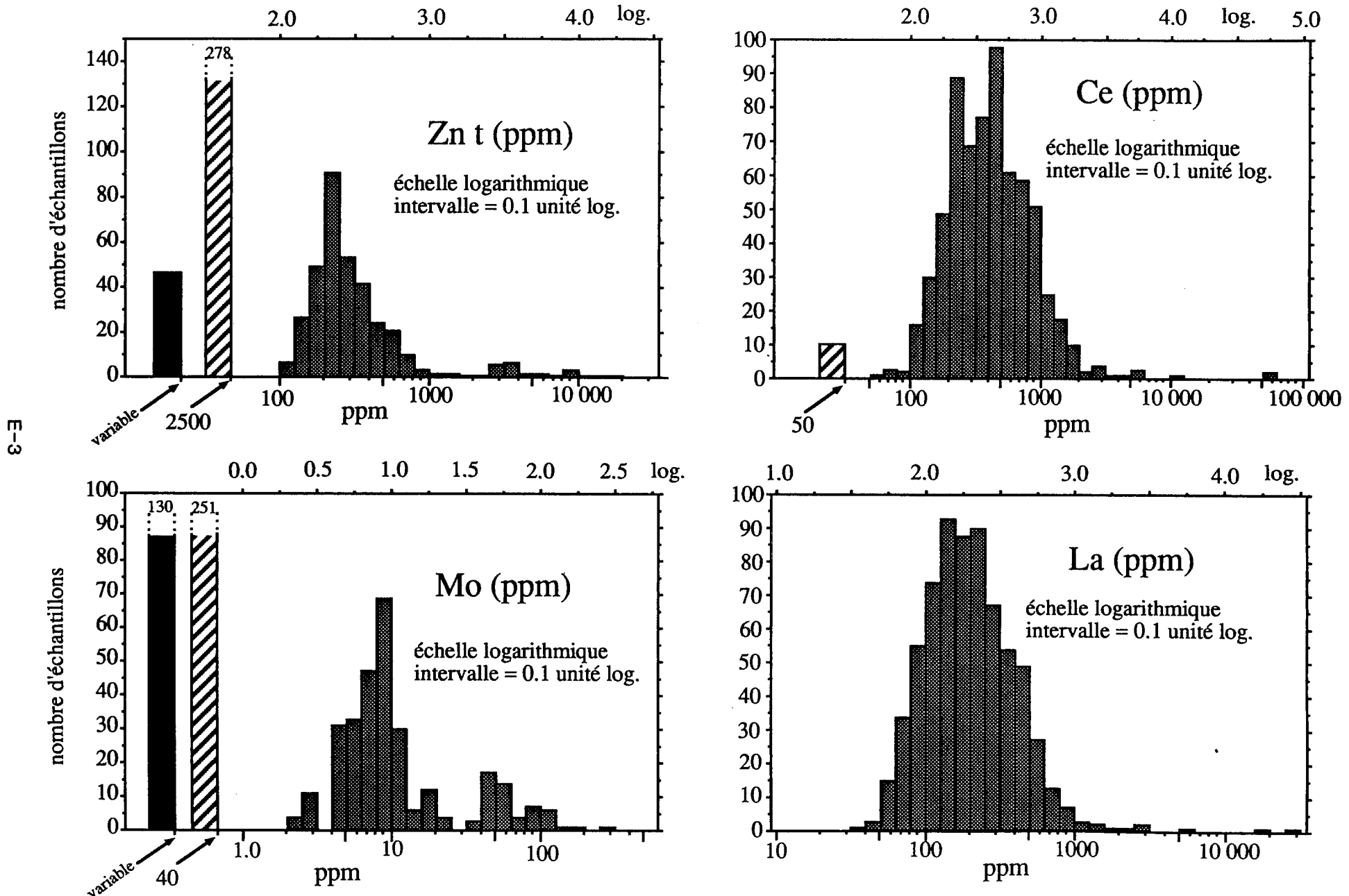


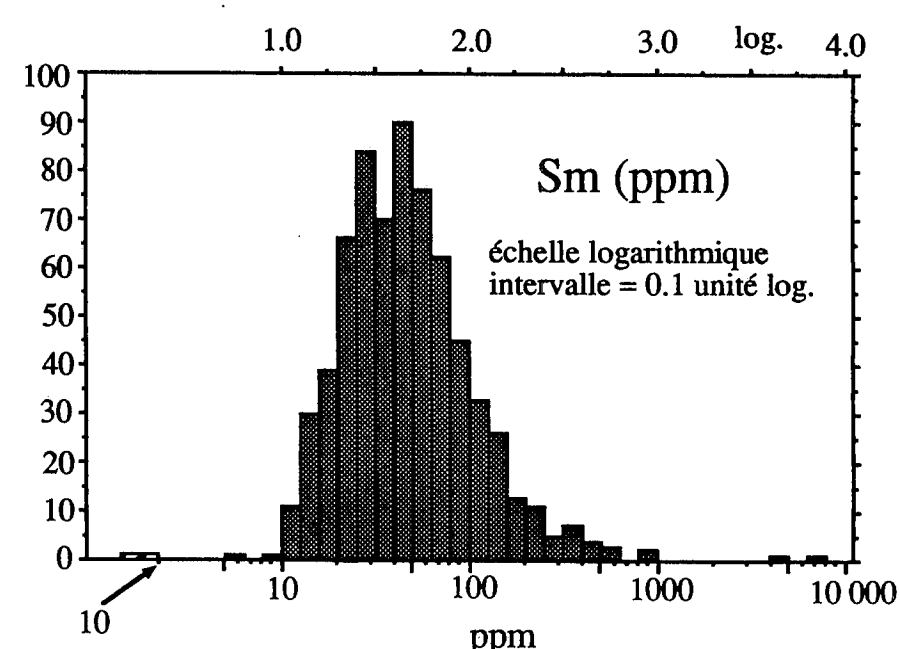
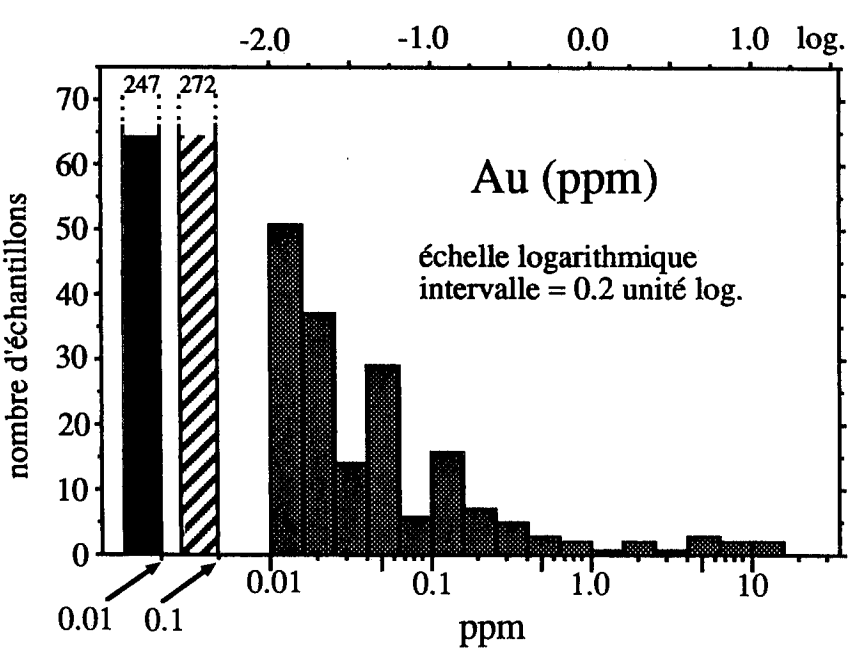
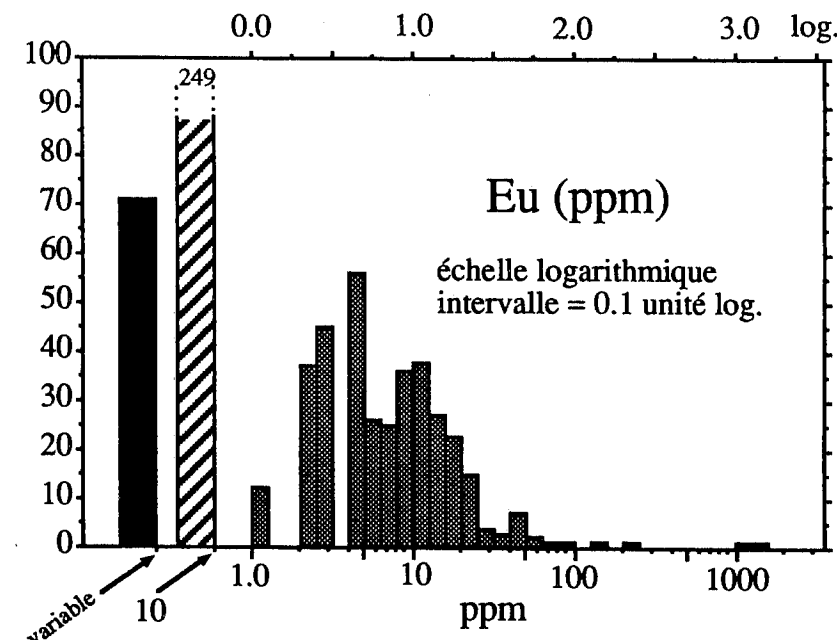
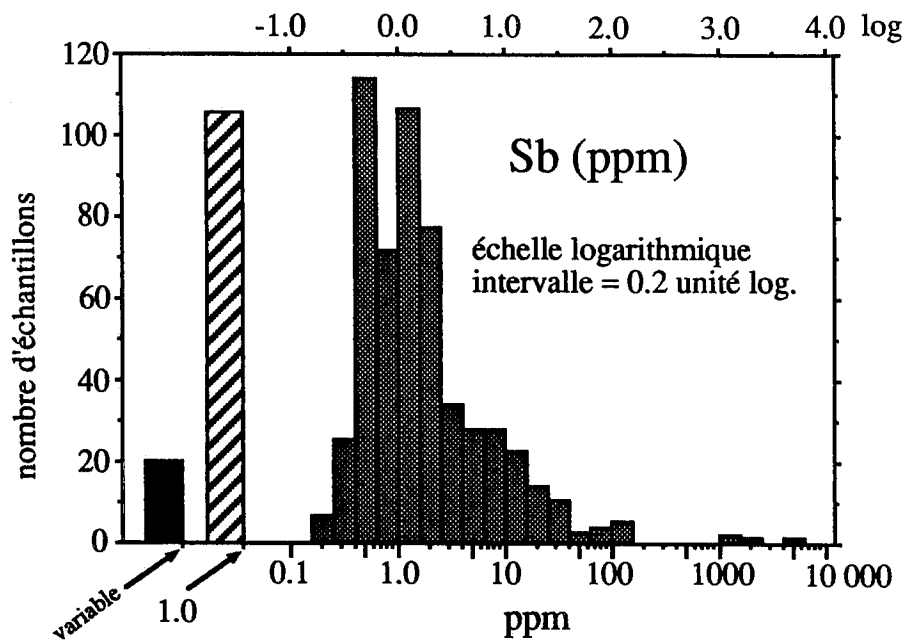
échantillons dilués sous la limite de détection  
analytique

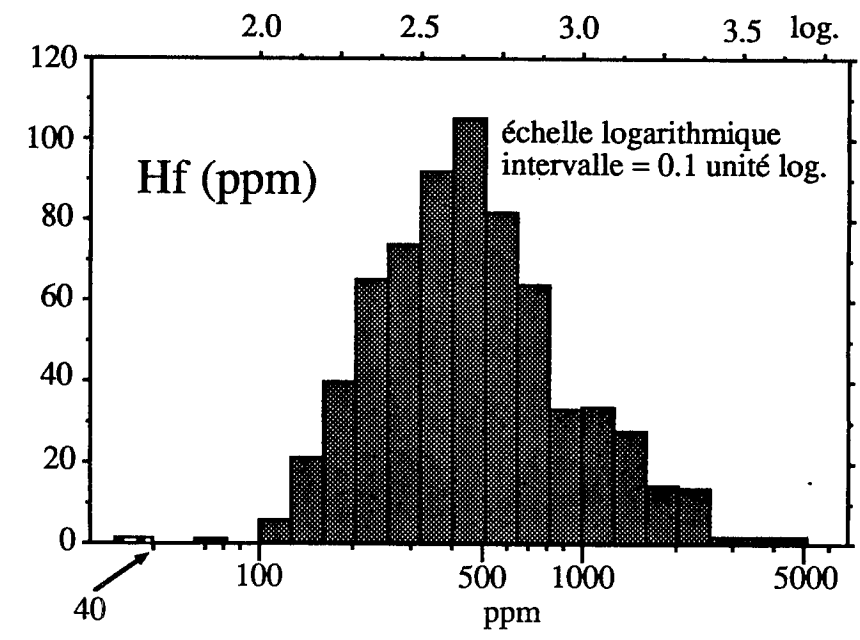
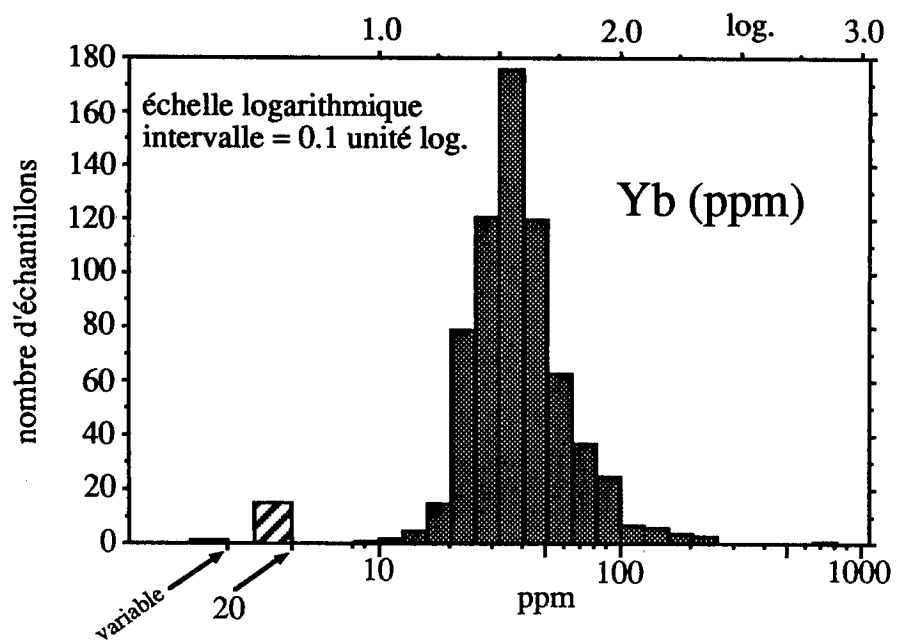
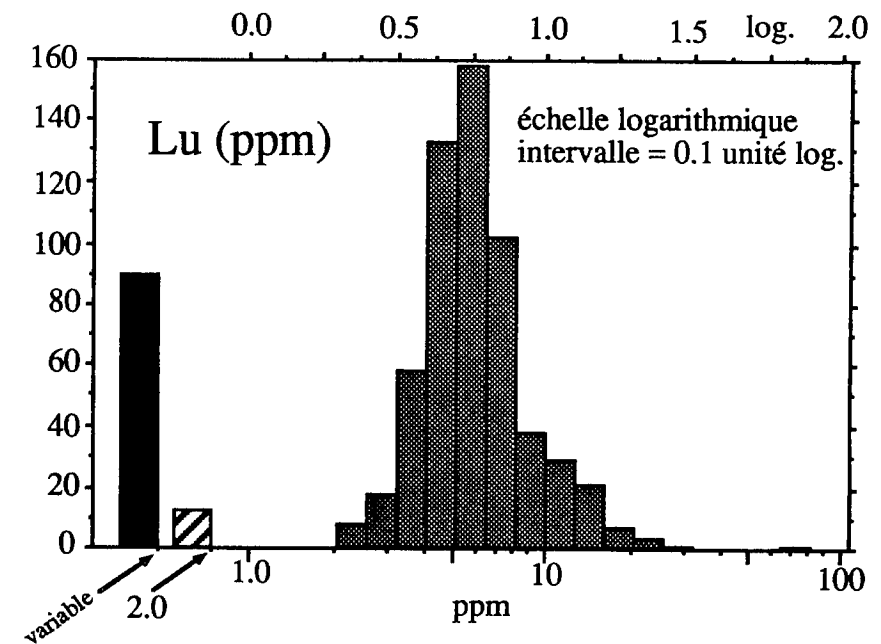
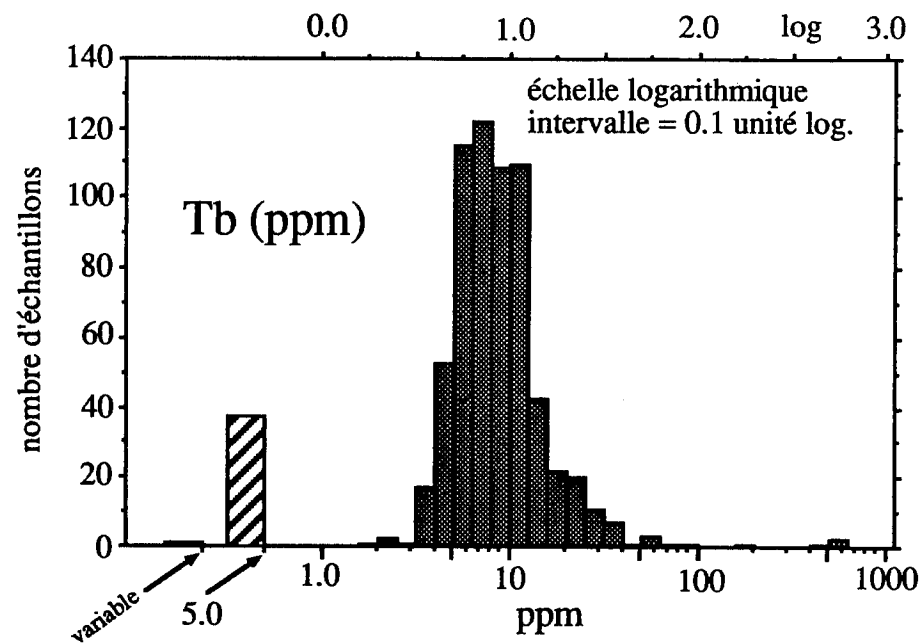


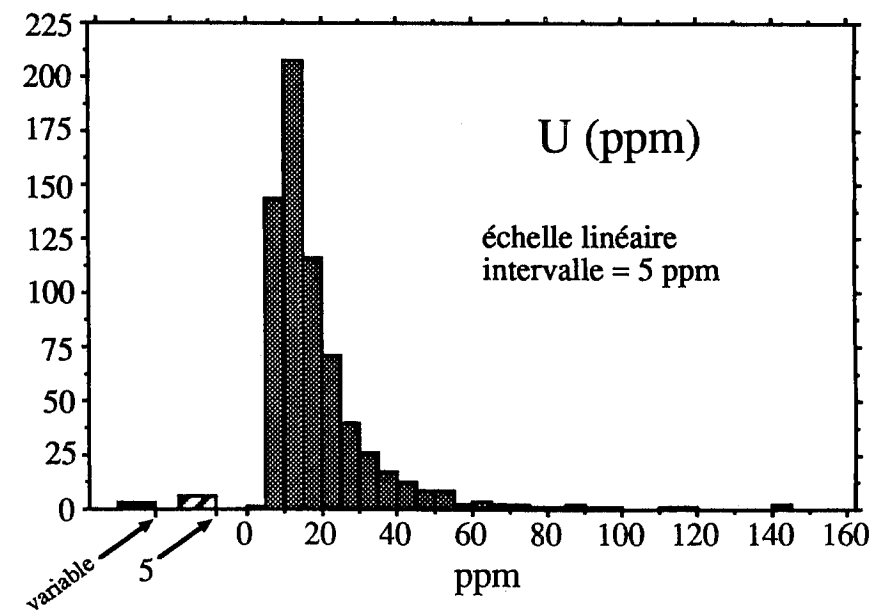
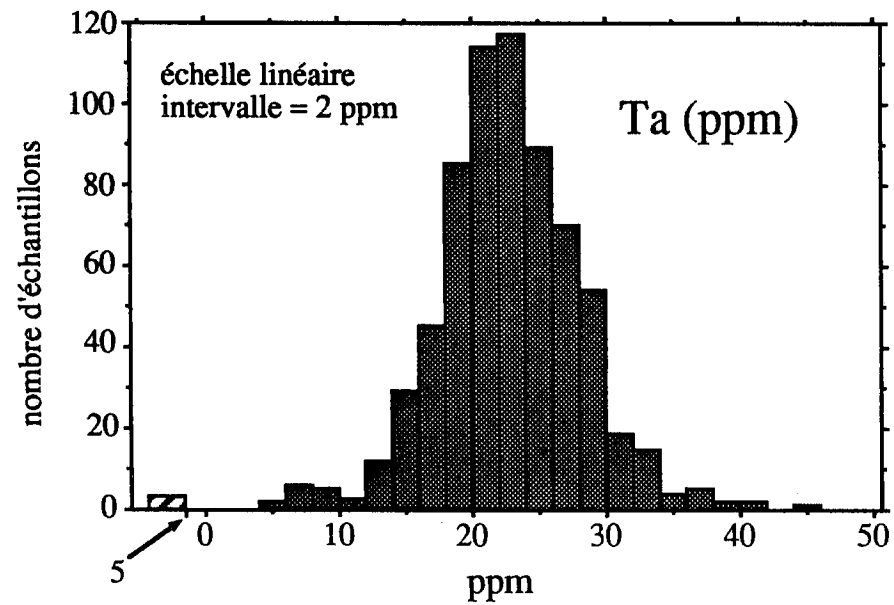
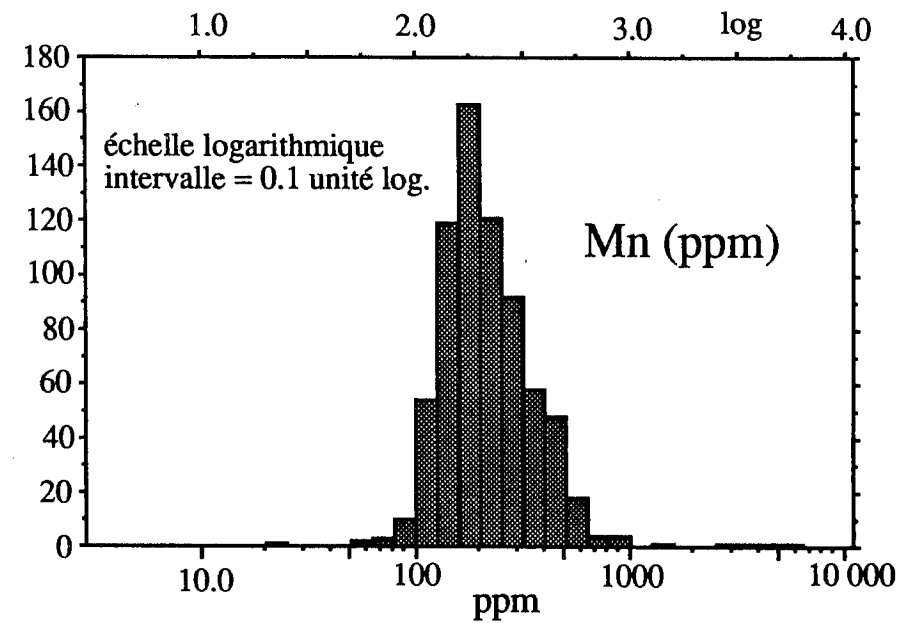
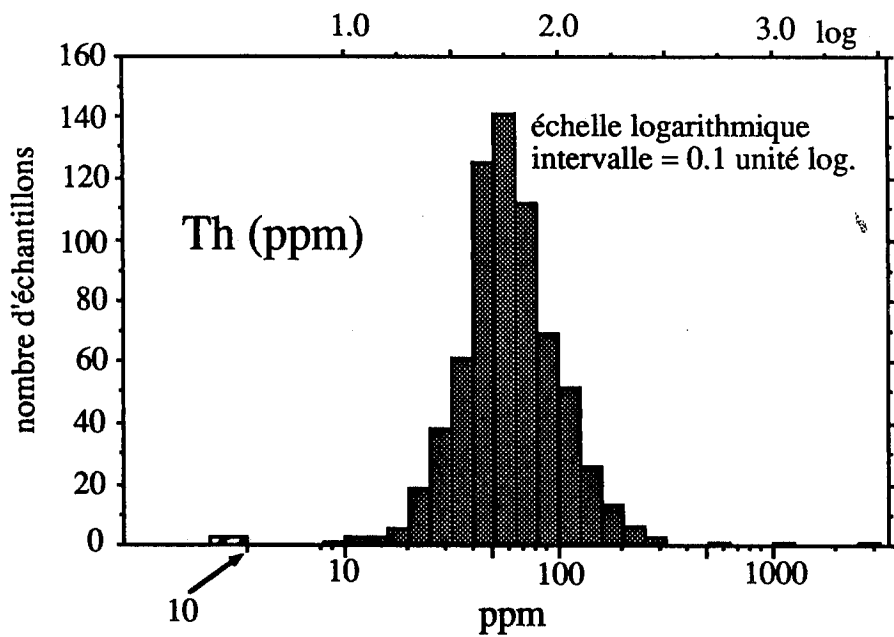
échantillons dilués et non-dilués au-dessus de la  
limite de détection analytique

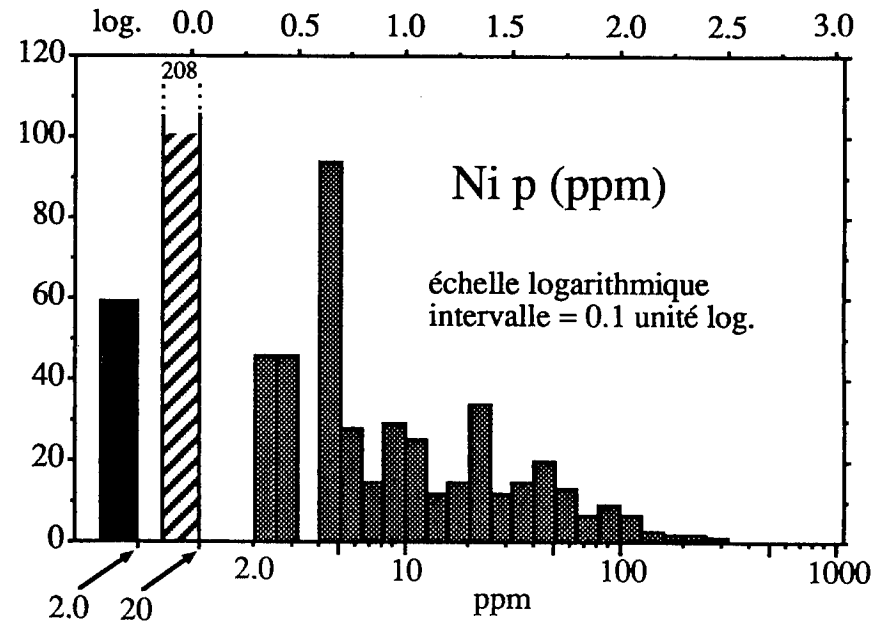
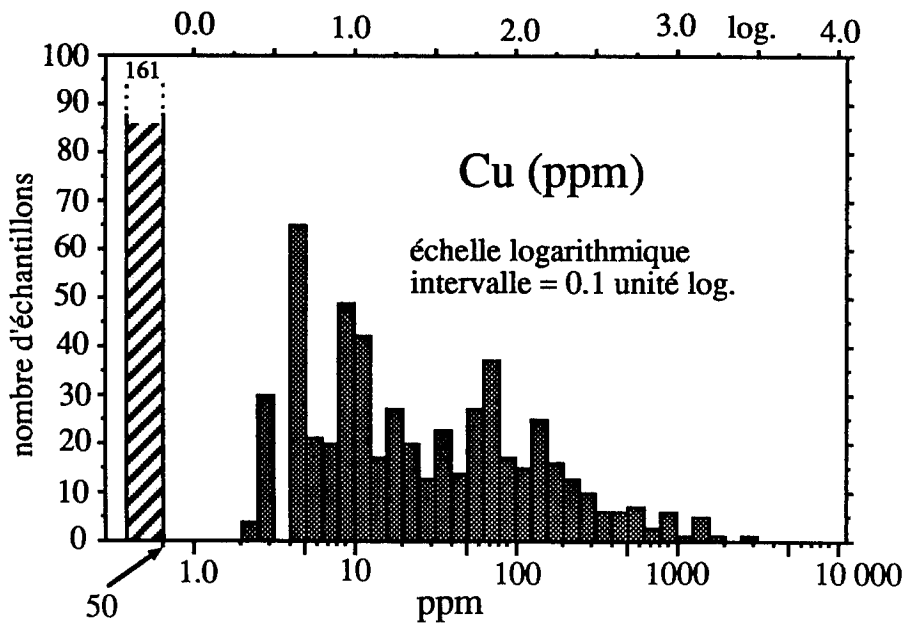
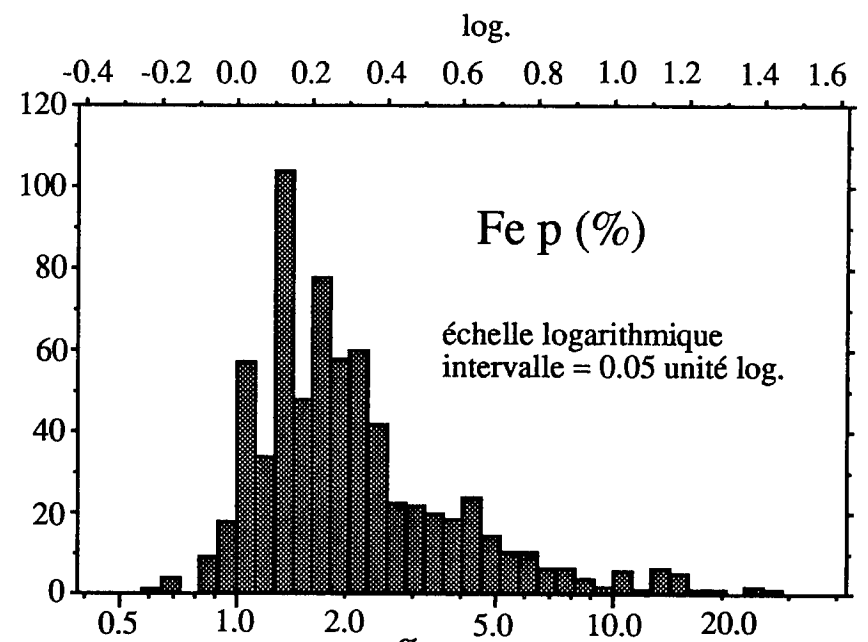
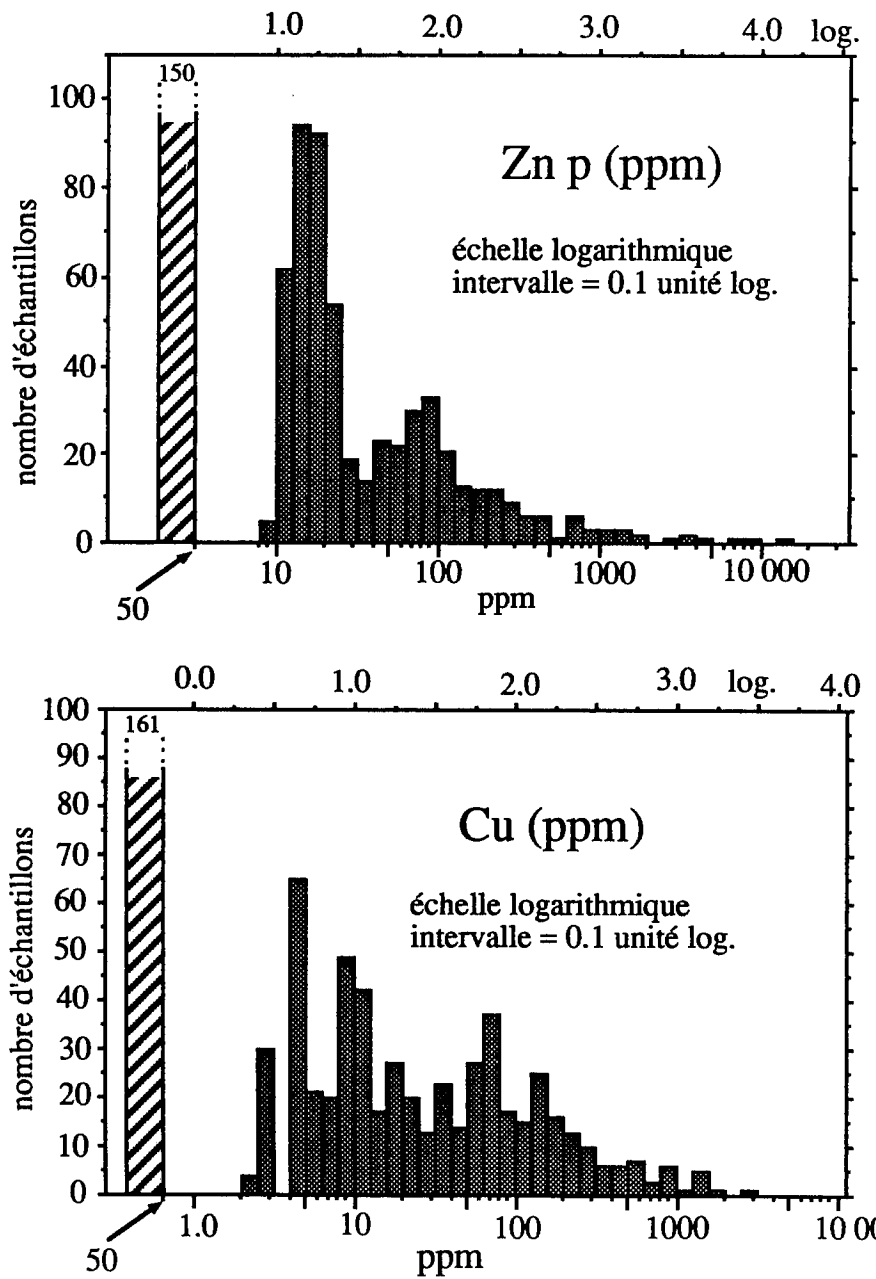


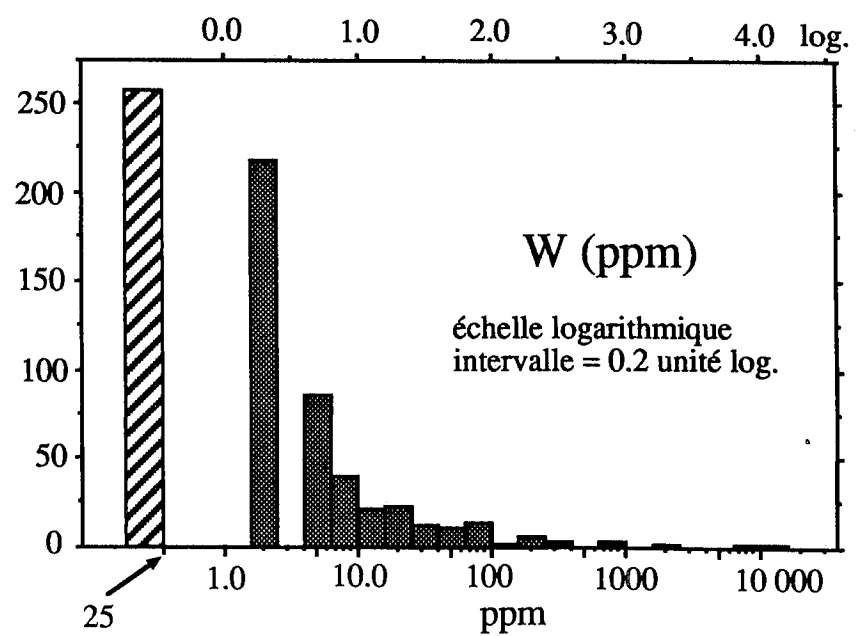
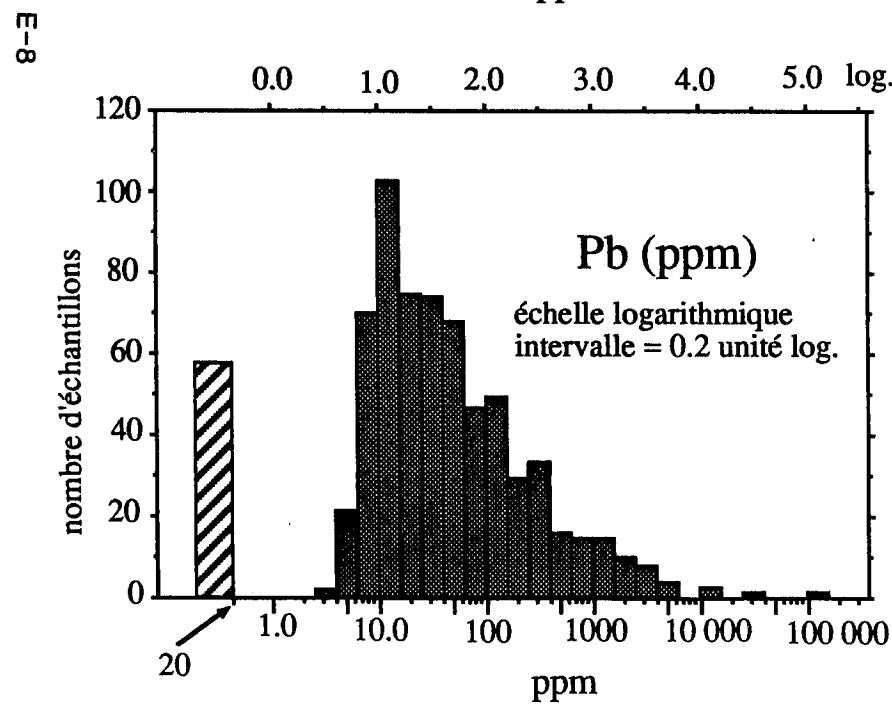
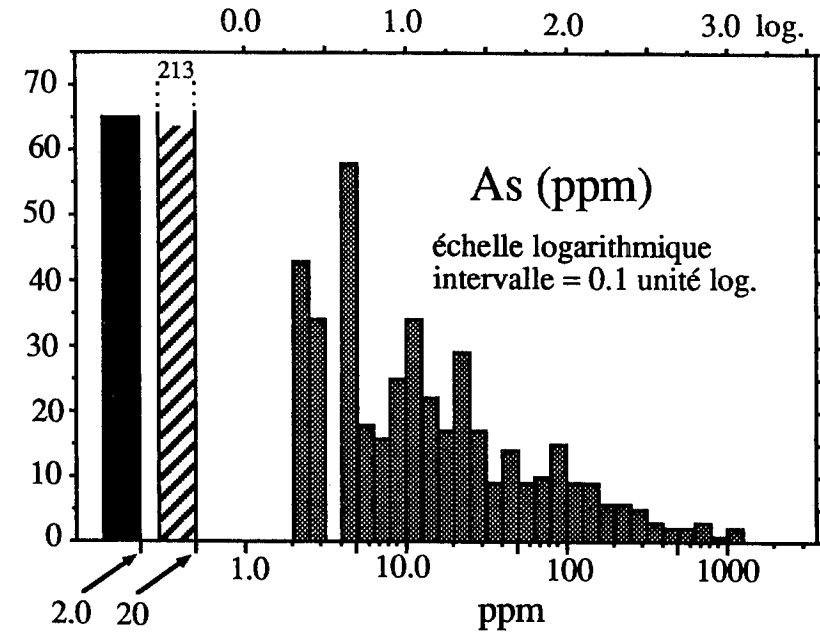
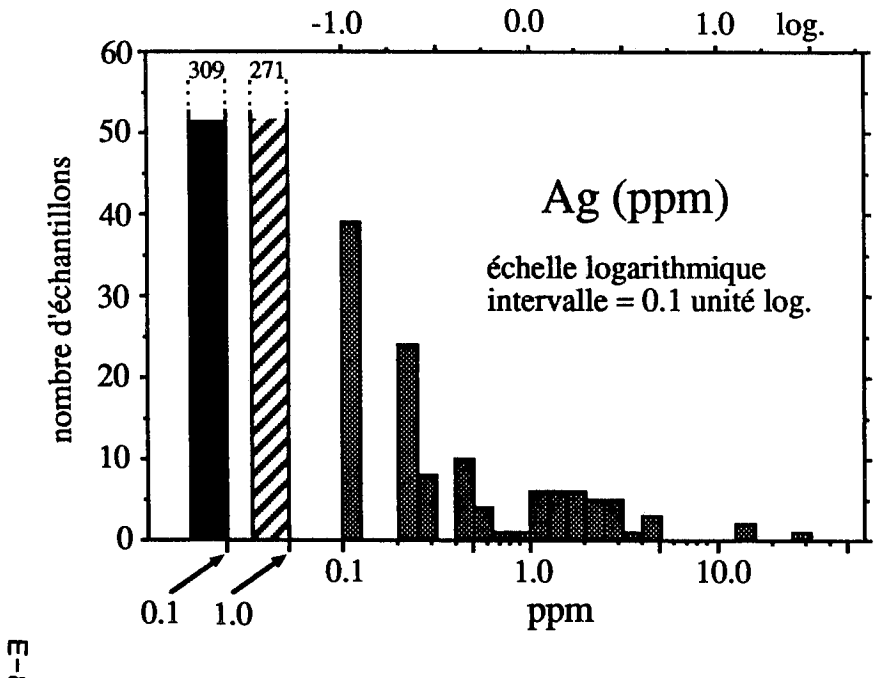


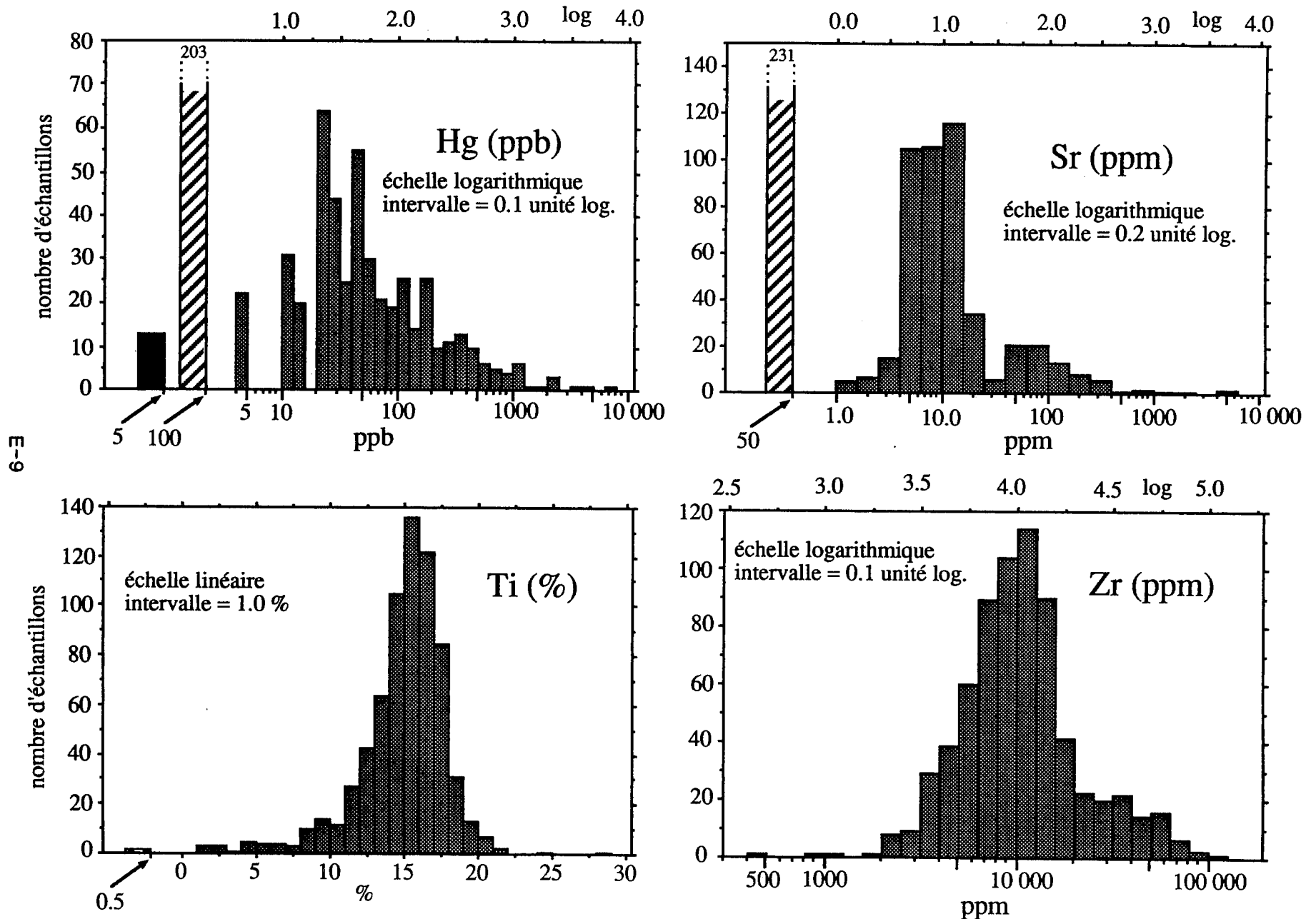


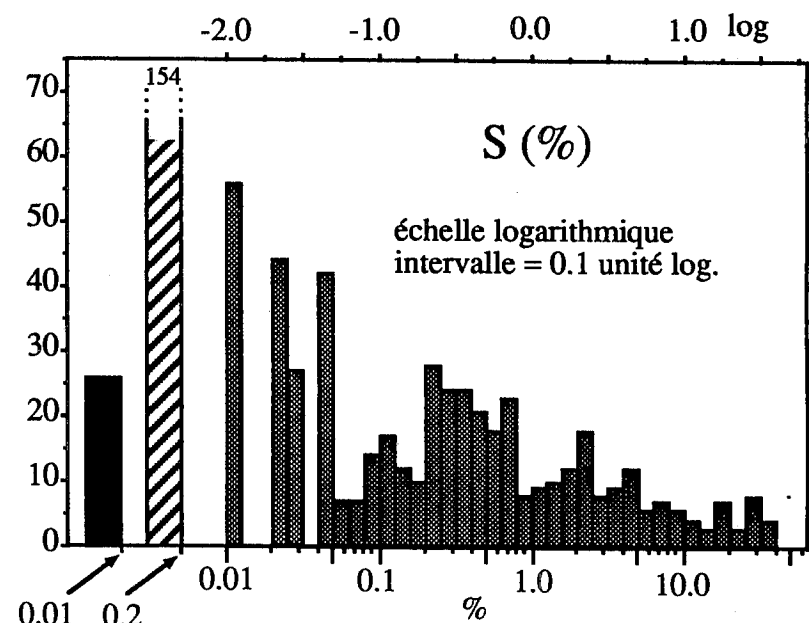
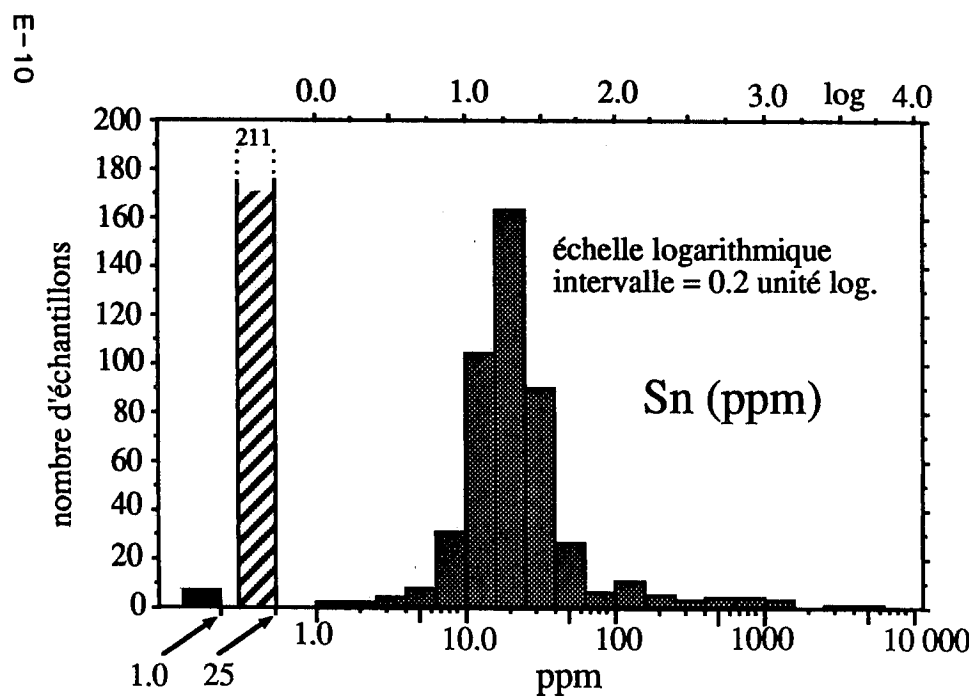
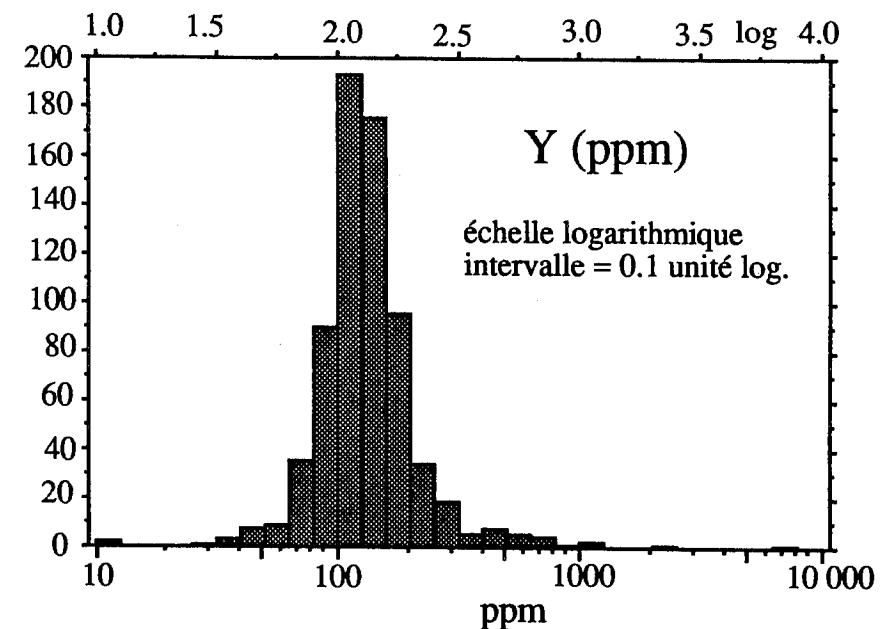
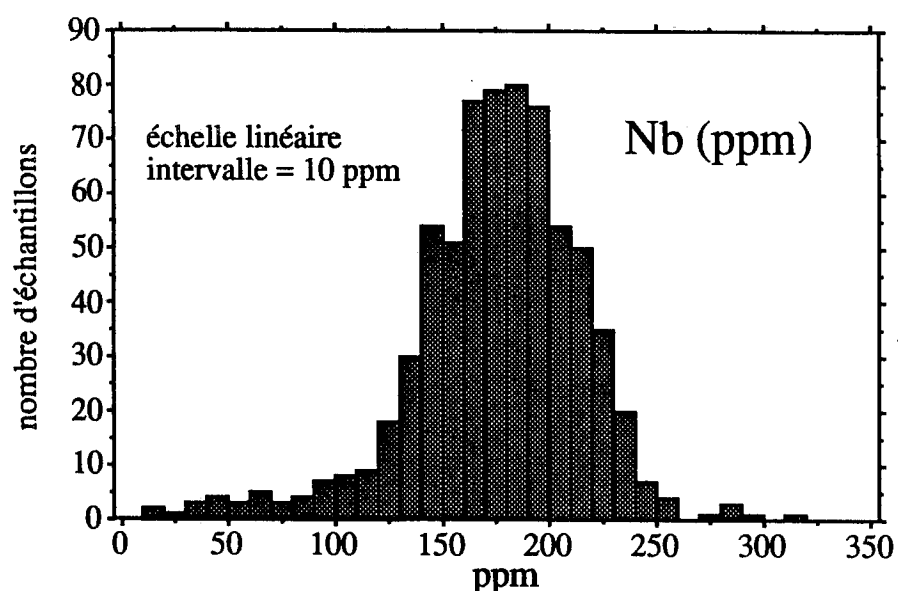












## **APPENDICE F**

### **Tableau des corrélations**

(échantillons non-dilués seulement)

| Au   | Cr    | Fet   | Co    | Nit   | Znt   | Mo    | Sb    | Lu    | Ce    | Sm    | Eu    | Tb    | Yb    | Lu    | Hf    | Ts    | Th    | U     | Mn    | Fep   | Nip   | Cu    | Znp   | Ag    | Pb    | As    | W     | Hg    | Tl    | Sr    | Zr    | Nb    | Sn    | Ba    | Y     | S     |
|------|-------|-------|-------|-------|-------|-------|-------|-------|-------|-------|-------|-------|-------|-------|-------|-------|-------|-------|-------|-------|-------|-------|-------|-------|-------|-------|-------|-------|-------|-------|-------|-------|-------|-------|-------|-------|
| 1.00 | 0.07  | 0.08  | 0.14  | -0.01 | 0.00  | -0.05 | -0.02 | -0.06 | -0.05 | -0.06 | -0.05 | -0.06 | -0.11 | -0.13 | -0.10 | -0.12 | -0.08 | -0.11 | -0.01 | 0.04  | 0.04  | -0.00 | -0.01 | -0.00 | -0.02 | 0.00  | -0.02 | -0.01 | 0.06  | -0.02 | -0.08 | -0.15 | -0.02 | -0.00 | -0.09 | -0.02 |
| 1.00 | -0.03 | 0.51  | 0.20  | 0.04  | -0.03 | -0.02 | -0.02 | -0.01 | 0.02  | 0.04  | 0.19  | 0.20  | 0.16  | 0.06  | 0.04  | 0.07  | 0.07  | 0.03  | 0.06  | 0.07  | 0.04  | 0.02  | 0.01  | 0.02  | 0.02  | -0.03 | -0.03 | -0.05 | 0.05  | 0.04  | -0.07 | -0.02 | 0.07  | 0.29  | -0.01 |       |
| 1.00 | 0.15  | 0.02  | -0.03 | -0.10 | 0.00  | -0.01 | -0.02 | -0.07 | -0.06 | -0.05 | -0.01 | -0.07 | -0.00 | 0.01  | 0.01  | 0.05  | -0.01 | 0.05  | -0.00 | 0.01  | -0.01 | -0.01 | 0.01  | -0.02 | 0.11  | 0.14  | 0.03  | -0.08 | -0.07 | -0.29 | -0.00 | -0.04 | -0.14 | -0.05 |       |       |
| 1.00 | 0.53  | 0.39  | 0.26  | 0.16  | -0.06 | -0.05 | -0.07 | -0.04 | 0.04  | -0.05 | -0.09 | -0.21 | -0.24 | -0.09 | -0.17 | 0.09  | 0.51  | 0.58  | 0.20  | 0.38  | 0.06  | 0.11  | 0.46  | 0.06  | -0.05 | -0.35 | 0.25  | -0.20 | -0.39 | -0.02 | 0.23  | 0.07  | 0.52  |       |       |       |
| 1.00 | 0.74  | 0.52  | 0.12  | 0.22  | 0.23  | 0.13  | 0.20  | 0.23  | 0.09  | 0.09  | 0.03  | -0.16 | 0.17  | 0.08  | 0.06  | 0.40  | 0.50  | 0.23  | 0.45  | 0.12  | 0.09  | 0.33  | -0.02 | 0.00  | -0.47 | 0.32  | 0.01  | -0.34 | 0.01  | 0.31  | 0.09  | 0.42  |       |       |       |       |
| 1.00 | 0.55  | 0.05  | 0.09  | 0.10  | 0.01  | 0.08  | 0.05  | 0.00  | 0.05  | 0.00  | -0.13 | 0.07  | 0.01  | 0.05  | 0.27  | 0.33  | 0.22  | 0.74  | 0.09  | 0.06  | 0.30  | -0.02 | -0.01 | -0.32 | 0.51  | -0.01 | -0.24 | -0.00 | 0.51  | -0.00 | 0.33  |       |       |       |       |       |
| 1.00 | 0.11  | 0.06  | 0.07  | 0.03  | 0.06  | 0.04  | -0.07 | -0.00 | 0.00  | -0.20 | 0.01  | -0.03 | 0.08  | 0.52  | 0.38  | 0.21  | 0.37  | 0.05  | 0.07  | 0.58  | -0.05 | -0.02 | -0.47 | 0.24  | -0.01 | -0.25 | 0.02  | 0.22  | -0.02 | 0.55  |       |       |       |       |       |       |
| 1.00 | 0.00  | 0.00  | -0.00 | 0.01  | -0.01 | -0.05 | -0.03 | -0.05 | -0.17 | -0.05 | -0.05 | 0.43  | 0.26  | 0.18  | 0.58  | 0.07  | 0.29  | 0.78  | 0.19  | -0.04 | 0.04  | -0.26 | 0.03  | -0.06 | -0.17 | 0.73  | 0.01  | -0.11 | 0.24  |       |       |       |       |       |       |       |
| 1.00 | 1.00  | 0.86  | 0.89  | 0.85  | 0.19  | 0.15  | 0.16  | 0.20  | 0.83  | 0.19  | -0.08 | -0.03 | -0.05 | -0.01 | -0.05 | -0.04 | -0.02 | -0.02 | -0.04 | -0.03 | -0.02 | -0.02 | -0.02 | 0.14  | 0.08  | -0.03 | -0.02 | 0.22  | -0.05 |       |       |       |       |       |       |       |
| 1.00 | 0.87  | 0.91  | 0.86  | 0.18  | 0.15  | 0.14  | 0.18  | 0.82  | 0.18  | -0.07 | -0.02 | -0.04 | -0.01 | -0.05 | -0.04 | -0.01 | -0.02 | -0.04 | -0.03 | -0.02 | -0.02 | -0.02 | 0.12  | 0.06  | -0.03 | -0.02 | 0.22  | -0.04 |       |       |       |       |       |       |       |       |
| 1.00 | 0.97  | 0.81  | 0.14  | 0.12  | 0.08  | 0.22  | 0.66  | 0.11  | -0.07 | 0.01  | -0.03 | 0.02  | -0.05 | -0.04 | 0.00  | 0.00  | -0.04 | -0.04 | 0.03  | -0.01 | 0.07  | 0.09  | -0.03 | -0.03 | 0.25  | -0.03 |       |       |       |       |       |       |       |       |       |       |
| 1.00 | 0.87  | 0.16  | 0.13  | 0.07  | 0.18  | 0.69  | 0.10  | -0.04 | 0.02  | -0.02 | 0.03  | -0.01 | -0.04 | 0.00  | 0.01  | -0.03 | -0.03 | -0.01 | 0.03  | 0.06  | 0.04  | -0.02 | 0.02  | 0.29  | -0.02 |       |       |       |       |       |       |       |       |       |       |       |
| 1.00 | 0.39  | 0.33  | 0.17  | 0.23  | 0.73  | 0.23  | -0.05 | 0.03  | -0.02 | 0.03  | -0.06 | -0.05 | 0.00  | -0.04 | 0.00  | -0.02 | -0.03 | -0.00 | 0.15  | 0.06  | -0.03 | -0.01 | 0.62  | -0.06 |       |       |       |       |       |       |       |       |       |       |       |       |
| 1.00 | 0.96  | 0.77  | 0.46  | 0.51  | 0.82  | -0.03 | -0.17 | -0.18 | 0.01  | -0.05 | -0.06 | 0.01  | -0.11 | -0.07 | 0.13  | -0.11 | 0.01  | 0.72  | 0.20  | -0.02 | 0.04  | 0.63  | -0.14 |       |       |       |       |       |       |       |       |       |       |       |       |       |
| 1.00 | 0.65  | 0.47  | 0.49  | 0.86  | -0.05 | -0.17 | -0.18 | -0.01 | -0.03 | -0.05 | 0.02  | -0.11 | -0.10 | 0.15  | -0.12 | 0.08  | 0.81  | 0.21  | -0.01 | 0.11  | 0.57  | -0.12 |       |       |       |       |       |       |       |       |       |       |       |       |       |       |
| 1.00 | 0.47  | 0.52  | 0.91  | -0.07 | -0.20 | -0.18 | -0.04 | -0.02 | -0.03 | -0.02 | -0.07 | -0.13 | 0.12  | -0.11 | -0.04 | 0.97  | 0.18  | -0.03 | 0.01  | 0.25  | -0.08 |       |       |       |       |       |       |       |       |       |       |       |       |       |       |       |
| 1.00 | 0.47  | 0.46  | -0.07 | -0.52 | -0.47 | -0.19 | -0.18 | -0.04 | -0.12 | -0.41 | -0.05 | -0.09 | 0.50  | -0.01 | 0.41  | 0.76  | -0.06 | 0.04  | 0.20  | -0.44 |       |       |       |       |       |       |       |       |       |       |       |       |       |       |       |       |
| 1.00 | 0.57  | -0.11 | -0.18 | -0.16 | -0.06 | -0.05 | -0.02 | -0.04 | -0.10 | -0.02 | 0.00  | 0.03  | -0.01 | 0.49  | 0.25  | -0.06 | 0.03  | 0.28  | -0.12 |       |       |       |       |       |       |       |       |       |       |       |       |       |       |       |       |       |
| 1.00 | -0.08 | -0.21 | -0.19 | -0.06 | -0.03 | -0.02 | -0.03 | -0.08 | -0.09 | 0.29  | -0.13 | -0.04 | 0.88  | 0.14  | -0.04 | 0.01  | 0.31  | -0.09 |       |       |       |       |       |       |       |       |       |       |       |       |       |       |       |       |       |       |
| 1.00 | 0.17  | 0.08  | 0.61  | 0.03  | 0.01  | 0.25  | 0.04  | -0.02 | -0.01 | -0.08 | 0.02  | -0.08 | -0.06 | 0.40  | 0.01  | -0.04 | 0.05  |       |       |       |       |       |       |       |       |       |       |       |       |       |       |       |       |       |       |       |
| 1.00 | 0.84  | 0.48  | 0.37  | 0.14  | 0.23  | 0.69  | 0.02  | 0.01  | -0.64 | 0.14  | -0.19 | -0.53 | 0.08  | 0.11  | 0.03  | 0.77  |       |       |       |       |       |       |       |       |       |       |       |       |       |       |       |       |       |       |       |       |
| 1.00 | 0.41  | 0.52  | 0.17  | 0.16  | 0.69  | -0.01 | -0.00 | -0.60 | 0.04  | -0.16 | -0.48 | 0.01  | 0.02  | -0.03 | 0.83  |       |       |       |       |       |       |       |       |       |       |       |       |       |       |       |       |       |       |       |       |       |
| 1.00 | 0.32  | 0.28  | 0.46  | 0.32  | -0.05 | 0.03  | -0.33 | 0.02  | -0.05 | -0.21 | 0.46  | 0.02  | 0.03  | 0.36  |       |       |       |       |       |       |       |       |       |       |       |       |       |       |       |       |       |       |       |       |       |       |
| 1.00 | 0.14  | 0.11  | 0.52  | -0.01 | 0.01  | -0.38 | 0.46  | -0.03 | -0.26 | -0.01 | 0.46  | -0.02 |       |       |       |       |       |       |       |       |       |       |       |       |       |       |       |       |       |       |       |       |       |       |       |       |
| 1.00 | 0.33  | 0.15  | -0.03 | 0.25  | -0.11 | 0.01  | -0.04 | -0.03 | 0.17  | 0.01  | -0.08 | 0.16  |       |       |       |       |       |       |       |       |       |       |       |       |       |       |       |       |       |       |       |       |       |       |       |       |
| 1.00 | 0.16  | -0.05 | 0.04  | -0.18 | 0.04  | -0.03 | -0.10 | 0.81  | 0.02  | -0.08 | -0.16 |       |       |       |       |       |       |       |       |       |       |       |       |       |       |       |       |       |       |       |       |       |       |       |       |       |
| 1.00 | -0.04 | 0.00  | -0.64 | 0.01  | -0.07 | -0.45 | -0.01 | -0.01 | -0.07 | 0.88  |       |       |       |       |       |       |       |       |       |       |       |       |       |       |       |       |       |       |       |       |       |       |       |       |       |       |
| 1.00 | -0.02 | 0.12  | -0.00 | -0.11 | -0.05 | -0.03 | 0.01  | 0.05  | -0.04 |       |       |       |       |       |       |       |       |       |       |       |       |       |       |       |       |       |       |       |       |       |       |       |       |       |       |       |
| 1.00 | -0.13 | 0.01  | 0.12  | -0.13 | 0.03  | 0.00  | 0.00  | 0.02  |       |       |       |       |       |       |       |       |       |       |       |       |       |       |       |       |       |       |       |       |       |       |       |       |       |       |       |       |
| 1.00 | -0.16 | -0.11 | 0.61  | -0.06 | -0.11 | -0.06 | -0.71 |       |       |       |       |       |       |       |       |       |       |       |       |       |       |       |       |       |       |       |       |       |       |       |       |       |       |       |       |       |
| 1.00 | -0.06 | -0.08 | -0.00 | 0.97  | 0.02  | 0.07  |       |       |       |       |       |       |       |       |       |       |       |       |       |       |       |       |       |       |       |       |       |       |       |       |       |       |       |       |       |       |
| 1.00 | 0.14  | -0.04 | -0.01 | 0.24  | -0.08 |       |       |       |       |       |       |       |       |       |       |       |       |       |       |       |       |       |       |       |       |       |       |       |       |       |       |       |       |       |       |       |
| 1.00 | -0.01 | -0.06 | 0.11  | -0.47 |       |       |       |       |       |       |       |       |       |       |       |       |       |       |       |       |       |       |       |       |       |       |       |       |       |       |       |       |       |       |       |       |
| 1.00 | -0.01 | -0.08 | -0.01 |       |       |       |       |       |       |       |       |       |       |       |       |       |       |       |       |       |       |       |       |       |       |       |       |       |       |       |       |       |       |       |       |       |
| 1.00 | 0.03  | 0.05  |       |       |       |       |       |       |       |       |       |       |       |       |       |       |       |       |       |       |       |       |       |       |       |       |       |       |       |       |       |       |       |       |       |       |
| 1.00 | -0.07 |       |       |       |       |       |       |       |       |       |       |       |       |       |       |       |       |       |       |       |       |       |       |       |       |       |       |       |       |       |       |       |       |       |       |       |
| 1.00 | S     |       |       |       |       |       |       |       |       |       |       |       |       |       |       |       |       |       |       |       |       |       |       |       |       |       |       |       |       |       |       |       |       |       |       |       |

Nombre d'échantillons actifs : 377

## APPENDICE G

### RESULTS AND INTERPRETATION OF A HEAVY MINERAL GEOCHEMICAL SURVEY IN THE LOWER ST. LAWRENCE REGION OF QUEBEC (N.T.S. 21N/6, 7, 9, 10, 11, 14, 15, 16; 22C/1, 2, 3)

Geological Survey of Canada Open File 2036

by Y. T. Maurice

(Translation from French by the author)

#### 1) INTRODUCTION

This report contains the results and a brief interpretation of a heavy mineral geochemical survey carried out in 1987 in the Lower St. Lawrence region of Quebec. The area sampled is approximately 8400 km<sup>2</sup> and includes parts of Kamouraska, Témiscouata, Rivière-du-Loup and Rimouski counties. It covers the Quebec portions of the following N.T.S. 1/50 000 sheets: 21N/6, 7, 9, 10, 11, 14, 15, 16, and 22C/1, 2, 3. (figure 1).

The methodology used in this survey is similar to the one used since 1984 in Quebec's Eastern Townships region. In the Eastern Townships, over 16 000 km<sup>2</sup> have been covered by heavy mineral geochemical surveys and the results are contained in three Geological Survey of Canada Open Files: nos 1145, 1332, and 1918. Other reports on this work have been published and the main ones can be found in the list of references (see Maurice et Mercier, 1985a, Maurice, 1986a, 1987, 1988a and b, 1989).

#### 2) SAMPLING AND ANALYTICAL TECHNIQUES

In the Lower St. Lawrence region, a total of 728 samples were collected on as many sites resulting in an average sample density of one sample per 11.5 km<sup>2</sup>. The method used to collect the samples in streams and the one used to prepare the heavy mineral concentrates have been described in detail by Maurice and Mercier (1985a and b, and 1986); readers are asked to consult these publications for more information. For the non-specialists, an overview of the methods, including a generalization on how to interpret the results, can be found in Maurice (1987).

Sample sites are generally chosen near intersections between roads and small streams. The sample is collected several tens of metres upstream from the intersection to avoid contamination from the road-building material. At each site, a heavy mineral preconcentrate is extracted by running about 250 kg of stream gravels through a portable suction dredge. This apparatus operates by vacuuming the streambed which facilitates sampling underwater and enables to reach deeper layers of stream sediments, in which the denser minerals, including native gold, have a tendency to accumulate. The final heavy mineral concentrate is prepared in the laboratory using a spiral concentrator commercially known as GOLDHOUND. The concentrate is sieved to ±0.85 mm and magnetite is removed using a hand magnet. The non-magnetic fraction is then split in two parts, one for chemical analyses and the other for mineralogical studies. Concentrates produced by this technique are very pure; the bulk of the grains are situated between 100 and 400 µm and their density is ≥3.6 g/cm<sup>3</sup>. There are very few grains of light minerals in the concentrates and, therefore, it is generally not necessary to process them any further prior to chemical analysis using, for example, heavy liquids.

Figure 2a shows schematically the procedure used to prepare the heavy mineral concentrates in the laboratory following the method described above. This is the standard procedure which was used routinely in the Eastern Townships. In the Lower St. Lawrence, because a large proportion (~50%) of the preconcentrates collected with the suction dredge contained close to, or less than the minimum amount of non-magnetic heavy minerals required to perform all the chemical analyses (5g), it was necessary to modify the procedure as indicated in figure 2b.

First, the spiral concentrator was set to extract the maximum amount of heavy minerals. Under normal circumstances, the concentrator is set to extract a heavy mineral concentrate which is practically free of light mineral grains. To obtain such a pure concentrate, we must accept to lose a certain amount of heavy minerals. This loss, however, has minimal effect on the analytical results because the analyses represent the composition of the concentrate and are independent of the amount of heavies in the concentrate<sup>1</sup>.

The spiral concentrator set to process the Lower St. Lawrence samples, produced concentrates that for the most part, were contaminated with light minerals. This contamination increased as the amount of heavies in the preconcentrate decreased. This light fraction had the effect of diluting the heavy fraction; in the cases where light minerals represented more than a small proportion of the concentrate ( $\approx 10\%$ ), their influence on the chemical analyses would have been significant and they had to be removed.

Exceptionally, therefore, it was necessary for the Lower St. Lawrence project to "clean" some of the concentrates with heavy liquids. About 80% (581 of the 728 concentrates) were treated with methelene iodide (S.G.=3.3g/cm<sup>3</sup>). Following this operation, 326 concentrates ( $\approx 45\%$ ) did not contain the minimum 5g required for the chemical analyses. To those concentrates, we added pure silica (Fisher Scientific Co., product #S-153) in order to bring their weights to 5g<sup>2</sup>.

Appendix B contains the lab sheets showing, for each sample, the weight of the magnetite removed (MAGNÉTITE), the weights of both portions of non-magnetic heavy minerals (RÉCIP. No 1 and No 2), the weight of the coarse fraction (+0,85 mm), and the excess weight (EXCES) for those rare concentrates that exceed the combined capacity of vials 1 and 2 (about 80g each). The total amount of heavy minerals recovered can be calculated by adding these fractions but the total will be less than the actual amount of heavies originally contained in the stream gravels processed, because of losses incurred while sampling with the suction dredge and during the preparation of the concentrate in the lab. Note that column "RÉCIP. No 1" in Appendix B represents the fraction sent for chemical analyses. The weights shown correspond to the heavy minerals before adding silica. It is these weights that were brought to 5g by adding silica when they were less than 5g.

The lab sheets (Appendix B) also indicate the presence of polluting metallic particles seen in the concentrates during their preparation and identify the control reference samples and blind duplicates used to control the quality of the analyses.

The concentrates that exceed 5g of heavies were prepared using a technique designed specifically for the analysis of samples that may contain coarse particulate gold. The technique consists in grinding the entire sample in a ring and puck pulverizer, and to sieve it at  $\pm 106\mu\text{m}$  (150 mesh in the Tyler system). About 50% of the fine fraction ( $-106\mu\text{m}$ ) is analyzed directly for gold and a dozen other elements by neutron activation. The total coarse fraction ( $+106\mu\text{m}$ ), which includes the flattened gold particles, is analyzed by fire assay and atomic absorption. The final result is calculated by mathematically distributing the gold content of the fine and coarse fractions over the initial weight of concentrate. For the samples which were diluted with silica, the mixture is pulverized and about half ( $\approx 2.5\text{g}$ ) is analyzed by neutron activation. The other half is used for atomic absorption, colorimetric and gravimetric analyses (see below). The special grinding procedure, described above, is not recommended for the samples diluted with silica.

The other elements which were analyzed by neutron activation are: Cr, Fe, Co, Ni, Zn, Mo, Sb, La, Ce, Sm, Eu, Tb, Yb, Lu, Hf, Ta, Ir, Th, and U. This method gives *total* concentrations for these elements in the heavy mineral concentrates. The results are therefore higher than they would be if the same elements were analyzed by atomic absorption following an HCl/HNO<sub>3</sub> acid leach. This latter technique gives *partial* concentrations that reflect the metal content of minerals that are soluble in these acids, such as sulphides, hydrous oxides and several secondary minerals. This partial analysis technique was used to determine Cu, Ni, Zn, Fe, Mn, Ag, and Pb. It follows that Ni, Zn, and Fe were analyzed by both methods.

<sup>1</sup> Not quite because there may be a difference between the composition of the heavy minerals that are recovered and that of the heavies that are lost. However, because the operation is carried in a consistent manner, these differences have no consequences on data interpretation.

<sup>2</sup> After having set aside a small amount (0.1 to 0.5g) for mineralogical studies.

Total analyses by X-ray fluorescence (compressed powders) was used to determine Ti, Nb, Sn, Sr, Zr, Ba, and Y. This procedure requires a minimum of 5g of sample material. But because it is non-destructive, it is carried out first, allowing the powdered sample to be reutilized immediately for the other analyses<sup>3</sup>. Arsenic and Tungsten were determined by colorimetry following nitric/perchloric acid decomposition and carbonate sintering respectively. Hg was obtained by cold vapor atomic absorption using a hydrochloric, nitric and sulphuric acid digestion with potassium permanganate. A gravimetric method was used to determine S.

### 3) ANALYTICAL RESULTS AND STATISTICS

The analytical results for all the elements analyzed are shown in table format in Appendix C. The *total* analyses of Fe, Zn and Ni by neutron activation are distinguished from the results of the *partial* atomic absorption analyses for those metals, by the letters "t" and "p" following the element symbol in the header. Note that the results of the partial analyses are generally significantly different from the results of the total analyses. This reflects the fact that the procedure involved in each case is aimed at a different range of mineral species and shows the importance of taking into account the type of analyses performed when interpreting geochemical data.

The second column on the tables of Appendix C (fct dil = dilution factor) is the factor by which the analytical results of each sample were multiplied to take into account the added silica (see previous section). This factor is obtained by dividing 5 by the weight of heavy minerals contained in "RÉCIP. No 1" in Appendix B. A factor of 1.00 indicates that the sample was not diluted (weight of heavies  $\geq$  5.0g). When the factor is >10 (e.i. weight of heavies recovered <0.5g), *ins* (insufficient sample) is shown for all the elements.

This approach for dealing with the "small" samples was evaluated by diluting standard heavy mineral concentrates with silica in various proportions and analyzing the resulting subsamples by the same techniques used for the regular samples. The results show that for all the elements except Nb, Y, and Zr, the variations are linear and the factor defined above is applicable. For Nb, Y, and Zr, which were analyzed by XRF, we observed a non-linear variation resulting from the high matrix contrasts associated with the differences in the proportions of heavy minerals and silica. With the experimental data, a second degree polynomial was calculated and used to make the corrections. These corrections were made using the following equation:

$$V_C = V_i \times P_5/P_x$$

where:  
 $V_C$  = corrected value  
 $V_i$  = initial value  
 $P_x$  = second degree polynomial  
 $P_5$  = polynomial resolved for  $x = 5$   
 $x$  = weight of heavy minerals in sample (g)

Figure 3 shows an example of a linear relation and figure 4 shows a second degree polynomial relation.

Twelve element distribution maps with contours (As, Au, Cr, Cu, Pb, Zn(p), Sb, Sn, Ag, Hg, W, and Ba) and a sample location map are attached to the report. In addition, several symbol plots at a reduced scale are incorporated with the text to facilitate discussion. Elements which are not shown in one form or the other, either have distribution patterns similar to other elements that are represented by maps, or lack significant anomalies. To assist readers in locating sample sites on the distribution maps, Appendix A lists sample numbers by N.T.S. sheets (1/50 000) and these are located on figure 1. Then, with the sample location map, users can locate the various sample sites with minimal searching.

Appendix D is a table showing basic statistics for all the elements analyzed. Histograms are shown in Appendix E and correlation coefficients, in Appendix F. Note that by adding silica to a certain number of samples, the analytical detection limits for those samples was increased by a factor equivalent to the dilution factor. This does not prevent pattern or anomaly recognition, however, because with heavy minerals, patterns and anomalies are generally defined by concentrations that are well above the analytical detection limits. However, in compiling certain basic statistics and the correlation coefficients (Appendices D & F), only data

<sup>3</sup> Contrary to neutron activation which is also non-destructive but requires a *cooling* period of several months

from undiluted samples were used because the parameters involved are equally influenced by low and high values.

## DIGITAL DATA

The analytical data with UTM coordinates in digital form are available in various formats from the author, Geological Survey of Canada, 601 Booth Street, Ottawa, Ontario, K1A 0E8.

### 4) DATA INTERPRETATION

#### 4.1) Effect of glacial geology on the abundance and regional distribution of metals

Results of heavy mineral geochemical surveys carried out in the Eastern Townships since 1984, have shown that the regional distribution of heavy minerals, mapped by the same methods as used in this project, reflect largely glacial dispersal. Alluvial or fluvial dispersal of heavy minerals is generally not observed at the present scale of mapping (Maurice, 1988a&b). Previous work has also shown that the heavy minerals collected derive mostly from unconsolidated surficial deposits near the sample sites.

In the Lower St. Lawrence region, glacial events influenced heavy mineral distribution as they have in the Eastern Townships. However, basic differences in the glacial regimes and other geological differences (e.g. bedrock composition), have led to basic differences in the heavy mineral dispersal patterns of both regions.

The Eastern Townships contain many volcanic and intrusive rock units, and also sedimentary, that are very rich in heavy minerals. These units were eroded by advancing Pleistocene ice sheets and their debris form an important component of the thick glacial deposits that cover nearly the entire region. In the Lower St. Lawrence, there are no significant volcanic or intrusive units which could have supplied appreciable amounts of heavy minerals to the glacial deposits and the local sedimentary formations are generally poor in heavy minerals. Furthermore, at least 50% of the study area, mostly in the northern half, is covered by only a very thin glacial veneer.

In the Eastern Townships, as in the Lower St. Lawrence, glacial deposits are composed of an important fraction, including heavy minerals, that derives from the Grenville Province of the Canadian Shield. The Shield-derived heavies are mostly garnets, ilmenite and zircon. Their presence is important, not only because of the effects they have on the chemical and mineralogical analyses, but also by providing the necessary bulk to perform the chemical analyses. If they are absent, or scarce as is the case in the northern half of the Lower St. Lawrence study area, the concentrates contain mostly locally derived heavy minerals, i.e. heavy minerals originating from rock units that are generally deficient in heavy minerals. The resulting concentrates are small (many had to be diluted with silica in order to be able to analyze them<sup>4</sup>) with the local component overrepresented compared to when a significant Shield component is present.

It is very important to take these factors into consideration when interpreting the Lower St. Lawrence data. All of the geochemical anomalies that are likely to be of interest to the exploration community are locally derived, i.e. they originate from Appalachian sources located within or close to the perimeter of survey area. In the northern part of the survey area, these anomalies will be considerably more intense than in the southern part where the local heavy minerals have been diluted by heavy minerals transported from elsewhere. On the other hand, anomalies in the northern part are expected to be much more *in situ* than in the southern part where glacial displacement of the anomalies may have been important.

An attempt was made to adjust the anomaly thresholds between the northern and the southern parts of the study area by applying a correction based on Shield to local heavy mineral ratio. However, because the proportion of Shield-derived heavy minerals in each sample (in both the northern and southern parts) is so variable, there is no simple factor that would allow such an adjustment to be made.

In general, it is easy to distinguish the geochemical signal associated with Shield-derived heavy minerals from that associated with locally-derived heavy minerals. Because they originate from distant

<sup>4</sup> Samples that have been diluted are shown as small triangles on the sample location map.

sources, Shield-derived heavies are scattered more or less evenly throughout the region's surficial deposits, thus contributing to the geochemical background rather than to forming specific anomalies. Furthermore, in the Lower St. Lawrence region Shield-derived heavies have a tendency to be enriched in the coastal region below the maximum level of the last marine transgression, where they were deposited by glaciomarine processes and ice rafting during deglaciation. Figure 5 shows the distribution of Ti which is present in the samples mostly as ilmenite derived from the Grenville. The highest concentrations are found along the coast and along a glacial dispersal zone in the southern part of the area. This glacial dispersal zone coincides with an area where Rappol and Russell (1989) reported abundant Precambrian erratics.

A third group of Ti-enriched samples occurs in an area underlain by the Devonian "Grès de Gaspé" in the northeastern sector (see geology on figure 1). This anomaly could be interpreted as ilmenite derived from the "Grès de Gaspé". However, Rappol and Russell (1989) show this area to be an isolated zone of abundant Precambrian erratics. Furthermore, our samples from that area contain angular ilmenite indistinguishable from the Shield-derived ilmenite, and a large proportion of garnet which we consider to be a good indicator of Precambrian origin.

Several other elements provide information on glacial dispersal processes in the study area. For example, our data show that Y (figure 6) and the other rare earths, as well as Th, occur in the Cambro-Ordovician formations of the Lower St. Lawrence. These rocks probably contain small amounts of monazite or similar minerals which become enriched in the heavy mineral concentrates. Figure 6 shows that the highest Y concentrations are found overlying the Cambro-Ordovician in the northern part of the study area. On the other hand, samples collected in the Siluro-Devonian are low in Y in the northern sector. In the southern sector, Y values over the Cambro-Ordovician are much lower than in the northern sector as a result of dilution by Shield-derived heavy minerals. We can also observe in the southern sector that Y has been dispersed southeastward over the Siluro-Devonian.

Ti and Y represent two models that can be used to interpret the distribution of all the other elements. Elements that are associated with Shield-derived heavies are distributed somewhat like Ti; they include the elements enriched in ilmenite such as Nb and Ta, and those associated with zircon, i.e. Zr, Hf, and U. There is a notable difference between the distributions of zircon and ilmenite: zircon (figure 7) is not enriched in the coastal region nor in the northeastern sector. These differences may be due to the fact that the zircon sources in the Grenville are more restricted than the ilmenite sources.

Most of the other elements, including all those that may be of interest to the mining industry, are locally derived and behave like Y: in relatively high concentrations and *in-situ* in the northern sector, and diluted and displaced towards the southeast in the southern sector. In addition to the rare earths (La, Ce, Sm, Eu, Tb, Yb, Lu) and Th, other elements that show a regional distribution similar to that of Y include Cr and Co, both contained in chromite that appears to be present in small amounts in the Cambro-Ordovician rocks (and probably also Silurian — see Cr map attached), S (figure 8), associated with pyrite and barite, Fe(p), Mn, As, and Ni associated with pyrite and goethite.

Close examination of the geochemical maps enables us to locate the boundary between the southern (intense glacial dispersal) and the northern (restricted glacial dispersal) sectors quite accurately. Our observations indicate that this boundary trends southeastward ( $\approx 140^\circ$ ) between Trois-Pistoles and the northern end of Lac Témiscouata and Grand Lac Squatec (figure 9). Dispersal pattern orientation south of the boundary suggest that the predominant glacial transport direction is parallel to the boundary. Thus, south of the boundary, Laurentide ice eroded and transported local lithologies southeastward, and deposited this debris as a mixture with detritus derived from elsewhere, notably from the Grenville. North of the boundary, the region is characterized by a lack of glacial deposits of any kind and the locally-derived heavy minerals appear to have been subjected to much less glacial transport and dilution than in the south. A possible exception, to be verified, concerns the northeastern sector, near the Quebec – New Brunswick border, where some of our data as well as those of Rappol and Russell (1989), seem to indicate the presence of a significant Precambrian component. It is worth noting on this matter that Rappol and Russell (1989) found Precambrian erratics over the entire area covered by our survey. Furthermore, all of our heavy mineral concentrates, both from the

northern and the southern sectors, contain garnet that we consider to derive from Precambrian sources<sup>5</sup>. These observations suggest that the entire survey area was at one time covered by Laurentide ice.

On the basis of erratic rock types, Rappol and Russell (1989) suggested that Laurentide ice flowed across the area in an east or east-southeast direction rather than southeasterly as we propose. They also observed that the frequency of Precambrian erratics increased with increasing distance from the coast, to reach a maximum at a certain distance inland. We also observe a lowering of the abundance of Shield-derived heavy minerals towards the coast in the southern sector, so much so that in zone C on figure 9, there is a very low abundance of Shield-derived heavies, similar to what we find in the northern sector (see also figure 5).

In the northern sector, Rappol and Russell (1989) reported glacial dispersal towards the east or southeast, followed by northward or northwestward dispersal from outcropping Pointe-aux-Trembles Formation (centre "b", figure 9) and from a gabbro at Lac de Échos (centre "c", figure 9). Such dispersal in the northern sector is not obvious on the geochemical maps and we believe that it represents a relatively minor phenomenon from the point of view of the quantity of debris transported. Locally, however, these movements may have displaced geochemical anomalies and they should always be taken into account when interpreting the data.

#### 4.2) Ba, Sr, Zn p, Pb, Cu, Ag Association

Four occurrences and one sub-economic deposit of barite and galena mineralization with some sphalerite and rarely chalcopyrite, generally associated with dolomite, are known in the St. Fabien area, near the coast, only a few kilometres north of the survey area. These mineralizations were recently described by Schrijver and Rhéaume (1989). According to these authors, the mineralization occurs in veins or is disseminated in the St-Damase Formation (calcareous sandstones and conglomerates) and in a green sandstone unit (arkose interbedded with pelitic sediments) within the Des Seigneuries Nappe. From a structural point of view, the mineralization occurs in anticlinal hinges of major folds and is associated with faults that offset the axial planes. The veins are up to 1.5 m thick and do not always contain sulphides. Other barite-galena occurrences are found near Rivière-du-Loup and St-Bruno-de-Kamouraska, to the east and southeast of the survey area.

The Ba distribution map shows a higher geochemical background in the northern sector compared to the southern sector, and very strong anomalies near the northern boundary and in the Rivière-du-Loup area. Several samples contain very high levels of Ba and some are made up almost exclusively of barite (e.g. #869 and #916 > 60% Ba). It is imperative to understand that these very high values indicate simply that barite occurs at the corresponding sites and that relatively few other heavy mineral species are present. These high values should not be interpreted as an indication of grades and tonnages of the source. Regional characteristics of the anomalies (i.e. their size and orientation, associated elements, etc.) and the geological and structural context in which they occur, may be better guides to exploration than the absolute concentrations.

Notwithstanding the above, the Ba anomalies represent excellent exploration targets for the type of mineralization found at St. Fabien. In the northern sector, these anomalies are probably very near their sources. In the Rivière-du-Loup area, on the other hand, the anomalous zone (>200 ppm) is probably elongated towards the southeast as a result of glacial dispersal, but the head of the anomaly (sample 165) is probably near its source.

The sites of samples 882 and 916 are amongst the most interesting localities near the northern boundary. These samples are enriched in Pb, Zn(p) and Cu, which are present in the mineralization at St. Fabien. Sample 165 near Rivière-du-Loup also contains high levels of these metals. Sample 882 is also enriched in Ag, Sb, and Sn. Stetefeldtite ( $\text{Ag}_2\text{Sb}_2(\text{O},\text{OH})_7$ ) and cassiterite were identified in that sample by XRD.

<sup>5</sup> Detrital sedimentary rocks of Cambro-Ordovician age in the Lower St. Lawrence, that are composed of sediments originating from Precambrian sources, contain garnet (Lajoie et al, 1974). However, the abundance, the "very fresh" appearance and the sharp angularity of the majority of the garnet grains in our samples strongly suggest that they were transported and deposited by Laurentide ice.

Samples 882 and 916 are roughly in line with the regional geological structure and could reflect a new mineralized zone, parallel to the one containing the St. Fabien mineralization. Other samples that are enriched in various metals could form part of this zone, even though their Ba content is lower. These include samples 351 (Zn), 913 (Pb, Zn, Cu, Ag), 914 (Zn), 919 (Pb, Cu, Ag) and 927 (Pb, Cu, Ba). Another zone of anomalous Ba values is located further east, in an area of Silurian rocks, and includes samples 859, 869, 339, 340, and 323. Between the two zones, sample 893 contains high Zn. The geological maps of the area (Lajoie, 1971; Avramtchev, 1984) show that these anomalies and zones tend to occur along major faults. This is particularly interesting since the mineralization sought is probably hydrothermal associated to fractures.

In the heavy mineral concentrates, barite occurs as milky-white to transparent angular grains with good cleavage surfaces. Chemical analyses show that the barite contains up to 0.5% Sr. The other metals occur mostly as secondary minerals although sphalerite was identified by XRD in samples 165 and 893.

#### 4.3) Pb, Sb, Ag, Cu, Sn, W, Hg Association

These elements are grouped here mostly because they form a highly anomalous zone in the L'Esprit-Saint and La Trinité-de-Monts area. Overall, correlations between these elements are not always good or even positive (see Appendix F).

The anomalous zone has a northeast/southwest orientation and is particularly well defined by lead and antimony (see maps attached). A second zone, this one anomalous in tungsten and trending north/south, intersects the lead-antimony pattern about half way between L'Esprit-Saint and La-Trinité-des-Monts. Metal concentrations are very high (up to 15% Pb, over 1% W and 0.5% Sb) but, as was the case for barium, these anomalies occur in the northern sector and were not diluted to any great extent by heavy minerals transported from elsewhere. We can point out, however, that all the anomalous samples contain a certain proportion of garnet and ilmenite presumed to be derived from Grenville sources.

Ag was found in relatively high concentrations in samples from two localities south of L'Esprit-Saint (#330 and #767). There is also a linear pattern of somewhat lower Ag values along the same axis as the Pb-Sb pattern, to the north of it.

The other elements in the association (Cu, Sn, Hg) form single-sample anomalies along the main axis. Some higher than background As and Zn(p) values also occur. Sample 306 which contains over 1% Zn and is anomalous in Ag, Cu, Pb, and As, is located about 15 km northeast of the main anomaly (Pb-Sb) and could be part of the same zone. Sample 306 contains sphalerite identified by XRD.

Overall, the L'Esprit-Saint anomaly is 20 to 30 km long, it is parallel to the regional geological trend and to the major faults in the area, and is characterized by a zonation of the main metal components. Under the binocular microscope, most anomalous heavy mineral concentrates contain fresh pyrite, goethite and/or secondary minerals. Using X-ray diffraction, scheelite was identified in sample 820 and cerusite, in sample 317.

The metal types and other characteristics of this anomaly are somewhat similar to the Saint-Robert W, Bi, Pb, Ag, Zn, Cu, (Au, Sb) deposit in Marlow Township, in the Eastern Townships. That mineralization is contained in quartz veins associated with felsic and mafic dykes (Cattalani and Williams-Jones). Igneous rocks, however, are not known to occur in the L'Esprit-Saint area.

The only mineralization known in the area is a small copper occurrence, about 5 km south of the village of L'Esprit-Saint. It was described by Lajoie (1962) as a thin coating of chalcopyrite on pseudo-cleavage planes in a slate unit.

In addition to the anomalies described above, many more were outlined within the boundaries of the survey area. The most outstanding ones include:

- A series of samples(e.g. 823, 824, 825, 826) in the Lac Mistigouèche region, in the northeastern part of the survey area, that are enriched in several metals including W, Ba, and Hg. This anomaly could reflect yet another zone of hydrothermal activity, this one in the Silurian.

- A very high Hg value ( $\approx$ 10 ppm) in the western part of the region (sample 106) could indicate hydrothermal activity.
- A Cu, Pb, Ag, Sn, Sb anomaly near a known copper occurrence located south of Lac Long in Botsford Township (sample 518). The anomaly may reflect contamination from old diggings, but the metal association in the geochemical anomaly and the fact that it extends over quite a large area (including on the north side of the lake in the case of Cu, Pb and Sn), could justify a reevaluation of the showing.

#### 4.4) Gold distribution

One of the main objectives of the heavy mineral geochemical survey in the Lower St. Lawrence, as in the Eastern Townships, was to map the distribution of alluvial gold. The sampling and analytical techniques used in these surveys are particularly well suited for gold exploration (see "Sampling and analytical techniques" above).

However, the Lower St. Lawrence region appears to be considerably less auriferous than the Eastern Townships. For example, only 26% of the heavy mineral concentrates collected in the Lower St. Lawrence contained detectable gold compared to 86% in the Eastern Townships<sup>6,7</sup>. Furthermore, 47% of the concentrates from the Eastern Townships contained over 1 ppm gold<sup>7</sup>; in the Lower St. Lawrence, only 1.6% of the concentrates have more than 1 ppm gold.

Tens, or even a few hundred ppb gold in heavy mineral concentrates can be accounted for by gold in pyrite or other sulphides present in the sample. Such levels can be considered part of the background. Above 1 ppm Au, native gold particles are likely present in the concentrate (for a discussion on this subject, see Maurice 1988a, p.195). This gold may derive from a mineralized source or from a preglacial regolith that may have developed from slightly auriferous sulphide-bearing rocks.

Within the survey area, 11 samples contain over 1 ppm gold. The most interesting anomaly is located to the southeast of Lac Témiscouata. It overlies Devonian sediments that are equivalent to the Fortin Group in Gaspésie, which has a recognized gold potential (Maurice 1986b). The anomaly is also situated down-ice from a small gold occurrence south of Notre-Dame-du-Lac, and from a polymetallic anomaly (Pb, Sn, Sb — sample 651) northeast of Lac Témiscouata.

Gold appears to be absent in the area of the polymetallic anomaly at L'Esprit-Saint/La Trinité-des-Monts. Nevertheless, the metal association obtained from the analyses of the heavy mineral concentrates from that area is recognized as being often associated with gold mineralization. There may be a gold-bearing zone which does not outcrop. Sample 852, located about 18 km east of L'Esprit-Saint, contains 12 ppm gold and is not far from Zn, Pb, Cu, and Hg anomalies. Other gold anomalies occur in that area (e.g. samples 270 and 274). Overall, this area may be an interesting exploration target for gold-bearing mineralisation.

#### 5) ACKNOWLEDGEMENTS

The survey which is described in this Open File was carried out under the Eastern Quebec Development Plan. Sampling and preparation of the heavy mineral concentrates was carried out under contract to "Le Groupe Conseil GÉOREX of Sherbrooke under the supervision of Michel Mercier. Bondar-Clegg and Company Ltd. of Ottawa performed the analyses. Pierre Bédard compiled the analytical results and produced several of the tables found throughout this report. Jean Veillette read the manuscript and made many useful suggestions.

---

<sup>6</sup> In the Lower St. Lawrence, these numbers are based on an analytical detection limit of 0.01 ppm for the undiluted samples and 0.1 ppm for the samples that were diluted with silica. In the Eastern Townships, the detection limit was 0.01 ppm for all the samples. Therefore, it is somewhat inaccurate to compare the two sets of data.

<sup>7</sup> Results of the 1984 and 1985 surveys (excludes those of the 1987 survey) — see Maurice, 1989.

# COMMISSION GÉOLOGIQUE DU CANADA



Dossier Public 2036

## RÉSULTATS ET INTERPRÉTATION D'UN LEVÉ GÉOCHIMIQUE DES MINÉRAUX LOURDS, RÉGION DU BAS SAINT-LAURENT, QUÉBEC

(SNRC 21N/6, 7, 9, 10, 11, 14, 15, 16; 22C/1, 2, 3)

Version préliminaire  
Résultats partiels

par:

**Yvon T. Maurice**

Ottawa, le 29 mai 1989



Énergie, Mines et  
Ressources Canada

Energy, Mines and  
Resources Canada

## Sommaire

A la suite de demandes de la part de plusieurs sociétés d'exploration, la Commission géologique du Canada met à la disposition du public une compilation partielle des résultats de son levé géochimique des minéraux lourds dans la région du Bas Saint-Laurent. Cette mesure a pour but de permettre à ces sociétés et aux prospecteurs en général, de profiter pleinement de la saison estivale 1989 pour explorer le territoire couvert par ce levé et sur lequel on retrouve plusieurs anomalies intéressantes. Le rapport au complet ne sera disponible que plus tard au cours de l'été ou à l'automne.

Parmi les anomalies que nous considérons particulièrement intéressantes comme cibles d'exploration, on remarque plusieurs concentrations élevées de baryum, plomb, zinc et cuivre dans la partie nord du territoire échantillonné, non loin de Saint-Fabien, où il existe des gisements sub-économiques de ces métaux. Près des villages de l'Esprit-Saint et de la Trinité-des-Monts, les résultats analytiques montrent la présence d'une zone fortement anomale en plomb, en antimoine et en tungstène (avec un peu d'argent, de cuivre et de mercure), longue de 20 à 30 km et orientée NE-SO, parallèlement à la structure géologique régionale. Il se pourrait fort bien que ces anomalies reflètent des minéralisations inconnues de type épithermal. Les utilisateurs du présent rapport peuvent situer ces anomalies au moyen de la carte de localisation des échantillons à l'échelle 1:250 000 et de la liste des résultats de Ba, Pb, Sb et W ci-jointes.

L'interprétation de la répartition de plusieurs des éléments qui ne sont pas présentés dans cette version abrégée du Dossier Public 2036, mais qui le seront dans la version finale du rapport, indique que la partie du territoire dans lequel se trouvent les anomalies mentionnées au paragraphe précédent, n'a pas été assujettie à une activité glaciaire intense. Par conséquent, les anomalies géochimiques dans ce secteur devraient être localisées relativement près de leurs sources. D'un autre côté, n'ayant pas subi de dilution par des matériaux transportés d'ailleurs, leurs intensités auront tendance à être plutôt élevées. Ceci est la raison pour laquelle certains échantillons contiennent plusieurs dizaines de pour-cent de baryum, jusqu'à plus de 60% dans les échantillons #869 et #916. Ces valeurs veulent simplement dire qu'il y a de la barytine aux sites où ces échantillons ont été pris, mais relativement peu d'autres types de minéraux lourds. On ne doit pas interpréter ces valeurs très élevées comme une indication de l'importance de la source en termes de teneurs ou de tonnages. D'un autre côté, les caractéristiques régionales de l'anomalie (i.e. son étendue, son orientation, types de métaux associés, etc) et le contexte géologique et structural dans lequel elle se trouve, peuvent guider les prospecteurs plus efficacement que les concentrations absolues.

Le rapport final comportera la liste complète des résultats des 37 éléments analysés, plusieurs cartes géochimiques à l'échelle 1:250 000 avec contours isoteneurs, des cartes symboles à une échelle réduite, les statistiques de base et un texte décrivant les méthodes utilisées ainsi que l'interprétation des résultats en fonction des connaissances actuelles de la géologie régionale et glaciaire.

## **Summary**

*Following several requests from exploration companies, the Geological Survey of Canada is releasing a preliminary and partial compilation of the results from its heavy mineral geochemical survey in the Lower St. Lawrence region. This is done to allow these companies and other explorationists, to take full advantage of the 1989 field season to follow-up several interesting anomalies which were outlined within the survey area. The complete report will be available later in the summer or in the fall.*

*Among the anomalies that we consider to be especially interesting from an exploration standpoint, the most notable are a series of samples with high concentrations of barium, lead, zinc and copper in the northern part of the survey area, near Saint-Fabien, where sub-economic deposits of these metals are known to occur. Near the villages of l'Esprit-Saint and Trinité-des-Monts, the analytical results define a strongly anomalous zone containing lead, antimony and tungsten (with lesser silver, copper and mercury). This zone is 20 to 30 km long and has a northeast-southwest orientation, parallel to the regional geological structure. It is quite possible that these anomalies reflect undiscovered epithermal mineralization. The reader may locate the anomalies using the sample location map (1:250 000 scale) and the data listings for Ba, Pb, Sb and W included with this report.*

*Interpretation of the distribution of several elements that are not presented in this preliminary version of Open File 2036, but which will be dealt with in detail in the final version of the report, indicates that the anomalies described above occur in a part of the region which was only mildly subjected to glacial erosional and depositional processes. As a result, these geochemical anomalies are expected to be located relatively near their bedrock sources. On the other hand, because of a lack of dilution by material transported from elsewhere, the intensities of the anomalies tend to be high. This is the reason, for example, for the very high levels of barium in some samples (e.g. over 60% Ba in samples #869 and #916). These values indicate simply that barite occurs at the sample sites, but only relatively minor amounts of other heavy mineral species are present. These high values must not be interpreted as an indication of grades and tonnages at the source. On the other hand, the regional characteristics of the anomalies (i.e. their size and orientation, associated elements, etc) and the geological and structural contexts in which they occur, may be better guides to exploration than the absolute concentrations.*

*The final report will contain complete data listings for the 37 elements analyzed, several 1:250 000 geochemical maps with contours, symbol plots at reduced scales, basic statistics, and a text describing the methods used and the interpretation of the data in terms of current knowledge of the regional and glacial geology.*

| ECH | Ba<br>ppm | Pb<br>ppm | Sb<br>ppm | W<br>ppm | ECH | Ba<br>ppm | Pb<br>ppm | Sb<br>ppm | W<br>ppm | ECH | Ba<br>ppm | Pb<br>ppm | Sb<br>ppm | W<br>ppm |
|-----|-----------|-----------|-----------|----------|-----|-----------|-----------|-----------|----------|-----|-----------|-----------|-----------|----------|
| 2   | 64        | 272       | 0.6       | 2        | 5 8 | 225       | 14        | 0.6       | 8        | 114 | <150      | <20       | <1.0      | <25      |
| 3   | ins       | ins       | ins       | ins      | 5 9 | <15       | 203       | 1.1       | 4        | 115 | 28        | 12        | 0.4       | 4        |
| 4   | 21        | 14        | 0.8       | 4        | 6 0 | <15       | 24        | 1.1       | 20       | 116 | <15       | 7         | 1.1       | 2        |
| 5   | 87        | 135       | 1.4       | 2        | 6 2 | <15       | 13        | 0.4       | 8        | 117 | <15       | 9         | 0.6       | 2        |
| 6   | <15       | 7         | 0.6       | 2        | 6 3 | ind       | 16        | ind       | 12       | 118 | <150      | <20       | <1.0      | <25      |
| 7   | <15       | 10        | 0.9       | 2        | 6 4 | <150      | 45        | <1.0      | <25      | 119 | 1573      | 1586      | 15.0      | <25      |
| 9   | <150      | <20       | <1.0      | <25      | 6 5 | 19        | 58        | 2.1       | 4        | 120 | 93        | 19        | 1.0       | 2        |
| 10  | 21        | 9         | 1.1       | 2        | 6 6 | <15       | 9         | 0.7       | 2        | 122 | 42        | 11        | 1.1       | 2        |
| 11  | <15       | 7         | 0.5       | 4        | 6 7 | 26        | 10        | 1.2       | 8        | 123 | 134       | 48        | 0.9       | 2        |
| 12  | <15       | 7         | 0.5       | 2        | 6 8 | <150      | <20       | <1.0      | <25      | 124 | 10646     | 9         | 0.4       | 18       |
| 13  | 22        | 20        | 0.7       | 2        | 6 9 | <150      | 22        | 1.3       | <25      | 125 | 67        | 23        | 1.0       | 12       |
| 14  | <15       | 9         | 1.1       | 8        | 7 0 | <150      | 44        | 1.3       | <25      | 126 | 89        | 63        | ind       | 6        |
| 15  | <150      | 10635     | <1.0      | <25      | 7 1 | <150      | <20       | <1.0      | <25      | 127 | <150      | 30        | 1.6       | <25      |
| 16  | <15       | 12        | <0.3      | 8        | 7 2 | <150      | 24        | 1.2       | 176      | 128 | <15       | 10        | 0.4       | 4        |
| 17  | ind       | 12        | ind       | 2        | 7 3 | <15       | 7         | 0.4       | 24       | 129 | 154       | 67        | 1.0       | 12       |
| 18  | <15       | 25        | 3.4       | 2        | 7 4 | <150      | <20       | <1.0      | <25      | 131 | <150      | 40        | 1.0       | <25      |
| 19  | <150      | <20       | <1.0      | <25      | 7 5 | 67        | 437       | 1.2       | 2        | 132 | <150      | 146       | 1.7       | <25      |
| 20  | <150      | 114       | <1.0      | <25      | 7 7 | <15       | 11        | 0.8       | 2        | 133 | 153       | 7         | 0.4       | 2        |
| 22  | 36        | 8         | 0.4       | 8        | 7 8 | 78        | 19        | 1.1       | 8        | 134 | 162       | 384       | 7.3       | 2        |
| 23  | <15       | 4         | 0.8       | 2        | 7 9 | <15       | 41        | 0.3       | 2        | 135 | <15       | 12        | 0.6       | 4        |
| 24  | <15       | 6         | 0.6       | 4        | 8 0 | <15       | 59        | 0.9       | 16       | 136 | <150      | 25        | <1.0      | <25      |
| 25  | <15       | 87        | 4.3       | 4        | 8 2 | <15       | 10        | 0.5       | 2        | 137 | 219       | <20       | <1.0      | <25      |
| 26  | <15       | 139       | <0.5      | 2        | 8 3 | <150      | <20       | <1.0      | <25      | 138 | 3191      | 263       | ind       | 2        |
| 27  | <15       | 18        | 0.6       | 16       | 8 4 | <150      | 40        | <1.0      | 30       | 139 | 917       | 44        | <1.0      | <25      |
| 29  | <150      | 22        | <1.0      | <25      | 8 5 | <150      | 20        | 1.0       | <25      | 140 | 27        | 106       | 1.0       | 2        |
| 30  | <15       | 216       | 3.6       | 12       | 8 6 | <15       | 8         | ind       | 2        | 142 | <150      | 4717      | 35.0      | <25      |
| 31  | <15       | 9         | 0.5       | 2        | 8 7 | <150      | <20       | <1.0      | <25      | 143 | 5700      | 995       | 3.2       | <25      |
| 32  | 18        | 106       | 1.6       | 2        | 8 8 | <150      | 35        | 5.5       | <25      | 144 | <150      | 27        | <1.0      | <25      |
| 33  | <15       | 11        | 0.8       | 8        | 8 9 | <150      | <20       | 1.3       | <25      | 145 | ind       | 15        | ind       | 2        |
| 34  | <15       | 11        | 0.9       | 2        | 9 0 | <15       | 9         | 0.3       | 2        | 146 | <150      | 359       | <1.0      | <25      |
| 35  | <150      | 40        | 1.6       | <25      | 9 1 | <15       | 11        | <0.5      | 2        | 147 | <15       | 10        | 0.7       | 2        |
| 36  | 22        | 48        | 2.4       | 8        | 9 2 | <15       | 14        | 0.8       | 2        | 148 | <15       | 160       | 41.8      | 2        |
| 37  | <150      | 92        | <1.0      | <25      | 9 3 | <15       | 6         | 0.6       | 16       | 149 | <150      | 279       | 1.8       | <25      |
| 38  | <15       | 14        | 0.6       | 8        | 9 4 | <15       | 9         | <0.4      | 2        | 150 | 25        | 12        | ind       | 2        |
| 39  | <15       | 11        | <0.3      | 12       | 9 5 | <150      | <20       | <1.0      | <25      | 151 | 36        | 10        | 1.0       | 2        |
| 40  | <15       | 14        | <0.3      | 2        | 9 6 | <15       | 6         | 1.3       | 2        | 152 | 600       | 29        | 1.3       | <25      |
| 42  | <15       | 7         | 2.6       | 8        | 9 8 | <150      | <20       | <1.0      | <25      | 154 | <150      | 429       | 14.1      | <25      |
| 43  | <15       | 8         | <0.2      | 16       | 9 9 | <150      | <20       | <1.0      | <25      | 155 | <150      | 63        | 1.0       | <25      |
| 44  | <150      | 4230      | ind       | <25      | 100 | <15       | 7         | 1.0       | 8        | 156 | 468       | 41        | 1.4       | <25      |
| 45  | <150      | 1404      | 10.7      | <25      | 102 | <150      | <20       | <1.0      | <25      | 157 | 1395      | 206       | 68.6      | 2        |
| 46  | <150      | <20       | 2.0       | <25      | 103 | <150      | 16        | 0.8       | 2        | 158 | 45        | 35        | 1.4       | 2        |
| 47  | <15       | 6         | 0.4       | 8        | 103 | 245       | ins       | ins       | ins      | 159 | 9417      | 190       | ind       | 2        |
| 48  | <150      | 33        | <1.0      | <25      | 104 | 19        | 7         | 0.9       | 2        | 160 | 1351      | 9         | ind       | 2        |
| 50  | <15       | 18        | 0.3       | 4        | 105 | 25        | 10        | 1.0       | 2        | 162 | 1052      | 9         | 0.2       | 4        |
| 51  | 37        | 33        | 2.1       | 2        | 106 | 37        | 9         | 0.7       | 12       | 163 | 1442      | 95        | 1.4       | <25      |
| 52  | <15       | 7         | 0.6       | 8        | 108 | <15       | 9         | 0.6       | 2        | 164 | 167       | 104       | 1.0       | 2        |
| 53  | <15       | 588       | 3.2       | 2        | 109 | 54        | 14        | 0.6       | 2        | 165 | 132759    | 783       | 1.7       | <25      |
| 54  | <15       | 1040      | 37.8      | 2        | 110 | 26        | 80        | 0.8       | 2        | 166 | 226       | 32        | 0.5       | 8        |
| 55  | 236       | 24        | 1.2       | 20       | 111 | 78        | 12        | 0.7       | 4        | 168 | 89        | 13        | 0.3       | 4        |
| 56  | <150      | <20       | <1.0      | <25      | 112 | 17        | 11        | 0.6       | 18       | 169 | 29        | 3         | 0.3       | 4        |
| 57  | <15       | 16        | 0.6       | 2        | 112 | 11        | 11        | 0.6       | 18       | 170 | 191       | 38        | 2.0       | 2        |

ins: quantité d'échantillon insuffisante pour l'analyse ind: valeur non-déterminée

| ECH | Ba   | Pb   | Sb   | W   | ECH | Ba   | Pb   | Sb   | W   | ECH | Ba     | Pb     | Sb     | W    |
|-----|------|------|------|-----|-----|------|------|------|-----|-----|--------|--------|--------|------|
|     | ppm  | ppm  | ppm  | ppm |     | ppm  | ppm  | ppm  | ppm |     | ppm    | ppm    | ppm    | ppm  |
| 171 | 195  | 8    | 0.2  | 2   | 228 | 6378 | 1790 | 26.3 | 2   | 283 | 443    | 36     | 2.1    | <25  |
| 172 | 225  | 15   | 0.3  | 2   | 229 | <150 | 330  | 5.0  | <25 | 284 | 273    | 8      | 0.6    | 60   |
| 173 | 882  | 23   | 0.3  | 8   | 230 | <150 | <20  | <1.0 | <25 | 285 | 381    | 585    | 2.6    | <25  |
| 174 | 21   | 7    | 0.4  | 16  |     |      |      |      |     | 286 | <15    | 35     | 0.4    | 8    |
| 175 | 150  | <20  | <1.0 | <25 | 231 | ind  | 7    | ind  | 12  | 287 | <150   | 732    | 7.9    | <25  |
| 176 | 100  | 7    | 0.4  | 8   | 232 | 722  | 117  | 2.5  | <25 | 288 | ins    | ins    | ins    | ins  |
| 177 | 25   | 13   | 1.0  | 4   | 233 | 26   | 61   | 0.9  | 2   | 289 | 80     | 1740   | 133.0  | 2    |
| 178 | 522  | 749  | 0.9  | 2   | 234 | <150 | <20  | <1.0 | <25 | 290 | 29     | 13     | 1.1    | 2    |
| 179 | 177  | 7    | 0.2  | 12  | 235 | 137  | 65   | 1.8  | 16  |     |        |        |        |      |
| 180 | 412  | 9    | 0.2  | 32  | 236 | <150 | 123  | 1.5  | <25 | 291 | 771    | 29     | 1.5    | <25  |
|     |      |      |      |     | 237 | 157  | 47   | 1.5  | 2   | 292 | <150   | 28     | <1.0   | <25  |
| 182 | 563  | 8    | 0.5  | 2   | 238 | ins  | ins  | ins  | ins | 293 | <150   | 36     | <1.0   | <25  |
| 183 | 340  | 5    | 0.2  | 4   | 239 | <150 | 24   | 1.4  | <25 | 294 | <150   | 28     | <1.0   | <25  |
| 184 | 16   | 7    | 0.5  | 2   | 240 | 182  | 119  | 2.2  | 2   | 295 | <150   | 27     | <1.0   | <25  |
| 185 | <150 | 24   | <1.0 | <25 |     |      |      |      |     | 296 | <150   | 29     | 2.1    | <25  |
| 186 | <15  | 5    | 0.7  | 4   | 242 | 683  | 107  | 2.6  | 60  | 297 | ins    | ins    | ins    | ins  |
| 187 | 34   | 5    | 0.5  | 8   | 243 | 115  | 18   | 1.3  | 2   | 298 | ins    | ins    | ins    | ins  |
| 188 | <15  | 8    | 0.3  | 85  | 244 | <15  | 12   | 1.2  | 8   | 300 | 1090   | 60     | <1.0   | <25  |
| 189 | <150 | <20  | <1.0 | <25 | 245 | <150 | 23   | 2.1  | <25 |     |        |        |        |      |
|     |      |      |      |     | 246 | <15  | 330  | 10.0 | 4   | 302 | <150   | 36     | 1.4    | <25  |
| 191 | <15  | 3    | 0.4  | 12  | 247 | <15  | 6    | <0.3 | 8   | 304 | <15    | 10     | 0.4    | 2    |
| 192 | <150 | 97   | 2.3  | <25 | 248 | ind  | 6    | <0.4 | 2   | 305 | 1873   | 154    | 2.1    | <25  |
| 193 | <150 | <20  | 1.1  | <25 | 249 | <150 | <20  | <1.0 | <25 | 306 | <150   | 1200   | 5.8    | <25  |
| 194 | <15  | 15   | 1.5  | 2   | 250 | <15  | 7    | 0.4  | 2   | 307 | 4796   | 48     | 3.8    | 2    |
| 195 | <15  | 6    | 0.6  | 2   |     |      |      |      |     | 308 | 288    | 1056   | 4.6    | 12   |
| 196 | <15  | 252  | 3.0  | 2   | 251 | <15  | 11   | <0.3 | 2   | 309 | ins    | ins    | ins    | ins  |
| 197 | <15  | 18   | 0.3  | 2   | 253 | <15  | 5    | 0.5  | 2   | 310 | <150   | 13962  | 1403.8 | <25  |
| 198 | <150 | <20  | 1.5  | <25 | 254 | 292  | 158  | 2.4  | 2   |     |        |        |        |      |
| 199 | <15  | 14   | 0.4  | 2   | 255 | <15  | 20   | 1.8  | 2   | 311 | 919    | 9      | 0.5    | 2    |
| 200 | <15  | 27   | 1.0  | 8   | 256 | <150 | <20  | <1.0 | <25 | 312 | <150   | 583    | 8.3    | 33   |
|     |      |      |      |     | 257 | <15  | 10   | 0.9  | 2   | 313 | <150   | 79     | 5.7    | <25  |
| 202 | <150 | 95   | 1.8  | <25 | 258 | <150 | 359  | 6.3  | <25 | 314 | ins    | ins    | ins    | ins  |
| 203 | <15  | 56   | 0.5  | 4   | 259 | <15  | 24   | 2.3  | 2   | 315 | 659    | 14     | 0.8    | 85   |
| 204 | 30   | 6    | 0.7  | 2   | 260 | <15  | 11   | 0.9  | 2   | 316 | <150   | 142    | 4.2    | 667  |
| 205 | 15   | 105  | 3.1  | 4   |     |      |      |      |     | 317 | 1158   | 154839 | 2145.2 | <25  |
| 206 | <150 | <20  | <1.0 | <25 | 262 | <15  | 6    | 0.8  | 2   | 318 | <150   | 2463   | 20.3   | 188  |
| 207 | <150 | 61   | <1.0 | <25 | 263 | 22   | 8    | 0.5  | 2   | 319 | 1398   | 3398   | 32.2   | 44   |
| 208 | <150 | 25   | <1.0 | <25 | 264 | <150 | 25   | <1.0 | 80  | 320 | 508    | 10300  | 102.4  | 80   |
| 210 | <150 | 1889 | 26.3 | <25 | 265 | <150 | <20  | <1.0 | <25 |     |        |        |        |      |
|     |      |      |      |     | 266 | 158  | <20  | <1.0 | <25 | 322 | 12624  | 62     | 1.2    | <25  |
| 211 | ins  | ins  | ins  | ins | 267 | 133  | 102  | 1.6  | 2   | 323 | 317778 | 172    | 1.7    | <25  |
| 212 | <150 | 22   | <1.0 | <25 | 268 | ins  | ins  | ins  | ins | 324 | 19697  | 41     | <1.0   | <25  |
| 213 | <15  | 10   | 0.8  | 12  | 269 | <150 | 22   | 1.4  | <25 | 325 | 17247  | 39     | 12.1   | <25  |
| 214 | ind  | 13   | ind  | 2   | 270 | 56   | 12   | 0.9  | 2   | 326 | 150    | 25     | 1.1    | <25  |
| 215 | 103  | 62   | 1.2  | 2   |     |      |      |      |     | 327 | 38     | 73     | 0.6    | 32   |
| 216 | <15  | 12   | 0.8  | 2   | 271 | <150 | <20  | <1.0 | <25 | 328 | ins    | ins    | ins    | ins  |
| 217 | 465  | 9    | 0.8  | 16  | 272 | <150 | 323  | 1.6  | <25 | 329 | 3408   | 27105  | 5105.3 | 289  |
| 218 | 188  | 10   | 1.2  | 2   | 273 | ins  | ins  | ins  | ins | 330 | 234    | 115    | 11.5   | 2    |
| 219 | 2809 | 49   | 3.9  | 2   | 274 | <15  | 12   | 0.7  | 2   |     |        |        |        |      |
| 220 | <15  | 6    | 0.4  | 6   | 276 | <15  | 6    | 0.3  | 2   | 331 | 113    | 16     | 0.5    | 2    |
|     |      |      |      |     | 277 | 46   | 8    | 0.8  | 2   | 333 | 633    | 4633   | 1246.7 | <25  |
| 222 | 497  | 78   | 1.0  | 2   | 278 | <150 | <20  | <1.0 | <25 | 334 | 28     | 15     | <0.3   | 2    |
| 223 | <150 | 50   | <1.0 | <25 | 279 | <150 | 202  | 7.0  | <25 | 335 | 98     | 13     | 0.8    | 2    |
| 224 | <15  | 60   | 0.6  | 2   | 280 | <15  | 30   | 0.4  | 50  | 336 | 98     | 23     | 1.6    | 2    |
| 225 | <150 | 84   | <1.0 | <25 |     |      |      |      |     | 337 | <150   | 117    | 19.0   | <25  |
| 227 | 1516 | 1336 | 7.2  | <25 | 282 | <150 | 150  | 5.7  | 171 | 338 | <150   | 1363   | 31.3   | 1750 |

ins: quantité d'échantillon insuffisante pour l'analyse ind: valeur non-déterminée

| ECH   | Ba<br>ppm | Pb<br>ppm | Sb<br>ppm | W<br>ppm | ECH   | Ba<br>ppm | Pb<br>ppm | Sb<br>ppm | W<br>ppm | ECH   | Ba<br>ppm | Pb<br>ppm | Sb<br>ppm | W<br>ppm |
|-------|-----------|-----------|-----------|----------|-------|-----------|-----------|-----------|----------|-------|-----------|-----------|-----------|----------|
| 3 3 9 | 24356     | 2081      | 34.8      | <25      | 5 2 8 | 206       | 21        | 12.1      | 8        | 5 8 3 | <15       | 20        | 0.6       | 8        |
| 3 4 0 | 15331     | 69        | 2.5       | 688      | 5 2 9 | 369       | 98        | 7.9       | 4        | 5 8 4 | 45        | 7         | 0.5       | 12       |
|       |           |           |           |          | 5 3 0 | 105       | 166       | 3.6       | 2        | 5 8 5 | 46        | 10        | 0.5       | 4        |
| 3 4 2 | 5017      | 625       | 13.3      | <25      |       |           |           |           |          | 5 8 6 | <15       | 8         | 0.6       | 8        |
| 3 4 3 | 342       | 892       | 6.5       | <25      | 5 3 1 | 18        | 10        | 0.4       | 8        | 5 8 7 | <150      | 47        | <1.0      | <25      |
| 3 4 4 | <150      | 79        | 4.3       | <25      | 5 3 2 | <15       | 36        | 2.5       | 6        | 5 8 8 | <150      | <20       | <1.0      | <25      |
| 3 4 5 | <150      | 226       | 3.8       | <25      | 5 3 3 | <15       | 14        | 0.7       | 2        | 5 8 9 | <150      | 35        | <1.0      | <25      |
| 3 4 6 | <15       | 12        | 0.3       | 2        | 5 3 4 | 25        | 169       | 8.5       | 2        |       |           |           |           |          |
| 3 4 7 | 1114      | 31        | 0.4       | 2        | 5 3 5 | 47        | 9         | 0.5       | 36       | 5 9 1 | <150      | 306       | 8.4       | <25      |
| 3 4 8 | 160       | 47        | 1.0       | 16       | 5 3 6 | 104       | 22        | 0.7       | 2        | 5 9 2 | <15       | 19        | 0.8       | 2        |
| 3 4 9 | <150      | 36        | <1.0      | <25      | 5 3 7 | 39        | 8         | 0.7       | 2        | 5 9 3 | <150      | 59        | <1.0      | 50       |
| 3 5 0 | 46        | 14        | 0.4       | 2        | 5 3 8 | 54        | 87        | 0.4       | 2        | 5 9 4 | <150      | 42        | <1.0      | <25      |
|       |           |           |           |          | 5 3 9 | 69        | 148       | 2.4       | 2        | 5 9 5 | <150      | 42        | <1.0      | <25      |
| 3 5 1 | 315       | 131       | 5.8       | 2        | 5 4 0 | 119       | 241       | 7.3       | 2        | 5 9 6 | <150      | 20        | 1.0       | <25      |
| 3 5 2 | 114       | 15        | 0.9       | 4        |       |           |           |           |          | 5 9 7 | <15       | 99        | 1.0       | 4        |
| 3 5 3 | 294       | 17        | 0.3       | 2        | 5 4 2 | <150      | 38        | 2.1       | <25      | 5 9 8 | <150      | 50        | 2.5       | 160      |
| 3 5 4 | 574       | 21        | 0.3       | 2        | 5 4 3 | 212       | 45        | 1.4       | 2        | 5 9 9 | 44        | 93        | 1.1       | 4        |
| 3 5 5 | <150      | 479       | 15.7      | <25      | 5 4 4 | 37        | 14        | 0.4       | 2        | 6 0 0 | <150      | <20       | <1.0      | <25      |
| 3 5 6 | 51        | 20        | 0.3       | 2        | 5 4 5 | 22        | 7         | 0.4       | 6        |       |           |           |           |          |
| 3 5 7 | 4408      | 277       | 14.5      | 2        | 5 4 6 | <150      | 3204      | 40.6      | <25      | 6 0 2 | <15       | 9         | 0.4       | 4        |
| 3 5 9 | 37        | 10        | <0.2      | 2        | 5 4 8 | <15       | 45        | 0.9       | 2        | 6 0 3 | <15       | 14        | 0.4       | 8        |
| 3 6 0 | 115       | 72        | 0.6       | 16       | 5 4 9 | <150      | 1919      | 20.3      | <25      | 6 0 4 | <150      | 50        | 1.8       | 86       |
|       |           |           |           |          | 5 5 0 | <15       | 18        | 0.8       | 2        | 6 0 5 | <15       | 14        | ind       | ind      |
| 3 6 2 | <150      | <20       | <1.0      | <25      |       |           |           |           |          | 6 0 6 | <15       | 11        | 0.3       | 4        |
| 3 6 3 | 78        | 17        | 2.4       | 8        | 5 5 1 | <15       | 15        | 0.8       | 2        | 6 0 7 | <15       | 50        | 0.4       | 2        |
| 3 6 4 | <150      | 124       | <1.0      | <25      | 5 5 2 | 58        | 69        | 1.3       | 12       | 6 0 8 | <15       | 24        | 0.3       | 4        |
| 3 6 5 | <15       | 146       | 0.5       | 8        | 5 5 3 | <15       | 10        | <0.1      | 6        | 6 0 9 | <150      | 68        | <1.0      | <25      |
| 3 6 6 | 1877      | 31        | 6.5       | <25      | 5 5 4 | 140       | 39        | 1.9       | 4        | 6 1 0 | 28        | 19        | 1.7       | 14       |
| 3 6 7 | 900       | 186       | 1.8       | 36       | 5 5 5 | <150      | <20       | <1.0      | <25      |       |           |           |           |          |
|       |           |           |           |          | 5 5 6 | <150      | 41        | <1.0      | <25      | 6 1 1 | <150      | 21        | <1.0      | <25      |
|       |           |           |           |          | 5 5 7 | <15       | 781       | 1.4       | 6        | 6 1 2 | 29        | 23        | 0.7       | 16       |
| 5 0 2 | 66        | 8         | 0.6       | 4        | 5 5 8 | <150      | 175       | 1.6       | <25      | 6 1 3 | 110       | 87        | 0.5       | 2        |
| 5 0 3 | ins       | ins       | ins       | ins      | 5 5 9 | <15       | 12        | 1.5       | 4        | 6 1 5 | <15       | 10        | 0.6       | 4        |
| 5 0 4 | <150      | <20       | 1.2       | <25      | 5 6 0 | <150      | 196       | 1.3       | <25      | 6 1 6 | 99        | 18        | 1.2       | 6        |
| 5 0 5 | <150      | <20       | 1.4       | <25      |       |           |           |           |          | 6 1 7 | 72        | 18        | 0.5       | 2        |
| 5 0 6 | 40        | 17        | 0.9       | 8        | 5 6 2 | <150      | <20       | <1.0      | <25      | 6 1 8 | 106       | 113       | 0.8       | 8        |
| 5 0 7 | 37        | 79        | 0.4       | 2        | 5 6 3 | <15       | 11        | 0.9       | 4        | 6 1 9 | 25        | 9         | 0.4       | 2        |
| 5 0 8 | 71        | 30        | 15.3      | 4        | 5 6 4 | <150      | 208       | 1.1       | <25      | 6 2 0 | 77        | 208       | 1.1       | 8        |
| 5 0 9 | 85        | 75        | 1.7       | 16       | 5 6 5 | <150      | 37        | 2.1       | <25      |       |           |           |           |          |
| 5 1 0 | 167       | 122       | <1.0      | <25      | 5 6 6 | <15       | 17        | <0.5      | 2        | 6 2 2 | <15       | 10        | 0.5       | 4        |
|       |           |           |           |          | 5 6 7 | <15       | 8         | 0.8       | 2        | 6 2 3 | <15       | 6         | <0.1      | 4        |
| 5 1 1 | 20        | 9         | 0.6       | 4        | 5 6 8 | <150      | <20       | <1.0      | <25      | 6 2 5 | <15       | 11        | 0.6       | 2        |
| 5 1 3 | 160       | 381       | 1.9       | 2        | 5 6 9 | <15       | 16        | 0.9       | 2        | 6 2 6 | 36        | 81        | 0.5       | 2        |
| 5 1 4 | 33        | 9         | 1.1       | 4        | 5 7 0 | <15       | 11        | 0.5       | 4        | 6 2 7 | 2442      | 1558      | 24.2      | <25      |
| 5 1 5 | 47        | 60        | ind       | 8        |       |           |           |           |          | 6 2 8 | <150      | <20       | <1.0      | <25      |
| 5 1 6 | 40        | 37        | ind       | 16       | 5 7 1 | 20        | 12        | 0.8       | 4        | 6 2 9 | 16        | 104       | 5.1       | 6        |
| 5 1 7 | 38        | 9         | 0.2       | 12       | 5 7 3 | <15       | 27        | 13.6      | 8        | 6 3 0 | <15       | 10        | 0.7       | 4        |
| 5 1 8 | <150      | 1056      | 21.7      | <25      | 5 7 4 | <150      | 30        | 1.0       | <25      |       |           |           |           |          |
| 5 1 9 | <150      | 396       | 2.1       | <25      | 5 7 5 | <15       | 12        | 0.9       | 4        | 6 3 1 | 21        | 13        | 1.4       | 2        |
| 5 2 0 | 39        | 61        | 1.9       | 4        | 5 7 6 | <15       | 18        | 0.5       | 4        | 6 3 2 | 126       | 24        | 1.7       | 2        |
|       |           |           |           |          | 5 7 7 | <15       | 61        | 0.7       | 16       | 6 3 3 | 103       | 137       | 1.1       | 12       |
| 5 2 2 | 344       | 4900      | 4.2       | <25      | 5 7 8 | <15       | 369       | 1.9       | 16       | 6 3 4 | 84        | 14        | 0.6       | 6        |
| 5 2 3 | 47        | 53        | 9.0       | 12       | 5 7 9 | <150      | 838       | 5.0       | <25      | 6 3 5 | <15       | 9         | 0.5       | 4        |
| 5 2 4 | 112       | 10        | 0.7       | 2        | 5 8 0 | <150      | 34        | <1.0      | <25      | 6 3 6 | 18        | 59        | 1.6       | 4        |
| 5 2 6 | 57        | 9         | 0.6       | 2        |       |           |           |           |          | 6 3 7 | <15       | 14        | 0.5       | 6        |
| 5 2 7 | 52        | 7         | 0.5       | 2        | 5 8 2 | <15       | 11        | 0.5       | 4        | 6 3 8 | 21        | 67        | 0.7       | 8        |

ins: quantité d'échantillon insuffisante pour l'analyse ind: valeur non-déterminée

| ECH | Ba   | Pb   | Sb    | W   | ECH | Ba   | Pb   | Sb    | W   | ECH | Ba    | Pb   | Sb   | W   |
|-----|------|------|-------|-----|-----|------|------|-------|-----|-----|-------|------|------|-----|
|     | ppm  | ppm  | ppm   | ppm |     | ppm  | ppm  | ppm   | ppm |     | ppm   | ppm  | ppm  | ppm |
| 639 | <15  | 8    | 0.4   | 2   | 695 | 2664 | 75   | 2.8   | 4   | 751 | 150   | 31   | 5.0  | <25 |
| 640 | 25   | 39   | 1.0   | 2   | 696 | 7571 | 1079 | 7.4   | <25 | 753 | <150  | 1481 | 14.7 | <25 |
|     |      |      |       |     | 697 | 285  | 20   | 0.3   | 2   | 754 | <150  | 285  | 1.5  | <25 |
| 642 | 246  | 563  | 4.9   | <25 | 698 | 121  | 10   | 0.5   | 2   | 755 | 1073  | 61   | 12.1 | 2   |
| 643 | <15  | 22   | 1.2   | 32  | 699 | <15  | 57   | ind   | ind | 756 | <150  | 39   | 1.1  | <25 |
| 644 | <15  | 28   | 0.8   | 2   | 700 | <150 | 154  | 3.4   | <25 | 757 | <150  | 21   | 1.4  | <25 |
| 645 | <150 | <20  | <1.0  | <25 |     |      |      |       |     | 758 | 84    | 20   | 1.1  | 2   |
| 646 | 2469 | 40   | 0.5   | 4   | 702 | 56   | 23   | 0.8   | 2   | 759 | 5294  | 3635 | 27.3 | <25 |
| 647 | 23   | 11   | 0.4   | 16  | 703 | 475  | 25   | <1.0  | <25 | 760 | 111   | 58   | ind  | 4   |
| 648 | 15   | 13   | 0.3   | 2   | 704 | ins  | ins  | ins   | ins |     |       |      |      |     |
| 649 | 37   | 7    | 0.4   | 2   | 705 | <150 | <20  | <1.0  | <25 | 762 | <150  | <20  | <1.0 | <25 |
| 650 | 59   | 85   | 0.5   | 2   | 706 | 35   | 8    | 0.6   | 8   | 763 | 1090  | 167  | 9.9  | <25 |
|     |      |      |       |     | 707 | 15   | 6    | 0.3   | 2   | 764 | <15   | 15   | 0.7  | 4   |
| 651 | <15  | 3770 | 104.0 | 2   | 708 | 477  | <20  | <1.0  | <25 | 765 | <150  | <20  | <1.0 | 26  |
| 652 | 80   | 79   | 0.8   | 2   | 709 | 422  | 33   | <1.0  | <25 | 766 | <150  | 38   | 2.1  | <25 |
| 653 | <15  | 82   | 1.1   | 2   | 710 | 193  | <20  | <1.0  | <25 | 767 | <150  | 1933 | 5.6  | <25 |
| 655 | 83   | 13   | 0.6   | 4   |     |      |      |       |     | 768 | 19    | 13   | 0.4  | 2   |
| 656 | <150 | 29   | 1.5   | <25 | 711 | <15  | 13   | 0.4   | 4   | 769 | <150  | 325  | 10.0 | <25 |
| 657 | 154  | 258  | 7.1   | 2   | 712 | 437  | 52   | 0.6   | 2   | 770 | 940   | 51   | 1.3  | 4   |
| 658 | 43   | 68   | 0.7   | 2   | 713 | 122  | 1090 | 123.0 | 2   |     |       |      |      |     |
| 659 | 36   | 29   | 0.6   | 8   | 715 | 373  | 61   | 37.3  | <25 | 771 | <15   | 14   | ind  | 12  |
| 660 | ins  | ins  | ins   | ins | 716 | 159  | 335  | 3.2   | <25 | 772 | <15   | 7    | 0.5  | 12  |
|     |      |      |       |     | 717 | 99   | 9    | <0.1  | 2   | 773 | <15   | 6    | 0.5  | 2   |
| 662 | 111  | 53   | 2.0   | 8   | 718 | 115  | 6    | 0.3   | 2   | 774 | 92100 | 36   | 2.6  | 12  |
| 663 | 269  | 25   | 0.6   | 4   | 719 | <15  | 416  | 3.3   | 2   | 775 | 104   | 14   | 1.1  | 6   |
| 664 | <150 | 669  | 1.9   | <25 | 720 | 73   | 39   | 0.9   | 2   | 777 | 243   | 519  | 5.1  | <25 |
| 665 | 2617 | 30   | 0.7   | 2   |     |      |      |       |     | 778 | 53    | 12   | 1.6  | 4   |
| 666 | <150 | 50   | 1.8   | <25 | 722 | 188  | 55   | 0.6   | 2   | 779 | 1650  | 2659 | 17.7 | <25 |
| 667 | 33   | 30   | 0.5   | 2   | 723 | 136  | 47   | <0.3  | 2   | 780 | <15   | 11   | 0.3  | 2   |
| 668 | 137  | 297  | 2.8   | 4   | 724 | 26   | 57   | 0.3   | 4   |     |       |      |      |     |
| 669 | 132  | 116  | 6.8   | 2   | 725 | 65   | 12   | 0.3   | 4   | 782 | 48    | 12   | 0.9  | 4   |
| 670 | 238  | 819  | <1.0  | <25 | 727 | 51   | 6    | 0.7   | 4   | 783 | ins   | ins  | ins  | ins |
|     |      |      |       |     | 728 | <150 | 518  | 5.6   | <25 | 784 | 53    | 10   | 0.3  | 8   |
| 671 | 459  | 68   | 3.0   | 2   | 729 | 47   | 337  | 24.3  | 4   | 785 | <15   | 7    | 0.4  | 2   |
| 672 | 219  | 771  | 13.8  | 16  | 730 | 84   | 52   | 0.9   | 2   | 786 | ins   | ins  | ins  | ins |
| 673 | 119  | 14   | 1.3   | 2   |     |      |      |       |     | 787 | <150  | 38   | <1.0 | <25 |
| 674 | 17   | 20   | 1.1   | 2   | 731 | 117  | 181  | 0.5   | 6   | 788 | <150  | 158  | <1.0 | <25 |
| 676 | <150 | 31   | <1.0  | <25 | 732 | 51   | 204  | 2.1   | 2   | 790 | <15   | 9    | 0.3  | 2   |
| 677 | 15   | 41   | <0.3  | 2   | 733 | ins  | ins  | ins   | ins | 791 | <150  | <20  | <1.0 | <25 |
| 678 | <150 | 28   | 1.0   | 27  | 734 | 4068 | 68   | 2.4   | <25 |     |       |      |      |     |
| 679 | <150 | 123  | 1.3   | <25 | 735 | 67   | 1156 | 20.2  | 2   | 792 | <150  | <20  | <1.0 | <25 |
| 680 | 74   | 149  | 13.4  | 2   | 736 | 2133 | 78   | 1.8   | 2   | 793 | <15   | 7    | 0.2  | 4   |
|     |      |      |       |     | 737 | 196  | 355  | 2.0   | <25 | 794 | <150  | 22   | <1.0 | <25 |
| 682 | <150 | 400  | 19.7  | <25 | 738 | 7691 | 219  | 38.8  | <25 | 795 | <150  | 163  | <1.0 | <25 |
| 683 | 225  | 9    | 1.0   | 2   | 739 | 1958 | <20  | 1.1   | <25 | 796 | 50    | 135  | 8.1  | 16  |
| 684 | 460  | 477  | 1.0   | 2   | 740 | 90   | 170  | 4.5   | 4   | 797 | 21    | 21   | 1.0  | 4   |
| 685 | 2125 | 38   | 1.5   | <25 |     |      |      |       |     | 798 | <15   | 63   | 1.0  | 12  |
| 686 | 260  | 346  | 21.9  | 4   | 742 | <150 | <20  | <1.0  | <25 | 799 | <150  | <20  | <1.0 | 31  |
| 687 | 151  | 29   | 8.7   | 2   | 743 | 2200 | 20   | 2.0   | <25 | 800 | 1040  | 103  | 1.6  | 32  |
| 688 | 43   | 14   | 0.9   | 2   | 744 | 505  | 10   | 0.5   | 2   |     |       |      |      |     |
| 690 | 228  | 12   | 0.7   | 2   | 745 | <15  | 120  | 0.9   | 2   | 802 | <15   | 7    | 0.4  | 80  |
|     |      |      |       |     | 746 | 2023 | 43   | 1.4   | 2   | 803 | 27    | 23   | 0.7  | 4   |
| 691 | 6528 | 26   | 1.3   | <25 | 747 | 816  | 26   | 0.6   | 4   | 804 | 786   | 22   | <1.0 | <25 |
| 692 | 671  | 3675 | 85.0  | <25 | 748 | 598  | 121  | 2.6   | 2   | 805 | <150  | 21   | 1.5  | <25 |
| 693 | 1036 | 394  | 9.4   | <25 | 749 | 3752 | 7    | 1.1   | 2   | 806 | <15   | 11   | 0.5  | 2   |
| 694 | 3068 | 413  | 3.7   | <25 | 750 | <15  | 21   | 1.4   | 2   | 807 | <15   | 7    | 0.7  | 2   |

ins: quantité d'échantillon insuffisante pour l'analyse ind: valeur non-déterminée

| ECH   | Ba     | Pb   | Sb   | W      | ECH   | Ba     | Pb   | Sb    | W   | ECH   | Ba    | Pb   | Sb   | W   |
|-------|--------|------|------|--------|-------|--------|------|-------|-----|-------|-------|------|------|-----|
|       | ppm    | ppm  | ppm  | ppm    |       | ppm    | ppm  | ppm   | ppm |       | ppm   | ppm  | ppm  | ppm |
| 8 0 8 | <15    | 12   | 0.5  | 4      | 8 6 4 | 178    | 190  | 5.0   | 280 | 9 2 0 | 101   | 29   | 0.6  | 2   |
| 8 0 9 | <150   | 128  | <1.0 | <25    | 8 6 5 | 6368   | 78   | 1.4   | <25 | 9 2 2 | 9280  | 65   | 1.7  | <25 |
| 8 1 0 | 159    | 11   | 1.3  | 300    | 8 6 6 | <15    | 27   | 0.8   | 4   | 9 2 3 | 503   | 50   | 2.6  | 2   |
|       |        |      |      |        | 8 6 7 | 633    | 1611 | 6.7   | <25 | 9 2 5 | 1042  | 33   | 1.7  | <25 |
| 8 1 1 | ins    | ins  | ins  | ins    | 8 6 8 | 8850   | 947  | 1.5   | <25 | 9 2 6 | 37900 | 25   | 0.7  | 2   |
| 8 1 3 | <15    | 10   | ind  | ind    | 8 6 9 | 602000 | 26   | <1.0  | <25 | 9 2 7 | 25871 | 2650 | 14.6 | 43  |
| 8 1 4 | 538    | 13   | 0.6  | 4      | 8 7 0 | 1013   | 38   | 1.3   | <25 | 9 2 8 | 1882  | 26   | <1.0 | 71  |
| 8 1 5 | 322    | 187  | <1.0 | <25    | 8 7 1 | 1453   | 1226 | 1.3   | 79  | 9 2 9 | 4547  | 7    | 1.0  | 2   |
| 8 1 6 | 5686   | 130  | <1.0 | <25    | 8 7 2 | 1282   | 272  | 16.4  | 79  | 9 3 0 | 221   | 162  | <1.0 | <25 |
| 8 1 7 | 49     | 8    | 0.9  | 40     | 8 7 3 | 7021   | 82   | 2.6   | 235 |       |       |      |      |     |
| 8 1 8 | <150   | 643  | 3.8  | >2320  | 8 7 4 | 842    | 408  | 2.5   | <25 | 9 3 1 | 22    | 550  | 8.8  | 2   |
| 8 1 9 | 18     | 10   | 1.3  | 160    | 8 7 6 | 2672   | 56   | 1.7   | <25 | 9 3 2 | 88    | 18   | 0.6  | 2   |
| 8 2 0 | <150   | 30   | 14.5 | >10000 | 8 7 7 | 98     | 10   | <0.5  | 2   | 9 3 3 | 3950  | 993  | 9.0  | 107 |
|       |        |      |      |        | 8 7 8 | 10454  | 89   | 2.1   | 43  | 9 3 4 | 870   | 85   | 12.0 | <25 |
| 8 2 2 | <150   | 258  | 6.2  | >7700  | 8 7 9 | 1667   | <20  | <1.0  | <25 | 9 3 5 | 885   | 39   | 3.2  | 2   |
| 8 2 3 | 16754  | <20  | 20.2 | 769    | 8 8 0 | <150   | 69   | 1.5   | <25 | 9 3 6 | <150  | 382  | 41.0 | <25 |
| 8 2 4 | <150   | 24   | <1.0 | 65     | 8 8 2 | 216000 | 1854 | ind   | <25 | 9 3 7 | 32    | 12   | 0.5  | 2   |
| 8 2 5 | 167    | 157  | 2.7  | 40     | 8 8 3 | 12500  | 267  | 21.1  | <25 | 9 3 8 | 247   | 29   | 1.3  | 2   |
| 8 2 6 | 3650   | 50   | 3.3  | 33     | 8 8 4 | 406    | 342  | 16.9  | <25 | 9 3 9 | 126   | 17   | 0.4  | 6   |
| 8 2 7 | <150   | 706  | <1.0 | <25    | 8 8 5 | <150   | 21   | 2.1   | <25 | 9 4 0 | 156   | <20  | <1.0 | <25 |
| 8 2 8 | ins    | ins  | ins  | ins    | 8 8 6 | 1353   | 115  | 2.6   | <25 | 9 4 2 | 439   | 35   | 10.7 | <25 |
| 8 2 9 | <150   | 58   | <1.0 | <25    | 8 8 7 | 409    | 13   | 0.6   | 8   | 9 4 3 | 8467  | 317  | 12.3 | <25 |
| 8 3 1 | <150   | 113  | 9.4  | <25    | 8 8 8 | 1512   | 78   | <1.0  | <25 |       |       |      |      |     |
| 8 3 2 | ins    | ins  | ins  | ins    | 8 9 0 | 15064  | 86   | 10.7  | <25 |       |       |      |      |     |
| 8 3 3 | <150   | 94   | 2.2  | <25    |       |        |      |       |     |       |       |      |      |     |
| 8 3 4 | <150   | <20  | 1.4  | <25    | 8 9 1 | 280    | 40   | 3.3   | <25 |       |       |      |      |     |
| 8 3 6 | ins    | ins  | ins  | ins    | 8 9 2 | 5465   | <20  | 1.2   | <25 |       |       |      |      |     |
| 8 3 7 | <150   | <20  | <1.0 | <25    | 8 9 3 | 9280   | 45   | 6.5   | <25 |       |       |      |      |     |
| 8 3 8 | 244    | 188  | 6.2  | 2      | 8 9 4 | <150   | 146  | 2.3   | <25 |       |       |      |      |     |
| 8 3 9 | <150   | 50   | 2.2  | <25    | 8 9 5 | 8480   | 20   | 2.0   | <25 |       |       |      |      |     |
| 8 4 0 | 557    | 39   | 1.8  | <25    | 8 9 6 | ins    | ins  | ins   | ins |       |       |      |      |     |
|       |        |      |      |        | 8 9 7 | 615    | 35   | 2.0   | 40  |       |       |      |      |     |
| 8 4 2 | <150   | 126  | 1.8  | <25    | 8 9 8 | 1160   | 42   | 6.9   | <25 |       |       |      |      |     |
| 8 4 3 | <150   | <20  | <1.0 | <25    | 8 9 9 | 22     | 29   | 1.0   | 2   |       |       |      |      |     |
| 8 4 4 | ins    | ins  | ins  | ins    | 9 0 0 | 959    | 31   | 2.5   | 25  |       |       |      |      |     |
| 8 4 5 | <150   | 85   | 4.6  | <25    |       |        |      |       |     |       |       |      |      |     |
| 8 4 6 | 435    | 1460 | 2.0  | <25    | 9 0 2 | 11257  | 103  | 3.3   | <25 |       |       |      |      |     |
| 8 4 7 | <150   | 31   | <1.0 | <25    | 9 0 3 | 500    | 33   | 6.7   | <25 |       |       |      |      |     |
| 8 4 8 | 381    | 91   | 4.1  | <25    | 9 0 4 | <15    | 7    | 0.7   | 2   |       |       |      |      |     |
| 8 4 9 | <150   | 26   | 1.8  | <25    | 9 0 5 | 825    | 138  | <1.0  | <25 |       |       |      |      |     |
| 8 5 0 | 187    | 13   | 0.6  | 2      | 9 0 6 | 18     | 303  | 1.0   | 4   |       |       |      |      |     |
|       |        |      |      |        | 9 0 8 | 384    | 39   | 0.7   | 2   |       |       |      |      |     |
| 8 5 1 | <150   | 236  | 4.6  | <25    | 9 0 9 | 3776   | 179  | 1.2   | 2   |       |       |      |      |     |
| 8 5 2 | 487    | 35   | 1.6  | 2      | 9 1 0 | 310    | 31   | <0.3  | 2   |       |       |      |      |     |
| 8 5 4 | <150   | 43   | 7.1  | <25    |       |        |      |       |     |       |       |      |      |     |
| 8 5 5 | <150   | 841  | 73.4 | <25    | 9 1 1 | 14970  | 60   | 4.0   | <25 |       |       |      |      |     |
| 8 5 6 | 6259   | 27   | 2.9  | <25    | 9 1 2 | <150   | 142  | 1.7   | <25 |       |       |      |      |     |
| 8 5 7 | 67     | 157  | 0.4  | 4      | 9 1 3 | 5519   | 1061 | 80.0  | <25 |       |       |      |      |     |
| 8 5 8 | 1245   | 138  | 2.7  | 89     | 9 1 4 | <150   | 94   | 3.3   | <25 |       |       |      |      |     |
| 8 5 9 | 160938 | 398  | 37.2 | 94     | 9 1 5 | ins    | ins  | ins   | ins |       |       |      |      |     |
| 8 6 0 | 1070   | 73   | 1.8  | 67     | 9 1 6 | 610526 | 313  | 7.4   | <25 |       |       |      |      |     |
|       |        |      |      |        | 9 1 7 | ins    | ins  | ins   | ins |       |       |      |      |     |
| 8 6 2 | 6010   | 110  | 6.0  | <25    | 9 1 8 | 14576  | 197  | 1.8   | <25 |       |       |      |      |     |
| 8 6 3 | <150   | <20  | <1.0 | 44     | 9 1 9 | 2961   | 2840 | 102.0 | 2   |       |       |      |      |     |

ins: quantité d'échantillon insuffisante pour l'analyse ind: valeur non-déterminée